

東海第二発電所 審査資料	
資料番号	PS-C-1 改 40
提出年月日	平成 29 年 8 月 28 日

東海第二発電所

重大事故等対策の有効性評価

平成 29 年 8 月

日本原子力発電株式会社

本資料のうち、 は商業機密又は核物質防護上の観点から公開できません。

目 次

1. 重大事故等への対処に係る措置の有効性評価の基本的考え方
 - 1.1 概 要
 - 1.2 評価対象の整理及び評価項目の設定
 - 1.3 評価に当たって考慮する事項
 - 1.4 有効性評価に使用する計算プログラム
 - 1.5 有効性評価における解析の条件設定の方針
 - 1.6 解析の実施方針
 - 1.7 解析コード及び解析条件の不確かさの影響評価方針
 - 1.8 必要な要員及び資源の評価方針
 - 付録1 事故シーケンスグループの抽出及び重要事故シーケンスの選定について
 - 付録2 原子炉格納容器の限界温度・圧力
 - 付録3 重大事故等対策の有効性評価に係るシビアアクシデント解析コードについて
-
2. 運転中の原子炉における重大事故に至るおそれがある事故
 - 2.1 高圧・低圧注水機能喪失
 - 2.2 高圧注水・減圧機能喪失
 - 2.3 全交流動力電源喪失
 - 2.3.1 全交流動力電源喪失（長期TB）
 - 2.3.2 全交流動力電源喪失（TBD，TBU）
 - 2.3.3 全交流動力電源喪失（TBP）

- 2.4 崩壊熱除去機能喪失
 - 2.4.1 取水機能が喪失した場合
 - 2.4.2 残留熱除去系が故障した場合
 - 2.5 原子炉停止機能喪失
 - 2.6 L O C A時注水機能喪失
 - 2.7 格納容器バイパス（インターフェイスシステム L O C A）
 - 2.8 津波浸水による注水機能喪失
3. 重大事故
- 3.1 雰囲気圧力・温度による静的負荷（格納容器過圧・過温破損）
 - 3.1.1 格納容器破損モードの特徴，格納容器破損防止対策
 - 3.1.2 代替循環冷却系を使用する場合
 - 3.1.3 代替循環冷却系を使用しない場合
 - 3.2 高圧熔融物放出／格納容器雰囲気直接加熱
 - 3.3 原子炉圧力容器外の熔融燃料－冷却材相互作用
 - 3.4 水素燃焼
 - 3.5 熔融炉心・コンクリート相互作用
4. 使用済燃料プールにおける重大事故に至るおそれがある事故
- 4.1 想定事故 1
 - 4.2 想定事故 2
5. 運転停止中の原子炉における重大事故に至るおそれがある事故
- 5.1 崩壊熱除去機能喪失（残留熱除去系の故障による停止時冷却機能喪失）
 - 5.2 全交流動力電源喪失

性について

添付資料2.8.4 7日間における水源の対応について（津波浸水による注水機能喪失）

添付資料2.8.5 7日間における燃料の対応について（津波浸水による注水機能喪失）

添付資料2.8.6 常設代替交流電源設備の負荷（津波浸水による注水機能喪失）

添付資料3.1.2.1 炉心損傷及び原子炉圧力容器破損後の注水及び除熱の考え方について

添付資料3.1.2.2 原子炉水位不明時の対応について

添付資料3.1.2.3 常設低圧代替注水ポンプの機能確保の妥当性について

添付資料3.1.2.4 原子炉建屋から大気中へ漏えいするCs-137の漏えい量評価について

添付資料3.1.2.5 格納容器漏えい率の設定について

添付資料3.1.2.6 雰囲気圧力・温度による静的負荷（格納容器過圧・過温破損）における炉心の損傷状態及び損傷炉心の位置について

添付資料3.1.2.7 水の放射線分解を考慮した場合の格納容器過圧に対する影響について（雰囲気圧力・温度による静的負荷（格納容器過圧・過温破損））

添付資料3.1.2.8 格納容器雰囲気温度が格納容器の健全性に与える影響について（雰囲気圧力・温度による静的負荷（格納容器過圧・過温破損））

添付資料3.1.2.9 安定状態について（代替循環冷却系を使用する場合）

添付資料3.1.2.10 格納容器内に存在するアルミニウム／亜鉛の反応により発生する水素の影響について

- 添付資料3.3.5 水蒸気爆発発生時のコリウムシールドへの影響
- 添付資料3.3.6 解析コード及び解析条件の不確かさの影響評価について（原子炉圧力容器外の熔融燃料－冷却材相互作用）
- 添付資料3.3.7 エントレインメント係数の圧カスパイクに対する影響
- 添付資料3.3.8 プラント損傷状態をLOCAとした場合の圧カスパイクへの影響
-
- 添付資料3.4.1 水の放射線分解の評価について
- 添付資料3.4.2 シビアアクシデント条件下で用いるG値の設定について
- 添付資料3.4.3 解析コード及び解析条件の不確かさの影響について
- 添付資料3.4.4 G値を設計基準事故ベースとした場合の評価結果への影響について
- 添付資料3.4.5 原子炉注水開始時間の評価結果への影響について
- 添付資料3.4.6 格納容器内における気体のミキシングについて
-
- 添付資料3.5.1 コリウムシールドを考慮した熔融炉心・コンクリート相互作用による侵食量評価について
- 添付資料3.5.2 熔融炉心による熱影響評価について
- 添付資料3.5.3 熔融炉心の排水流路内での凝固停止評価について
- 添付資料3.5.4 解析コード及び解析条件の不確かさの影響評価について（熔融炉心・コンクリート相互作用）
-
- 添付資料4.1.1 使用済燃料プールの水位低下と遮蔽水位に関する評価について
- 添付資料4.1.2 水遮蔽厚に対する貯蔵中の使用済燃料からの線量率の算出に

炉心損傷及び原子炉圧力容器破損後の注水及び除熱の考え方について

炉心損傷後における重大事故等対処設備による注水や除熱の考え方を以下に示す。

1. 期待する重大事故等対処設備について

非常用炉心冷却系等の注水機能が喪失し炉心損傷に至った場合、重大事故等対処設備である低圧代替注水系（常設）、代替格納容器スプレイ冷却系（常設）、格納容器下部注水系（常設）及び代替循環冷却系の機能に期待し、炉心損傷の進展防止及び格納容器破損防止を図る手順としている。これらの系統の主な特徴を第1表に示す。

第1表 注水及び除熱手段の特徴（重大事故等対処設備）

系統	注水先	ポンプ	水源
低圧代替注水系（常設）	原子炉圧力容器	常設低圧代替注水系ポンプ	代替淡水貯槽
代替格納容器スプレイ冷却系（常設）	ドライウエル		
格納容器下部注水系（常設）	ペDESTAL（ドライウエル部）		
代替循環冷却系	原子炉圧力容器	代替循環冷却系ポンプ	サプレッション・プール
	ドライウエル		
	サプレッション・プール		

常設低圧代替注水系ポンプを用いた系統は、補機系を持たない独立した系統であり事故後早期に使用可能であるが、代替淡水貯槽を水源としており格納容器内へ外部から水を持ち込むため、継続して使用するとサプレッション・プール水位が上昇し、格納容器圧力逃がし装置による格納容器除熱の実施時期を早めることとなる*。

一方、代替循環冷却系は補機系の起動を要するため、常設低圧代

替注水系ポンプを用いた系統に比べて起動に時間を要するが、サブプレッション・プールを水源としており外部からの水の持ち込みは生じない。

上記の特徴を踏まえ、事象発生初期の原子炉への注水は常設低圧代替注水系ポンプを用いた系統を使用することとし、その後、外部からの水の持ち込みを抑制し、サブプレッション・プール水位の上昇抑制による格納容器ベントの遅延を図り、可能な限り外部への影響を軽減するため、代替循環冷却系が使用可能となった段階で代替循環冷却系に切り替える手順とする。ただし、代替循環冷却系の運転時において、格納容器圧力・温度の上昇により追加の格納容器の冷却が必要な場合には、一時的に常設低圧代替注水系ポンプを用いた系統を使用する手順とする。

※：格納容器圧力逃がし装置におけるサブプレッション・チェンバ側のベント配管の水没を防止する観点から、サブプレッション・プール水位が通常水位+6.5mに到達した時点で、外部水源による水の持ち込みを制限した上で、格納容器圧力逃がし装置による格納容器除熱を実施する手順としている。

2. 炉心損傷及び原子炉圧力容器破損前後の注水及び除熱の考え方

(1) 常設低圧代替注水系ポンプを用いた系統

a. 炉心損傷後の対応について

炉心損傷を判断した後は、補機系が不要であり短時間で注水が可能で低圧代替注水系（常設）により原子炉へ注水する手順としている。また、原子炉注水ができない場合においても、注水手段の確保に努めることとしている。したがって、炉心損傷

前後ともに原子炉注水を実施する対応方針に違いはないが、事象進展の違いによって以下の異なる手順となる。

① L O C A 時に炉心が損傷した場合は、ヒートアップした炉心へ原子炉注水を実施することにより、炉内で発生する過熱蒸気がドライウエルに直接放出されドライウエル圧力及び雰囲気温度が急上昇する。そこで、格納容器の健全性を確保するために、L O C A の判断（ドライウエル圧力 13.7kPa[gage] 以上）及び炉心損傷の判断（設計基準事故における原子炉冷却材喪失時の追加放出量に相当する指示値の 10 倍以上）により、低圧代替注水系（常設）による原子炉注水操作と代替格納容器スプレイ冷却系（常設）による格納容器冷却操作（ドライウエルスプレイ）を同時に実施する。この場合、原子炉注水により過熱蒸気が発生することから、先行して常設低圧代替注水系ポンプを用いた代替格納容器スプレイ冷却系（常設）による格納容器冷却操作（ドライウエルスプレイ）を実施し、その後常設低圧代替注水系ポンプを用いた低圧代替注水系（常設）による原子炉注水操作を実施することで、ドライウエルスプレイを実施している状態で原子炉へ注水する手順とする。

② L O C A 時に炉心が損傷し原子炉注水が実施できない場合は、いずれはリロケーションに伴う熔融炉心と原子炉圧力容器下部プレナム水との接触による発生蒸気がドライウエルに放出され、ドライウエル圧力及び雰囲気温度が急上昇することを踏まえて、常設低圧代替注水系ポンプを用いた代替格納容器

スプレイ冷却系（常設）による格納容器冷却操作（ドライウエルスプレイ）を実施する手順とする。ただし，実際の操作としては，常設低圧代替注水系ポンプを用いた代替格納容器スプレイ冷却系（常設）による格納容器冷却操作（ドライウエルスプレイ）を実施後に常設低圧代替注水系ポンプを用いた低圧代替注水系（常設）による原子炉注水操作を実施することから，炉心損傷の判断後にドライウエルスプレイをする手順は①と同様である。

b．原子炉圧力容器破損前の対応について

③通常運転時からペDESTAL（ドライウエル部）水位を 1m に維持する構造としているが，炉心損傷判断後は，原子炉圧力容器破損時の熔融炉心の冷却を考慮し，格納容器下部水位を確実に 1m 確保するために常設低圧代替注水系ポンプを用いた格納容器下部注水系（常設）による格納容器下部水位確保操作を実施する手順とする。

c．原子炉圧力容器破損後短期の対応について

④原子炉圧力容器破損を検知した後は，熔融炉心とペDESTAL（ドライウエル部）に存在する水との相互作用により，ドライウエル圧力及び雰囲気温度が急上昇するため，原子炉圧力容器破損を判断した場合は，常設低圧代替注水系ポンプを用いた代替格納容器スプレイ冷却系（常設）による格納容器冷却操作（ドライウエルスプレイ）を実施する手順とする。

⑤ドライウエルスプレイを開始した後は，ペDESTAL（ドライウエル部）に落下した熔融炉心の冷却維持のため，常設低圧代替注水系ポンプを用いた格納容器下部注水系（常設）によるペ

スタル（ドライウェル部）注水操作を実施する手順とする。

d. 本システムの停止及び一時的な運転について

⑥本システムは外部水源を用いた手段であり、本システムの運転継続によりサプレッション・プール水位が上昇する。そこで、格納容器圧力逃がし装置による格納容器除熱操作を遅延させる観点から、本システムによる原子炉注水操作や格納容器冷却操作（ドライウェルスプレイ）を停止し、代替循環冷却系による原子炉注水操作や格納容器除熱操作（ドライウェルスプレイ）を実施する。

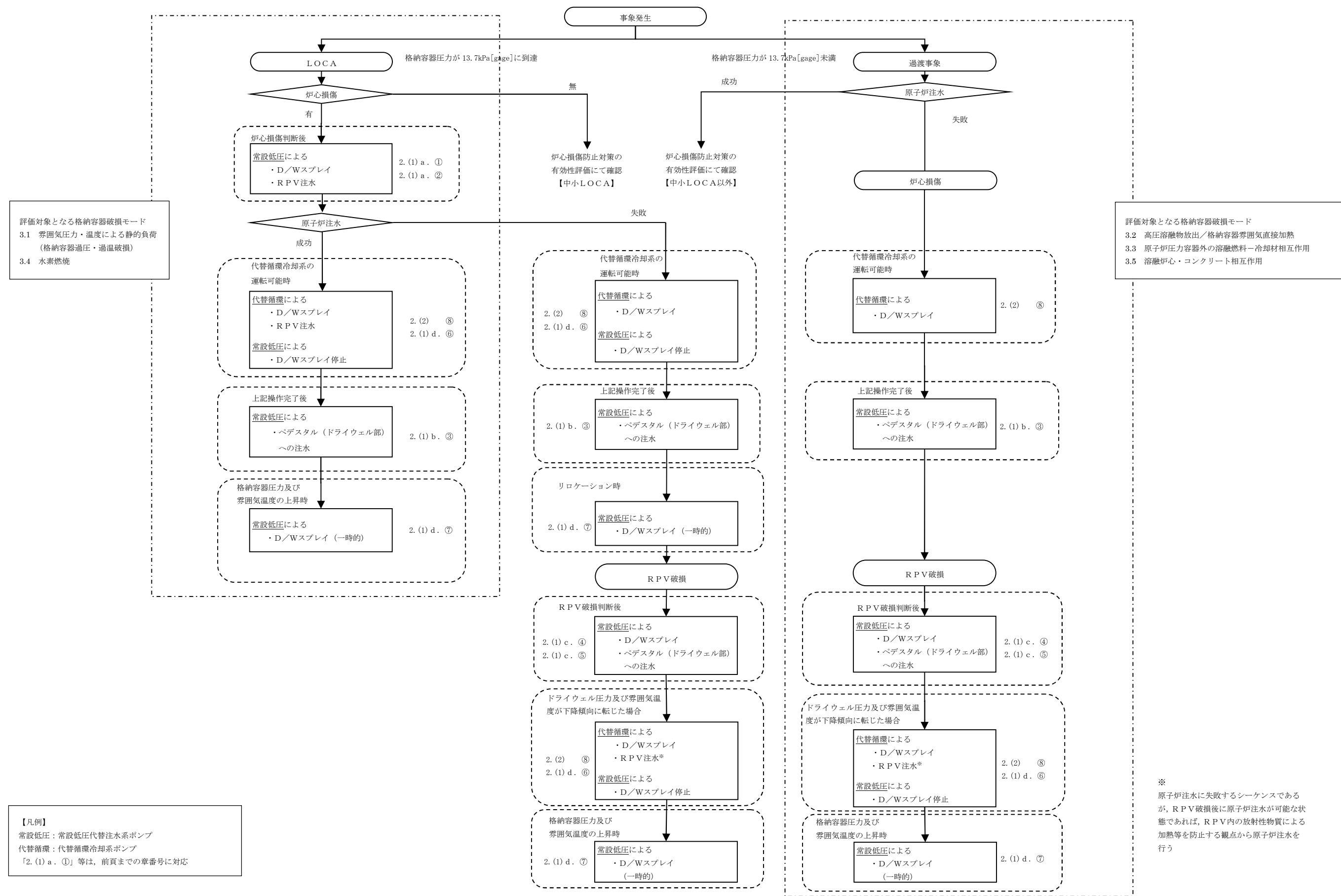
⑦ただし、代替循環冷却系による原子炉注水操作や格納容器除熱操作（ドライウェルスプレイ）を実施する状態において格納容器圧力及び雰囲気温度が上昇する場合には、常設低圧代替注水系ポンプを用いた代替格納容器スプレイ冷却系（常設）による格納容器冷却操作（ドライウェルスプレイ）を一時的に実施する手順とする。

(2) 代替循環冷却系

⑧代替循環冷却系は残留熱除去系海水系又は緊急用海水系等の補機系の起動後に期待できるシステムであり運転開始までに一定の時間を要するが、内部水源であるため本システムの運転継続によりサプレッション・プール水位は上昇しない。したがって、起動が可能となった時点で本システムを運転開始する手順とし、サプレッション・プール水位の上昇を抑制しつつ、原子炉注水操作や格納容器除熱操作（ドライウェルスプレイ）を実施することで、損傷炉心の冷却や格納容器の冷却及び除熱を実施することとする。

3. 各事象の対応の流れについて

炉心損傷に至る事象としては，起因事象が L O C A の場合と過渡事象の場合で事象進展が異なることが考えられる。また，初期に原子炉注水に成功する場合と成功しない場合においても，事象進展が異なることが考えられる。以上の事象進展の違いを踏まえ，事故対応の流れを第 1 図に示す。



第1図 事故対応の流れ

添付 3.1.2.1-7

中央制御室での運転員操作について

1. はじめに

重大事故等発生時において，運転員は中央制御室に配置する制御盤によって，常設重大事故等対処設備の操作を実施する。以下，中央制御室の制御盤の配置等の考え方及び運転員の操作分担について示す。

2. 対応操作を踏まえた制御盤の配置と作業分担について

常設重大事故等対処設備の操作のため，中央制御室に常設代替高圧電源装置遠隔操作盤，高圧代替注水系制御盤及びSA監視操作盤を配置する。第1図に中央制御室における制御盤の配置図，第1表に制御盤の概要を示す。事象発生からの運転員対応として以下の流れを想定しており，常設重大事故等対処設備の操作は②，③にて実施している。運転員Aについては主に原子炉側に関連する操作，運転員Bについては主に電源関連，主制御盤での操作を担当する。

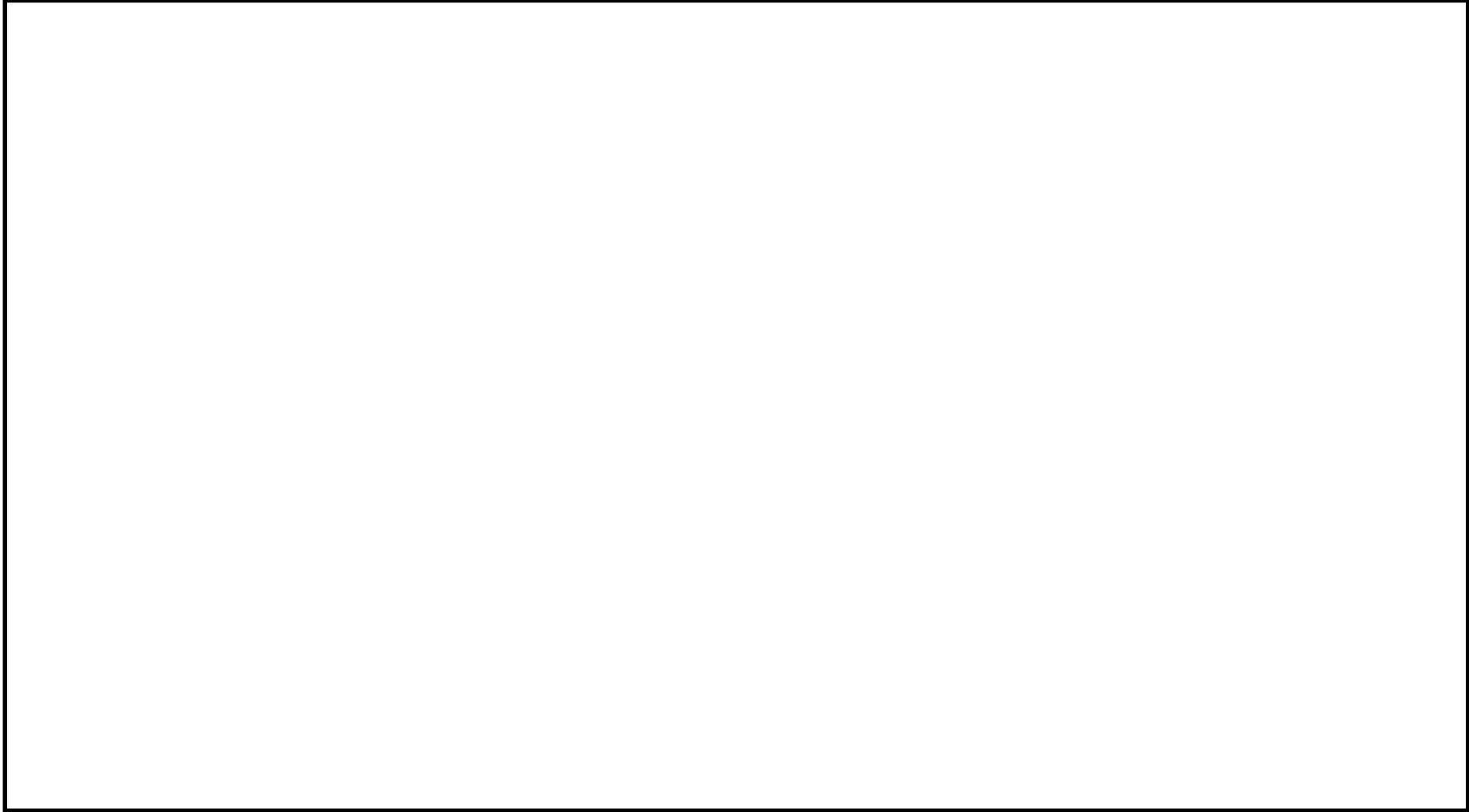
① 事象発生直後のプラント状況の把握や非常用電源確保等の操作（運転員A，運転員B）

② 高圧代替注水系の起動（運転員A）及び常設代替高圧電源装置の起動（運転員B）

③ SA監視操作盤を用いた操作・監視（運転員A）及びその他の制御盤を用いた操作・監視（運転員B）

②の高圧代替注水系の起動及び常設代替高圧電源装置の起動については、①により非常用電源の確保や原子炉注水の確保ができないことが確認された場合には、炉心損傷防止のため速やかに実施する必要があることから、2名の運転員がそれぞれの起動操作をお互いに干渉しないよう、それぞれの盤を独立して配置している。

また、③については、②により高圧代替注水系制御盤での操作が完了（起動できなかった場合を含む）した運転員Aが、引続き原子炉注水操作等の原子炉側の操作を継続するために、SA監視操作盤により操作・監視を対応することとしている。SA監視操作盤は、タッチパネルから複数の系統の監視・操作を集中的に行うことが可能であり、運転員Bによる操作・監視と干渉しないよう独立した盤としている。③における運転員Bの操作については、②により常設代替高圧電源装置を起動した後、SA監視操作盤以外の盤の操作・監視を行うことを想定している。第2表に制御盤操作の流れを示す。



第 1 図 中央制御室における制御盤の配置図

添付 3.1.2.1-10

第 1 表 制御盤の設置目的

制御盤	設置目的
常設代替高圧電源装置遠隔操作盤	外部電源喪失時に早期に緊急用母線への給電を実施するため、中央制御室により常設代替高圧電源装置の遠隔起動及び監視を可能にする
高圧代替注水系制御盤	原子炉隔離時冷却系及び高圧炉心スプレイ系が起動できない場合、早急に高圧代替注水系を起動させるため、中央制御室での遠隔起動及び監視を可能にする
S A 監視操作盤	重大事故等発生時に、上記以外の常設重大事故等対処設備の監視及び操作を中央制御室で行うことを可能にする

第 2 表 制御盤操作の流れ

運転員 A	運転員 B
プラント状況の把握， 非常用電源確保等の操作 (主制御盤)	プラント状況の把握， 非常用電源確保等の操作 (主制御盤)
(移動)	(移動)
高圧代替注水系の起動 (高圧代替注水系制御盤)	常設代替高圧電源装置の起動 (常設代替高圧電源装置遠隔操作盤)
(移動)	(移動)
S A 監視操作盤を使った操作 及び監視 (S A 監視操作盤)	S A 監視操作盤以外の制御盤での操作

3. 各操作盤の仕様等について

(1) 常設代替高圧電源装置遠隔操作盤

a. 仕様

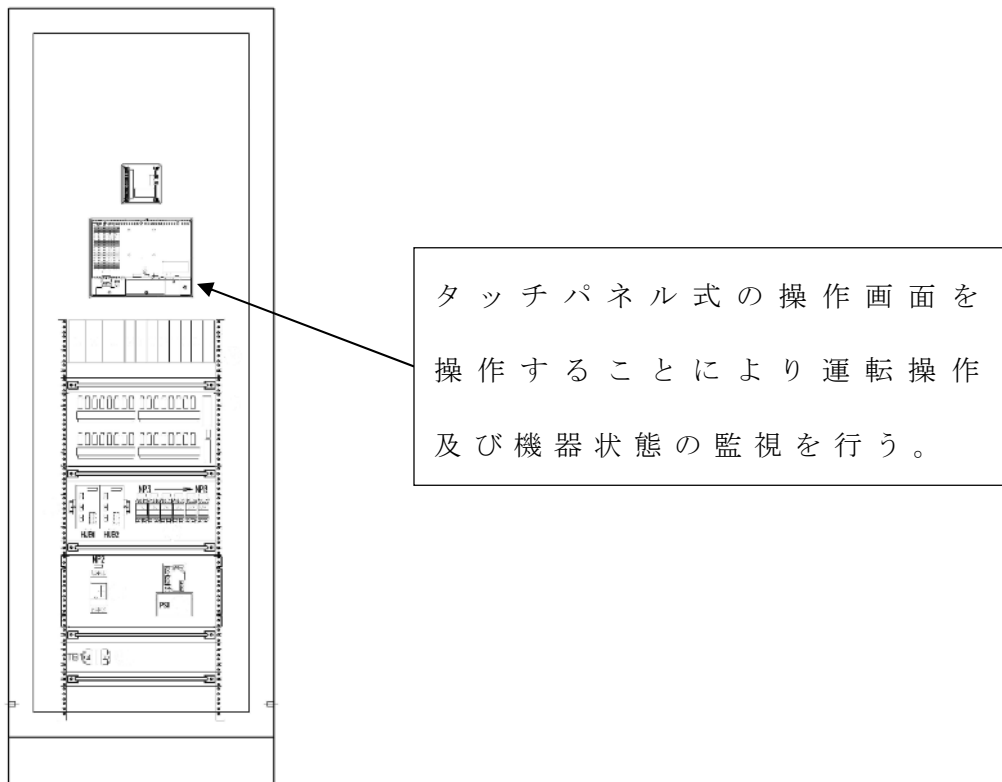
タッチパネル式の操作画面を設置しており，常設代替高圧電源装置の遠隔起動操作及び運転状態の監視が可能な設計としている。第2図に常設代替高圧電源装置遠隔操作盤の外観図を示す。

b. 操作可能な設備

- ・ 常設代替高圧電源装置

c. 操作方法

タッチパネル式の操作画面を操作することにより，上記の設備の運転操作及び機器状態の監視を行う。



第2図 常設代替高圧電源装置遠隔操作盤（イメージ図）

添付 3.1.2.1-12

(2) 高圧代替注水系制御盤

a. 仕様

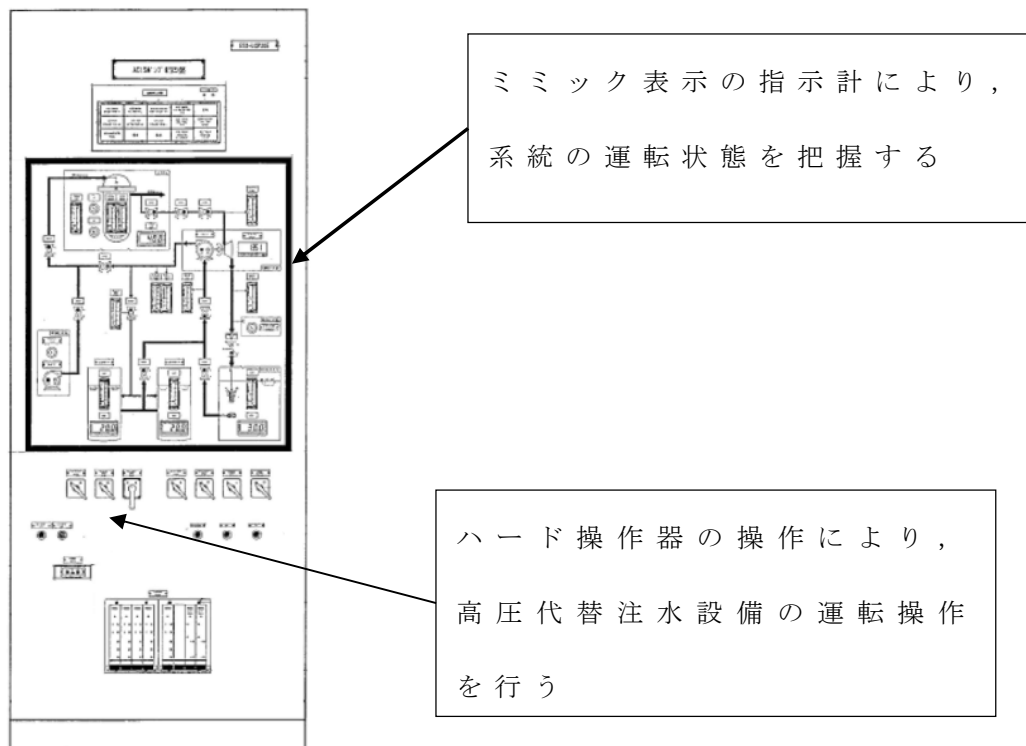
盤前面にハードの指示計，操作器等を設置しており，高圧代替注水設備の遠隔操作が可能な設計としている。第3図に高圧代替注水系制御盤のイメージ図を示す。

b. 操作可能な設備

- ・ 高圧代替注水設備

c. 操作方法

ハード操作器の操作により，高圧代替注水系の運転操作を行う。指示計等をミミック表示とすることにより，系統の運転状態の把握が容易に行える設計とする



第3図 高圧代替注水系制御盤（イメージ図）

(3) S A 監視操作盤

a. 仕様

事故対応時の並行操作に対し容易に監視・操作ができるように、タッチパネル式の監視操作画面を2面設置している。常設代替高圧電源装置及び高圧代替注水系以外の常設重大事故等対処設備の遠隔操作及び運転状態の監視が可能な設計としている。第3図にS A 監視操作盤、第4図に監視操作画面のイメージ図を示す。

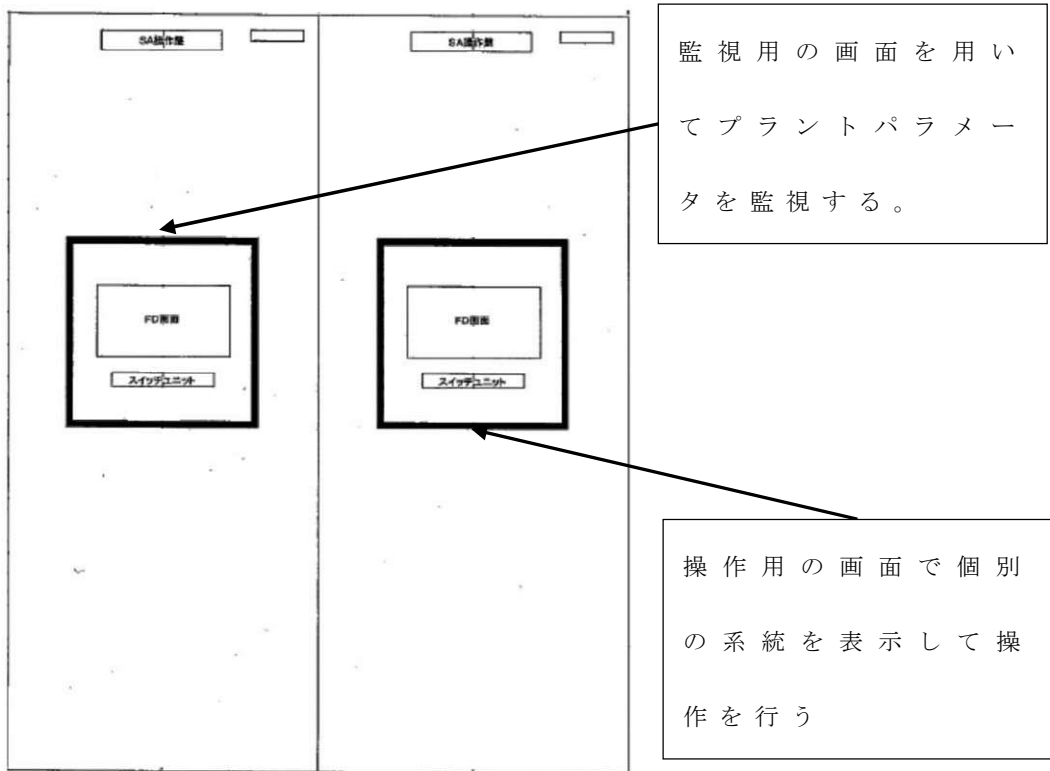
b. 主な操作可能な設備

- ・ 低圧代替注水系（常設）
- ・ 代替格納容器スプレイ冷却系（常設）
- ・ 格納容器下部注水系（常設）
- ・ 代替燃料プール注水系
- ・ 緊急用海水系
- ・ 代替循環冷却系
- ・ 格納容器圧力逃がし装置
- ・ 耐圧強化ベント系
- ・ 水素濃度及び酸素濃度監視設備
- ・ サプレッション・プール pH 制御装置（自主設備）

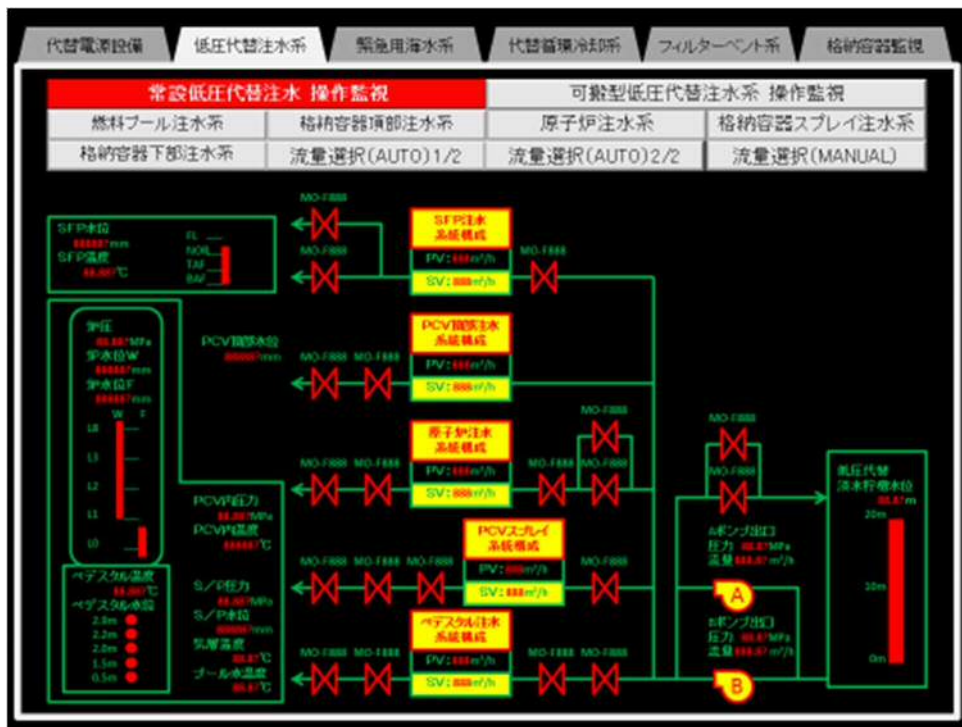
c. 操作方法

2面のタッチパネルの操作により、上記の設備の運転操作を行う。監視用の画面を用いてプラントパラメータを監視し、操作用の画面で個別の系統を表示して操作を行う。誤操作防止等の観点から以下を考慮した設計とする。

- ・ 2画面で同一機器の異なった操作ができないように，1画面の機器を操作している場合はもう1画面で同一機器操作を行えない設計とする。
- ・ タッチ領域は枠などを表示することにより，その領域がタッチ領域であることを明確にする。
- ・ タッチを受け付けたことを示す打ち返し表示を行う。また，打ち返し表示は運転員の認知的特性に対して長すぎない時間内に行う。
- ・ プラント設備の操作に係るタッチ領域には，タッチミスが発生しないような大きさ及び間隔を確保する。
- ・ 一貫したタッチ方式を用いる。
- ・ タッチ操作器の呼び出しによって表示される制御器及び操作器の数は1つとする。
- ・ 画面上に予め制御器及び操作器を配置しておく場合には，タッチ領域の大きさ及びタッチ領域間の距離を考慮し，大きさ及び間隔を確保し制御器及び操作器を配置する。



第 3 図 S A 監視操作盤 (イメージ図)



第 4 図 監視操作画面 (イメージ図)

並行操作の対応について

1. はじめに

炉心損傷後のマネジメントについては，炉心損傷の進展緩和のための低圧代替注水系（常設）による原子炉注水操作，格納容器圧力及び雰囲気温度の抑制のための代替格納容器スプレイ冷却系（常設）による格納容器冷却操作，落下後の熔融炉心を冷却するための格納容器下部注水系（常設）による熔融炉心への注水操作など，複数の操作を並行して実施する必要がある。操作の成立性の観点から，並行して実施する操作について整理する。

2. 操作の整理

2.1 考え方

主な重大事故等対処設備の操作については，中央制御室に設置した S A 監視操作盤によって操作を行う。S A 監視操作盤で実施する操作については，代替循環冷却系による原子炉注水操作のように一定の流量で操作開始しその後の状態監視を継続的に実施するものと，格納容器圧力が 465kPa [gage] 到達時点で実施する低圧代替注水系ポンプを用いた代替格納容器スプレイ冷却系による格納容器冷却操作のように，ある制御範囲において間欠的に操作を実施するもの（間欠操作）がある。

状態監視を継続的に実施している際には、2画面あるSA監視操作盤の1画面で状態を監視し、もう1画面で操作を行うことにより、間欠操作が必要な場合にも容易に対応可能である。しかし、間欠的な操作を実施中に並行操作の必要が生じた場合、時間余裕のない操作が含まれているとプラントに対して悪影響が出る可能性があることから、間欠的な操作を整理した上で、その際に並行操作となり得る操作について成立性を確認する。

2.2 並行操作の整理

炉心損傷後の対応操作として、並行操作となるものを以下に示す。以下のケースにおける運転A及び運転員Bの作業と所要時間について、第1図から第3図に示す。

- ・「3.1 雰囲気圧力温度による静的負荷（格納容器過圧・過温破損） 3.1.3 代替循環冷却系を使用しない場合」

運転員Aによる以下の①の間欠操作の期間において、運転員Aによるその他の操作として、”常設低圧代替注水系ポンプを用いた格納容器下部注水系（常設）による格納容器下部水位確保操作”、”水素濃度及び酸素濃度監視設備の起動操作”及び”サプレッション・プールpH制御装置”が存在する（ケースA）。

また、運転員Aによる以下の①②の間欠操作について重なる期間が存在する。また、この重なる期間において、

添付3.1.2.1-18

運転員 A によるその他の操作として、” 格納容器圧力逃がし装置による格納容器除熱準備 ” のうち ” 格納容器ベント準備（系統構成） ” が存在する。（ケース B）

① 常設低圧代替注水系ポンプを用いた低圧代替注水系（常設）による原子炉注水操作（事象発生 12 時間までは崩壊熱の変化が大きいため、6 時間間隔で注水量を変更するが、12 時間以降においては、12 時間以上の時間間隔で流量調整を実施する）

② 常設低圧代替注水系ポンプを用いた代替格納容器スプレー冷却系（常設）による格納容器冷却操作（400kPa[gage]到達で格納容器スプレー停止：②－1，465kPa[gage]到達で格納容器スプレー開始：②－2）

・「3.2 高圧熔融物放出／格納容器雰囲気直接加熱」

以下の③の操作が長期間必要で、運転員 A の負荷が大きいケース（原子炉圧力容器破損後も原子炉注水を考慮しない場合。添付資料 3.2.10 参照。）を対象とする。この場合、運転員 A による以下の②③の間欠操作について、重なる期間が存在する。また、この重なる期間において、運転員 A によるその他の操作は存在しない。（ケース C）

② 常設低圧代替注水系ポンプを用いた代替格納容器スプレー冷却系（常設）による格納容器圧力制御操作（400kPa[gage]到達で格納容器スプレー停止：②－1，465kPa[gage]到達で格納容器スプレー開始：②－2）

- ③ 常設低圧代替注水系ポンプを用いた格納容器下部注水系による溶融炉心への注水操作（2.25m 到達で注水開始：③－1，2.75m 到達で注水停止：③－2）

2.3 並行操作と影響の整理

2.2 で記載した各操作の優先度の考え方について以下に示す。並行操作が生じた場合には，基本的には最初に操作基準に到達した操作を優先するが，時間余裕の観点で優先度が高い③－1及び②－2の操作については操作基準の到達により警報を発報させる設計とし，警報発報時には当該操作を優先して実施することとする。

優先度最高 格納容器下部水位が 2.25m（下限水位）に到達した場合の溶融炉心への注水操作（③－1）

全量の溶融炉心がペデスタル（ドライウエル部）に落下した場合の堆積高さは 1.9m 未満であり（添付資料 3.2.13 参照），溶融炉心の露出には 0.3m 以上蒸発する必要があるが，時間余裕としては 10 分未満である（解析において 0.5m 水位低下するまでの最短時間が約 10 分間である）。

優先度高 格納容器圧力が 465kPa[gage]に到達した場合の格納容器スプレイ開始操作（②－2）

格納容器圧力が 465kPa[gage]に到達し，格納容器冷却の開始操作のタイミングが遅れた場合，格納容器最

添付 3.1.2.1-20

高使用圧力の 2 倍 (0.62MPa [gage]) に到達するまでの時間余裕は約 30 分であり, 比較的余裕が少ない。

優先しない操作

- ・ 原子炉注水操作 (流量調整) (①)

流量調整操作が遅れた場合でも原子炉注水は継続されるため, 操作のタイミングが遅くなることによるプラント挙動に及ぼす影響は小さい。

- ・ 格納容器圧力が 400kPa [gage] に到達した場合の格納容器スプレイ停止操作 (② - 2)

停止操作が遅れた場合でも格納容器圧力が 400kPa [gage] 未満に低下するのみであり, 操作のタイミングが遅くなることによるプラント挙動に及ぼす影響は小さい。

- ・ 格納容器下部水位が 2.75m (上限水位) に到達した場合の熔融炉心への注水停止操作 (③ - 2)

停止操作が遅れた場合でも格納容器下部水位は約 2.75m 以上には上昇せず, 余分な水はドライウェルを介してサブプレッション・プールに移行するのみであり, 操作のタイミングが遅くなることによるプラント挙動に及ぼす影響は小さい。

- ・ その他の操作

その他の” 常設低圧代替注水系ポンプを用いた格納容器下部注水系 (常設) による格納容器下部水位確保操作” 等の操作は, 操作が必要なタイミングまで時間余裕があることから, 操作のタイミングが遅くなる

ことによるプラント挙動に及ぼす影響は小さい。

次に，2.2 でまとめた各ケースの並行操作の成立性について以下に示す。

ケース A

添付資料 3.1.3.2 に示すとおり①の操作は，事象発生後 12 時間までは 6 時間間隔，事象発生後 12 時間以降は 12 時間以上の間隔とする。このため，”常設低圧代替注水系ポンプを用いた格納容器下部注水系（常設）による格納容器下部水位確保操作”，”水素濃度及び酸素濃度監視設備の起動操作”及び”サプレッション・プール pH 制御装置”は①の操作と異なるタイミングでの操作となり，操作の成立性に問題はない。

ケース B

①の操作は，事象発生後 12 時間までは 6 時間間隔，事象発生後 12 時間以降は 12 時間以上の間隔とするため，②の操作及び”格納容器ベント準備（系統構成）”と並行することは考えにくい。仮に優先度高である②-2 の操作を含む全ての操作が並行した場合，②-2 の操作を優先し，その他の①の操作及び”格納容器ベント準備（系統構成）”をその後実施することで，操作の成立性に問題はない。

ケース C

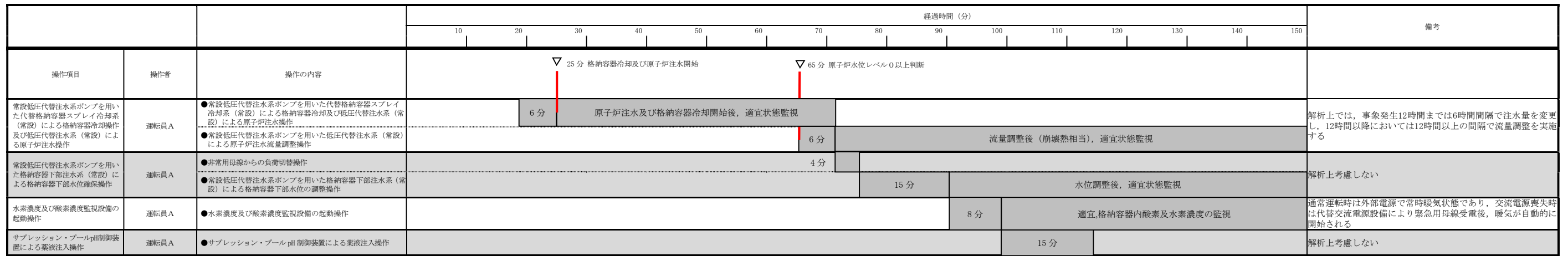
格納容器下部水位が 2.25m（下限水位）に到達した場合の熔融炉心への注水操作（③-1），次に格納容器圧

力が 465kPa[gage]に到達した場合の格納容器スプレー開始操作（②－2）を優先して対応し，②－1 や③－2 の操作の優先度を下げて対応することで，時間余裕は確保され，操作の成立性に問題はない。

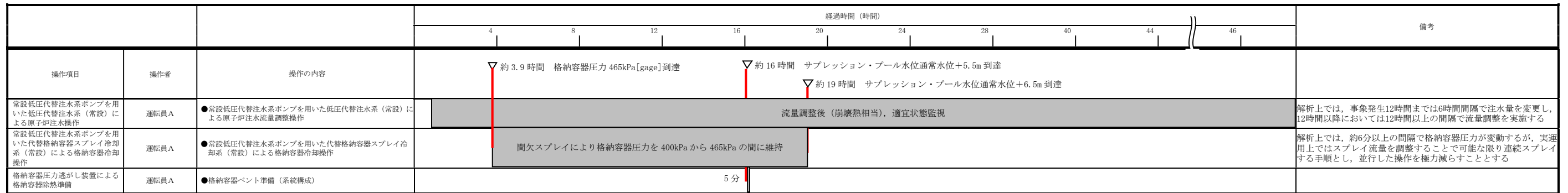
なお，②の操作について，解析上の最も早い操作間隔は格納容器圧力 400kPa[gage]到達により格納容器冷却操作を停止してから 465kPa[gage]到達で再開するまでの約 6 分間となるが，実運用上はスプレー流量を調整することで可能な限り連続スプレーする手順とし，並行した操作を極力減らすこととする。また，③の操作について，解析上の最も早い操作間隔は格納容器下部水位 2.75m で熔融炉心への注水を停止してから 2.25m 到達により再開するまでの約 10 分間となるが，実運用上では崩壊熱相当の注水量に変更することで可能な限り連続注水する手順とし，並行した操作を極力減らすこととする。

3. まとめ

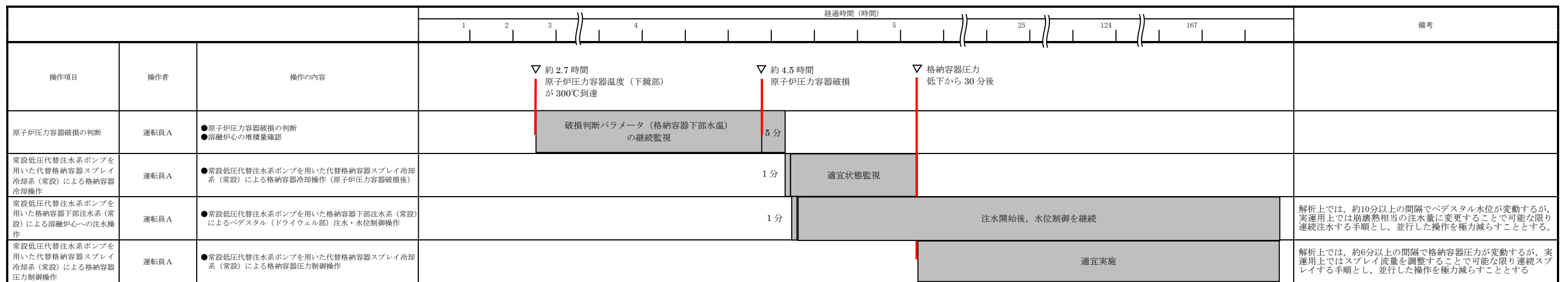
炉心損傷後の操作について，並行操作となり得る操作について整理しその影響を評価した。その結果，いずれのケースにおいても，操作の成立性に問題はないことを確認した。



第1図 ケースAにおける作業と所要時間(雰囲気圧力・温度による静的負荷(格納容器過圧・過温破損)(代替循環冷却系を使用しない場合))



第2図 ケースBにおける作業と所要時間(雰囲気圧力・温度による静的負荷(格納容器過圧・過温破損)(代替循環冷却系を使用しない場合))



第3図 ケースCにおける作業と所要時間(高压溶融物放出/格納容器雰囲気直接加熱)

3.5 溶融炉心・コンクリート相互作用

3.5.1 格納容器破損モードの特徴，格納容器破損防止対策

(1) 格納容器破損モード内のプラント損傷状態

格納容器破損モード「溶融炉心・コンクリート相互作用」に至る可能性のあるプラント損傷状態は、「1.2 評価対象の整理及び評価項目の設定」に示すとおり，TQUV，TQUX，長期TB，TBU，TBP，TBD及びLOCAである。

(2) 格納容器破損モードの特徴及び格納容器破損防止対策の基本的考え方

格納容器破損モード「溶融炉心・コンクリート相互作用」では，発電用原子炉の運転中に異常な過渡変化，原子炉冷却材喪失事故（LOCA）又は全交流動力電源喪失が発生するとともに，非常用炉心冷却系等の安全機能の喪失が重畳する。このため，緩和措置がとられない場合には，原子炉圧力容器内の溶融炉心が格納容器へ流れ出し，溶融炉心からの崩壊熱や化学反応等によって，ペDESTAL（ドライウェル部）のコンクリートが侵食され，格納容器の構造部材の支持機能を喪失し，格納容器の破損に至る。

したがって，本格納容器破損モードでは，ペDESTAL（ドライウェル部）にコリウムシールドを設置した上で，原子炉圧力容器の下部から溶融炉心が落下するまでに，ペDESTAL（ドライウェル部）に溶融炉心の冷却に十分な水位及び水量を確保し，また，溶融炉心の落下後は，溶融炉心への注水によって溶融炉心を冷却することにより，溶融炉心・コンクリート相互作用による水素ガス発生を抑制するとともに格納容器の破損を防止する。

また，長期的には，最終的な熱の逃がし場へ熱の輸送を行うことにより，格納容器の破損を防止する。

さらに，格納容器内における水素燃焼を防止するため，格納容器内の水

素濃度及び酸素濃度が可燃領域に至るまでに、格納容器内へ窒素供給することによって、格納容器の破損を防止する。

本格納容器破損モードに対する有効性を評価するためには、原子炉压力容器が破損した時点及びその後のプラント状態を評価する必要があることから、原子炉压力容器破損までは原子炉への注水を考慮しないものとする。一方、本格納容器破損モードに対しては、原子炉压力容器破損後の格納容器破損防止のための重大事故等対策の有効性についても評価するため、原子炉压力容器破損後は重大事故等対策に係る手順に基づきプラント状態を評価することとする。したがって本評価では、原子炉压力容器破損後も原子炉压力容器内に残存する放射性物質の冷却のために原子炉に注水する対策及び手順を整備することから、これを考慮した有効性評価を実施することとする。また、原子炉压力容器破損後の原子炉注水を考慮しない場合の影響について評価することとする。

(3) 格納容器破損防止対策

格納容器破損モード「熔融炉心・コンクリート相互作用」で想定される事故シーケンスに対して、ペDESTAL（ドライウェル部）のコンクリートの侵食による原子炉压力容器の支持機能喪失を防止するため、常設低圧代替注水系ポンプを用いた格納容器下部注水系（常設）による格納容器下部水位確保手段及び熔融炉心への注水手段を整備する。また、熔融炉心によるペDESTAL（ドライウェル部）のコンクリートの侵食を抑制し、格納容器の構造部材の支持機能の健全性を確保するために、ペDESTAL（ドライウェル部）にコリウムシールドを設置する。

また、原子炉压力容器破損後の格納容器圧力及び温度の上昇を抑制する観点から、常設低圧代替注水系ポンプを用いた代替格納容器スプレイ冷却

系（常設）による格納容器冷却手段，緊急用海水系による海水通水手段及び代替循環冷却系による格納容器除熱手段並びに格納容器圧力逃がし装置による格納容器除熱手段を整備する。

本格納容器破損モードの防止及びその他の対応を含めた一連の重大事故等対策の概要は，「3.2 高圧溶融物放出／格納容器雰囲気直接加熱」の3.2.1(3)と同様である。対策の概略系統図及び対応手順の概要は「3.2 高圧溶融物放出／格納容器雰囲気直接加熱」に示す第3.2-1図及び第3.2-2図である。また，重大事故等対策の手順と設備との関係は，「3.2 高圧溶融物放出／格納容器雰囲気直接加熱」に示す第3.2-1表である。

3.5.2 格納容器破損防止対策の有効性評価

(1) 有効性評価の方法

本格納容器破損モードを評価する上で選定した評価事故シーケンスは，「1.2 評価対象の整理及び評価項目の設定」に示すとおり，プラント損傷状態をTQUVとし，逃がし安全弁再閉失敗を含まない，「過渡事象＋高圧炉心冷却失敗＋低圧炉心冷却失敗＋損傷炉心冷却失敗＋デブリ冷却失敗（ペDESTAL）」である。

1.2.2.1(3)に示すとおり，プラント損傷状態の選定では，LOCAとTQUVを比較し，事象緩和のための対応操作の観点で大きな差異はないこと，原子炉圧力容器外の溶融燃料－冷却材相互作用と溶融炉心・コンクリート相互作用は原子炉圧力容器破損後に生ずる一連の物理現象であることから，「3.3 原子炉圧力容器外の溶融燃料－冷却材相互作用」と同じプラント損傷状態を選定し一連のプラント挙動を確認することを考慮し，TQUVを選定した。

また，本評価事故シーケンスにおいては，電源の復旧，注水機能の確保

等，必要となる事故対処設備が多く，格納容器への注水・除熱を実施するまでの対応時間を厳しく評価する観点から，全交流動力電源喪失の重畳を考慮する。

なお，本評価事故シーケンスは，「3.2 高圧溶融物放出／格納容器雰囲気直接加熱」及び「3.3 原子炉圧力容器外の溶融燃料－冷却材相互作用」において有効性を評価したシーケンスと同様のシーケンスである。本格納容器破損モード及び「3.3 原子炉圧力容器外の溶融燃料－冷却材相互作用」ではプラント損傷状態をT Q U Vとし，「3.2 高圧溶融物放出／格納容器雰囲気直接加熱」ではプラント損傷状態をT Q U Xとしており，異なるプラント損傷状態を選定している。しかしながら，どちらのプラント損傷状態であっても原子炉水位が燃料有効長底部から燃料有効長の20%上の位置に到達した時点で逃がし安全弁（自動減圧機能）の手動開操作によって原子炉を減圧する手順であり，原子炉減圧以降も，溶融炉心の挙動に従って一連の流れで生じる各格納容器破損モードを，定められた一連の手順に従って防止することとなる。このことから，これらの格納容器破損モードについては同様のシーケンスで評価する。

本評価事故シーケンスでは，炉心における崩壊熱，燃料棒内温度変化，燃料棒表面熱伝達，燃料被覆管酸化，燃料被覆管変形，沸騰・ボイド率変化，気液分離（水位変化）・対向流，炉心損傷後の原子炉圧力容器におけるリロケーション，構造材との熱伝達，下部プレナムでの溶融炉心の熱伝達，原子炉圧力容器破損，原子炉圧力容器内F P挙動，炉心損傷後の格納容器におけるペDESTAL（ドライウエル部）床面での溶融炉心の拡がり，原子炉圧力容器外F C I（溶融炉心細粒化），原子炉圧力容器外F C I（デブリ粒子熱伝達），溶融炉心とペDESTAL（ドライウエル部）プール水との伝熱，溶融炉心とコンクリートの伝熱並びにコンクリート分解及び

非凝縮性ガス発生が重要現象となる。

よって、これらの現象を適切に評価することが可能であり、原子炉圧力容器内及び格納容器内の熱水力モデルを備え、かつ、炉心損傷後のシビアアクシデント特有の溶融炉心挙動に関するモデルを有するシビアアクシデント総合解析コードMAAPによりペDESTAL（ドライウエル部）の壁面及び床面のコンクリート侵食量等の過渡応答を求める。

また、解析コード及び解析条件の不確かさの影響評価の範囲として、本評価事故シーケンスにおける運転員等操作時間に与える影響、評価項目となるパラメータに与える影響及び操作時間余裕を評価する。

(2) 有効性評価の条件

本評価事故シーケンスの有効性評価の条件は、「3.2 高圧溶融物放出／格納容器雰囲気直接加熱」の条件と同じである。また、初期条件の初期酸素濃度並びに事故条件の水素及び酸素の発生については、「3.4 水素燃焼」と同じである。

(3) 有効性評価の結果

本評価事故シーケンスにおけるペDESTAL（ドライウエル部）の水位、ペDESTAL（ドライウエル部）の壁面及び床面のコンクリート侵食量の推移を第3.5-1図及び第3.5-2図に示す。

a. 事象進展

事象進展は「3.2 高圧溶融物放出／格納容器雰囲気直接加熱」と同じである。

b. 評価項目等

第3.5-2図に示すとおり、コリウムシールドの設置によりコンクリー

トの侵食を抑制するとともに、常設低圧代替注水系ポンプを用いた格納容器下部注水系（常設）による格納容器下部水位確保及び熔融炉心への注水によりペDESTAL（ドライウェル部）に落下した熔融炉心を冷却することで、ペDESTAL（ドライウェル部）の壁面及び床面のコンクリートの温度は融点に至らず侵食量は0cmにとどまり、原子炉圧力容器の支持機能を維持できる。

なお、MAAPコードによる評価においては、コリウムシールドと熔融炉心の接触面温度は2,100℃未満であり、コリウムシールドの侵食は生じないが、熔融炉心中の酸化鉄成分との共晶反応も含めて評価した場合には、コリウムシールドには3.3cm程度の侵食が生じるものの、その侵食量はコリウムシールドの厚さに対して余裕がある。また、コリウムシールドの侵食に伴うガスの発生は生じず、熔融炉心・コンクリート相互作用による可燃性ガスは発生しない。

（添付資料 3.5.1, 3.5.2, 3.5.3）

本評価では、「1.2.2.2 有効性を確認するための評価項目の設定」に示す(8)の評価項目について、対策の有効性を確認した。

「1.2.2.2 有効性を確認するための評価項目の設定」に示す(1)から(4)、(6)及び(7)に示す評価項目並びにペDESTAL（ドライウェル部）に落下した熔融炉心及び格納容器の安定状態維持については、「3.2 高圧熔融物放出／格納容器雰囲気直接加熱」において確認している。また、(5)の評価項目については、「3.3 原子炉圧力容器外の熔融燃料－冷却材相互作用」において確認している。

（添付資料 3.2.8）

3.5.3 解析コード及び解析条件の不確かさの影響評価

解析コード及び解析条件の不確かさの影響評価の範囲として、運転員等操作時間に与える影響、評価項目となるパラメータに与える影響及び操作時間余裕を評価するものとする。

格納容器破損モード「熔融炉心・コンクリート相互作用」では、重大事故等対処設備を含む全ての原子炉注水機能が喪失して炉心損傷及び原子炉压力容器の破損に至り、熔融炉心がペDESTAL（ドライウエル部）に落下してコンクリートを侵食することが特徴である。

また、不確かさの影響を確認する運転員等操作は、事象発生から 12 時間程度までの短時間に期待する操作及び事象進展に有意な影響を与えると考えられる操作として、常設低圧代替注水系ポンプを用いた代替格納容器スプレイ冷却系（常設）による格納容器冷却操作及び常設低圧代替注水系ポンプを用いた格納容器下部注水系（常設）による熔融炉心への注水操作とする。

本評価事故シーケンスの有効性評価における不確かさとしては、リロケーション（炉心熔融開始後の熔融炉心の移動）、水張りされたペDESTAL（ドライウエル部）へ落下した熔融炉心の粒子化、落下した熔融炉心の拡がり、熔融炉心から水への熱伝達及びコンクリート侵食が挙げられる。リロケーション（炉心熔融開始後の熔融炉心の移動）に対しては、原子炉压力容器温度（下鏡部）が 300℃に到達したこと等をもって破損兆候を検知し、格納容器下部水温計の指示を継続監視することで原子炉压力容器破損を判断し、常設低圧代替注水系ポンプを用いた代替格納容器スプレイ冷却系（常設）による格納容器冷却操作及び常設低圧代替注水系ポンプを用いた格納容器下部注水系（常設）による熔融炉心への注水操作を行うといった徴候を捉えた対応によって、熔融炉心を確実に冷却できることを確認している。また、本評価事故シーケンスの評価では、熔融炉心から水への熱伝達が本格納容器破損モードに対して影響が大きいことを踏まえて、熔融炉心から水への熱伝達に対す

る影響評価を実施する。

(1) 解析コードにおける重要現象の不確かさの影響評価

本評価事故シーケンスにおいて不確かさの影響評価を行う重要現象とは、「1.7 解析コード及び解析条件の不確かさの影響評価方針」に示すとおりであり、それらの不確かさの影響評価は以下のとおりである。

a. 運転員等操作時間に与える影響

炉心における燃料棒内温度変化、燃料棒表面熱伝達、燃料被覆管酸化及び燃料被覆管変形の不確かさとして、炉心ヒートアップに関するモデルは、TMI事故についての再現性及びCORA実験についての再現性を確認している。炉心ヒートアップの感度解析（ジルコニウム-水反応速度の係数についての感度解析）では、炉心熔融時間及び炉心下部プレナムへの熔融炉心移行の開始時間に対する感度は数分程度であり、影響は小さいことを確認している。本評価事故シーケンスでは、原子炉压力容器破損時点で常設低圧代替注水系ポンプを用いた代替格納容器スプレイ冷却系（常設）による格納容器冷却操作及び常設低圧代替注水系ポンプを用いた格納容器下部注水系（常設）による熔融炉心への注水操作を実施するが、下部プレナムへの熔融炉心移行の開始時間の不確かさは小さく、下部プレナムへ熔融炉心が移行した際の原子炉压力容器温度（下鏡部）の上昇及び原子炉压力容器破損時の格納容器下部水温の上昇は急峻であることから、原子炉压力容器破損を操作開始の起点としている常設低圧代替注水系ポンプを用いた代替格納容器スプレイ冷却系（常設）による格納容器冷却操作及び常設低圧代替注水系ポンプを用いた格納容器下部注水系（常設）による熔融炉心への注水操作に係る運転員等操作時間に与える影響は小さい。

炉心における沸騰・ボイド率変化及び気液分離（水位変化）・対向流の不確かさとして、炉心モデル（炉心水位計算モデル）は原子炉水位挙動について原子炉圧力容器内のモデルが精緻である解析コードS A F E Rの評価結果との比較により水位低下幅は解析コードM A A Pの評価結果の方が保守的であることを確認していることから、運転員等操作時間に与える影響は小さい。

炉心損傷後の原子炉圧力容器におけるリロケーション及び構造材との熱伝達の不確かさとして、熔融炉心の挙動モデルはT M I 事故についての再現性を確認している。また、炉心ノード崩壊のパラメータを低下させた感度解析により原子炉圧力容器破損時間に与える影響は小さいことを確認している。原子炉圧力容器の破損の影響を受ける可能性がある操作としては、熔融炉心落下後の常設低圧代替注水系ポンプを用いた代替格納容器スプレイ冷却系（常設）による格納容器冷却操作及び常設低圧代替注水系ポンプを用いた格納容器下部注水系（常設）による熔融炉心への注水操作があるが、下部プレナムへの熔融炉心移行の開始時間の不確かさは小さく、下部プレナムへ熔融炉心が移行した際の原子炉圧力容器温度（下鏡部）の上昇及び原子炉圧力容器破損時の格納容器下部水温の上昇は急峻であることから、原子炉圧力容器の破損を起点としている常設低圧代替注水系ポンプを用いた代替格納容器スプレイ冷却系（常設）による格納容器冷却操作及び常設低圧代替注水系ポンプを用いた格納容器下部注水系（常設）による熔融炉心への注水操作に係る運転員等操作時間に与える影響は小さい。

炉心損傷後の原子炉圧力容器における下部プレナムでの熔融炉心の熱伝達の不確かさとして、熔融炉心の挙動モデルはT M I 事故についての再現性を確認している。また、下部プレナムと熔融炉心の熱伝達に関す

る感度解析により原子炉圧力容器破損時間に与える影響は小さいことを確認している。原子炉圧力容器破損の影響を受ける可能性がある操作としては、溶融炉心落下後の常設低圧代替注水系ポンプを用いた代替格納容器スプレイ冷却系（常設）による格納容器冷却操作及び常設低圧代替注水系ポンプを用いた格納容器下部注水系（常設）による溶融炉心への注水操作があるが、原子炉圧力容器破損時間の不確かさは小さいことから、原子炉圧力容器の破損を起点としている常設低圧代替注水系ポンプを用いた代替格納容器スプレイ冷却系（常設）による格納容器冷却操作及び常設低圧代替注水系ポンプを用いた格納容器下部注水系（常設）による溶融炉心への注水操作に係る運転員等操作時間に与える影響は小さい。

炉心損傷後の原子炉圧力容器における原子炉圧力容器破損の不確かさとして、制御棒駆動機構ハウジング溶接部の破損判定に用いる最大ひずみ（しきい値）に関する感度解析により最大ひずみを低下させた場合に原子炉圧力容器破損時間が早まることを確認しているが、原子炉圧力容器破損（事象発生から約 4.5 時間後）に対して、十数分早まる程度であり、常設低圧代替注水系ポンプを用いた代替格納容器スプレイ冷却系（常設）による格納容器冷却操作及び常設低圧代替注水系ポンプを用いた格納容器下部注水系（常設）による溶融炉心への注水操作は中央制御室から速やかに実施可能な操作であることから、原子炉圧力容器破損を操作開始の起点としている常設低圧代替注水系ポンプを用いた代替格納容器スプレイ冷却系（常設）による格納容器冷却操作及び常設低圧代替注水系ポンプを用いた格納容器下部注水系（常設）による溶融炉心への注水操作に係る運転員等操作時間に与える影響は小さい。

炉心損傷後の原子炉圧力容器における原子炉圧力容器内 F P 挙動の不

確かさとして、核分裂生成物（F P）挙動モデルはP H E B U S - F P 実験解析により原子炉压力容器内へのF P放出の開始時間を適切に再現できることを確認している。P H E B U S - F P 実験解析では、燃料被覆管破裂後のF P放出について実験結果より急激な放出を示す結果が確認されたが、小規模体系の模擬性が原因と推測され、実機の大規模な体系においてこの種の不確かさは小さくなると推定される。本評価事故シーケンスでは、炉心損傷後の原子炉压力容器内F P放出を操作開始の起点としている運転員等操作はないことから、運転員等操作に与える影響はない。

炉心損傷後の格納容器における溶融燃料－冷却材相互作用の不確かさとして、溶融炉心の細粒化モデルにおけるエントレインメント係数、デブリ粒子径の感度解析により、原子炉压力容器外の溶融燃料－冷却材相互作用による圧カスパイクに与える影響は小さいことを確認している。本評価事故シーケンスでは、原子炉压力容器外の溶融燃料－冷却材相互作用による圧カスパイクを起点とした運転員等操作はないことから、運転員等操作時間に与える影響はない。

炉心損傷後の格納容器における格納容器下部床面での溶融炉心の拡がり及び溶融炉心と格納容器下部プール水の伝熱の不確かさとして、エントレインメント係数、溶融炉心からのプール水への熱流束及び溶融プールクラスト間の熱伝達係数がコンクリート侵食量に影響を与えることを確認している。これより、コリウムシールド侵食量に対しても影響を与える可能性があるが、本評価事故シーケンスでは、コリウムシールド及びコンクリートの侵食を操作開始の起点としている運転員等操作はないことから、運転員等操作時間に与える影響はない。

炉心損傷後の格納容器における溶融炉心とコンクリート伝熱、コンク

リート分解及び非凝縮性ガス発生の不確かさとして、コリウムシールド及びコンクリートの侵食量への影響が考えられるが、コリウムシールド及びコンクリートの侵食を操作開始の起点としている運転員等操作はないことから、運転員等操作時間に与える影響はない。なお、炉心損傷後の格納容器における溶融炉心とコンクリート伝熱、コンクリート分解及び非凝縮性ガス発生の不確かさがコンクリート侵食に与える影響に対しては、実験解析によりコンクリート侵食量を適切に評価できることを確認している。また、MAAPコードにおける溶融炉心から構造材への伝熱は材質に依存しないモデルとなっておりコリウムシールドにも適用可能であるとともに、このモデルにおいて評価した結果、コリウムシールドと溶融炉心の接触面温度は 2,100℃未満であり、コリウムシールドに対しても溶融炉心からの伝熱を適切に考慮した上で侵食は生じないことを確認している。

(添付資料 3.5.1, 3.5.4)

b. 評価項目となるパラメータに与える影響

炉心における燃料棒内温度変化、燃料棒表面熱伝達、燃料被覆管酸化及び燃料被覆管変形の不確かさとして、炉心ヒートアップに関するモデルは、TMI事故についての再現性及びCOR A実験についての再現性を確認している。炉心ヒートアップの感度解析（ジルコニウム-水反応速度の係数についての感度解析）では、炉心溶融時間及び炉心下部プレナムへの溶融炉心移行の開始時間に対する感度は数分程度であり、影響は小さいことを確認している。本評価事故シーケンスでは、原子炉圧力容器破損時点でペDESTAL（ドライウェル部）に水張りが実施されていることから、評価項目となるパラメータに与える影響は小さい。

炉心における沸騰・ボイド率変化及び気液分離（水位変化）・対向流

の不確かさとして、炉心モデル（炉心水位計算モデル）は、原子炉水位挙動について原子炉圧力容器内のモデルが精緻である解析コードS A F E Rの評価結果との比較により、水位低下幅は解析コードM A A Pの評価結果の方が保守的であることを確認している。また、原子炉圧力容器破損時点でペDESTAL（ドライウェル部）に水張りが実施されていることから、評価項目となるパラメータに与える影響は小さい。

炉心損傷後の原子炉圧力容器におけるリロケーション及び構造材との熱伝達の不確かさとして、熔融炉心の挙動モデルはT M I 事故についての再現性を確認している。また、炉心ノード崩壊のパラメータを低下させた感度解析により、原子炉圧力容器破損時間に与える影響は小さいことを確認している。本評価事故シーケンスでは、原子炉圧力容器破損時点でペDESTAL（ドライウェル部）に水張りが実施されていることから、評価項目となるパラメータに与える影響は小さい。

炉心損傷後の原子炉圧力容器における下部プレナムでの熔融炉心の熱伝達の不確かさとして、熔融炉心の挙動モデルはT M I 事故についての再現性を確認している。また、下部プレナムと熔融炉心の熱伝達に関する感度解析により原子炉圧力容器破損時間に与える影響は小さいことを確認している。本評価事故シーケンスでは、原子炉圧力容器破損時点でペDESTAL（ドライウェル部）に水張りが実施されていることから、評価項目となるパラメータに与える影響は小さい。

炉心損傷後の原子炉圧力容器における原子炉圧力容器破損の不確かさとして、制御棒駆動機構ハウジング溶接部の破損判定に用いる最大ひずみ（しきい値）に関する感度解析により最大ひずみを低下させた場合に原子炉圧力容器破損時間が早まることを確認しているが、原子炉圧力容器破損（事象発生から約 4.5 時間後）に対して、早まる時間はわずかで

あり、破損時間がわずかに早まった場合においても、ペDESTAL（ドライウェル部）に水張りが実施されていることから、評価項目となるパラメータに与える影響は小さい。

炉心損傷後の原子炉圧力容器における原子炉圧力容器内F P挙動の不確かさとして、原子炉圧力容器内F P挙動と熔融炉心との相互作用によるコリウムシールド及びコンクリートの侵食量に関連はないことから、評価項目となるパラメータに与える影響はない。

炉心損傷後の格納容器における熔融燃料－冷却材相互作用の不確かさとして、エントレインメント係数の感度解析より熔融炉心の細粒化割合がコンクリート侵食に与える感度は小さいことを確認している。また、このことは、エントレインメント係数の不確かさにより熔融炉心の細粒化割合が変化した場合でも熔融炉心の温度に対する感度は小さいことを示しており、コリウムシールド侵食に与える感度についても同様に小さいと考えられることから、評価項目となるパラメータに与える影響は小さい。

炉心損傷後の格納容器における格納容器下部床面での熔融炉心の拡がりについて、実機では熔融炉心の落下量が多く崩壊熱による継続的な加熱も生じることから各種実験と比較してより拡がり易い傾向となる。また、熔融炉心の拡がりが抑制されると想定した場合は、種々の不均一な堆積形状を考慮しても、拡がりが抑制されないペDESTAL（ドライウェル部）への均一堆積形状の方が熔融炉心と水の伝熱面積が大きくなり、熔融炉心が冷却される傾向となる。拡がりが抑制されない均一堆積形状の場合、熔融炉心落下時点における熔融炉心とコリウムシールドの接触面温度はコリウムシールドの侵食開始温度を下回っており、また、常設低圧代替注水系ポンプを用いた格納容器下部注水系（常設）による熔融

炉心への注水によって熔融炉心は継続的に冷却されることから、熔融炉心の拡がりや抑制されると想定した場合においても、コリウムシールド及びコンクリートの侵食への影響はなく、評価項目となるパラメータに与える影響はない。また、炉心損傷後の熔融炉心と格納容器下部プール水の伝熱の不確かさとして、エントレインメント係数、熔融炉心からプール水への熱流束及び熔融プールークラスト間の熱伝達係数の感度解析を踏まえ、コンクリート侵食量について支配的な熔融炉心からプール水への熱流束についての感度解析を実施した。その結果、コリウムシールド及びコンクリートの侵食は生じていないことから、原子炉圧力容器の支持機能を維持できる。

コリウムシールドの伝熱物性値の温度依存性の影響を確認する観点より感度解析を実施した。M A A P解析結果を包絡する温度境界条件を想定した場合においても、コリウムシールド外表面と接するペデスタル（ドライウェル部）のコンクリート温度は侵食が開始する温度に至らないことから、評価項目となるパラメータに与える影響は小さい。

(添付資料 3.5.1, 3.5.4)

(2) 解析条件の不確かさの影響評価

a. 初期条件、事故条件及び重大事故等対策に関連する機器条件

初期条件、事故条件及び重大事故等対策に関連する機器条件は、第3.2-2表に示すとおりであり、それらの条件設定を設計値等、最確条件とした場合の影響を評価する。また、解析条件の設定に当たっては、評価項目となるパラメータに対する余裕が小さくなるような設定があることから、その中で事象進展に有意な影響を与えると考えられる項目に関する影響評価の結果を以下に示す。

(a) 運転員等操作時間に与える影響

初期条件の原子炉停止後の崩壊熱は、解析条件の燃焼度 33GWd/t に対して最確条件は 33GWd/t 以下であり、解析条件の不確かさとして、最確条件とした場合は、解析条件で設定している崩壊熱よりもおおむね小さくなるため、発生する蒸気量は少なくなり、原子炉圧力容器の破損に至るまでの事象進展は緩和されるが、操作手順（常設低圧代替注水系ポンプを用いた代替格納容器スプレイ冷却系（常設）による格納容器冷却操作及び常設低圧代替注水系ポンプを用いた格納容器下部注水系（常設）による溶融炉心への注水操作を実施すること）に変わりはないことから、運転員等操作時間に与える影響はない。

初期条件の溶融炉心からプールへの熱流束は、解析条件の 800kW/m^2 相当（圧力依存あり）に対して最確条件は 800kW/m^2 相当（圧力依存あり）であり、最確条件とした場合は、解析条件と同様であるため、事象進展に与える影響はないことから、運転員等操作時間に与える影響はない。

初期条件のコンクリート以外の素材の扱いは、解析条件の鉄筋は考慮しないことに対して最確条件はコンクリート以外の素材を考慮することであり、解析条件の不確かさとして、最確条件とした場合は、コンクリートより融点の高い鉄筋の耐熱の効果により、コンクリートの侵食が抑制されるが、コンクリートの侵食を操作開始の起点としている運転員等操作はないことから、運転員等操作時間に与える影響はない。また、コリウムシールドについては、機器条件にて考慮している。

初期条件の原子炉圧力容器下部及びペDESTAL（ドライウェル部）内構造物の扱いは、解析条件のペDESTAL（ドライウェル部）に落下する溶融物とは扱わないことに対して、最確条件は部分的な溶融が生

じ、ペデスタル（ドライウエル部）に落下する可能性があり、解析条件の不確かさとして、最確条件とした場合は、熔融物の発熱密度が下がるため、コリウムシールド及びコンクリートの侵食が抑制されるが、コリウムシールド及びコンクリートの侵食を操作開始の起点としている運転員等操作はないことから、運転員等操作時間に与える影響はない。

初期条件の原子炉圧力、原子炉水位、炉心流量、格納容器体積（サブプレッション・チェンバ）の空間部及び液相部、サブプレッション・プール水位及びドライウエル雰囲気温度は、解析条件の不確かさとして、ゆらぎにより解析条件に対して変動を与え得るが、事象進展に与える影響は小さいことから、運転員等操作時間に与える影響は小さい。

事故条件の起因事象は、原子炉圧力容器への給水はできないものとして給水流量の全喪失を設定しているが、起因事象の違いによって操作手順（常設低圧代替注水系ポンプを用いた代替格納容器スプレイ冷却系（常設）による格納容器冷却操作及び常設低圧代替注水系ポンプを用いた格納容器下部注水系（常設）による熔融炉心への注水操作を実施すること）に変わりはないことから、運転員等操作時間に与える影響はない。

機器条件のコリウムシールド耐熱材の種類及びペデスタル（ドライウエル部）床面積は、解析条件と最確条件は同様であることから、事象進展に与える影響はなく、運転員等操作時間に与える影響はない。

機器条件のコリウムシールド耐熱材の侵食開始温度は、解析条件と最確条件は同様であることから、事象進展に与える影響はなく、運転員等操作時間に与える影響はない。なお、熔融炉心中の酸化鉄成分との共晶反応も含めて評価すると、コリウムシールドには3.3cm程度の

侵食が生じるものの、コリウムシールドの侵食を操作開始の起点としている運転員等操作はないことから、運転員等操作時間に与える影響はない。

(添付資料 3.5.1, 3.5.4)

(b) 評価項目となるパラメータに与える影響

初期条件の原子炉停止後の崩壊熱は、解析条件の燃焼度 33GWd/t に対して最確条件は 33GWd/t 以下であり、解析条件の不確かさとして、最確条件とした場合は、解析条件で設定している崩壊熱よりもおおむね小さくなるため、熔融炉心の持つエネルギーが小さくなることから、評価項目となるパラメータに対する余裕が大きくなる。

初期条件の熔融炉心からのプールへの熱流束は、解析条件の 800kW/m^2 相当（圧力依存あり）に対して最確条件は 800kW/m^2 相当（圧力依存あり）であり、最確条件とした場合は、解析条件と同様であるため、事象進展に影響はないことから、評価項目となるパラメータに与える影響はない。コリウムシールド及びコンクリートの侵食量に対しては、実験で確認されている侵食面における侵食の不均一性等の影響を確認する観点から、コンクリート侵食量への影響が最も大きい熔融炉心からプール水への熱流束について、感度解析を実施した。その結果、コリウムシールド及びコンクリートの侵食は生じず、原子炉圧力容器の支持機能を維持できることを確認した。また、熔融炉心・コンクリート相互作用による可燃性ガスは発生しない。

初期条件のコンクリート以外の素材の扱いは、解析条件の鉄筋は考慮しないことに対して最確条件はコンクリート以外の素材を考慮することであり、解析条件の不確かさとして、最確条件とした場合には、コンクリートより融点の高い鉄筋の耐熱の効果により、コンクリート

の侵食が抑制されることから、評価項目となるパラメータに対する余裕は大きくなる。また、コリウムシールドについては、機器条件にて考慮している。

初期条件の原子炉压力容器下部及びペDESTAL（ドライウェル部）内構造物の扱いは、解析条件のペDESTAL（ドライウェル部）に落下する溶融物とは扱わないことに対して最確条件は部分的な溶融が生じ、ペDESTAL（ドライウェル部）に落下する可能性があり、解析条件の不確かさとして、最確条件とした場合は、溶融物の発熱密度が下がるため、コリウムシールド及びコンクリートの侵食が抑制されることから、評価項目となるパラメータに対する余裕は大きくなる。

初期条件の原子炉圧力、原子炉水位、炉心流量、格納容器体積（サプレッション・チェンバ）の空間部及び液相部、サプレッション・プール水位及びドライウェル雰囲気温度は、解析条件の不確かさとして、ゆらぎにより解析条件に対して変動を与え得るが、事象進展に与える影響は小さいことから、評価項目となるパラメータに与える影響は小さい。

事故条件について、コリウムシールド及びコンクリートの侵食量を評価するにあたり、溶融炉心落下時の崩壊熱の影響を確認する観点から感度解析を実施した。起因事象として、原子炉水位の低下の観点でより厳しい事象であるLOCA等の原子炉冷却材圧力バウンダリ喪失を仮定し、事故シーケンスを「大破断LOCA+高圧炉心冷却失敗+低圧炉心冷却失敗」として、本評価事故シーケンスの評価条件と同様に、重大事故等対処設備による原子炉注水機能についても原子炉压力容器破損まで使用できないものと仮定した場合、原子炉压力容器破損のタイミングが早くなるため、溶融炉心落下時の崩壊熱の影響を確認

する観点から感度解析を実施した。その結果、コリウムシールド及びコンクリートの侵食は生じず、原子炉圧力容器の支持機能を維持できる。また、熔融炉心・コンクリート相互作用による可燃性ガスは発生しない。

機器条件のコリウムシールド耐熱材の種類及びペDESTAL（ドライウエル部）床面積は、解析条件と最確条件は同様であることから、事象進展に与える影響はなく、評価項目となるパラメータに与える影響はない。

機器条件のコリウムシールド耐熱材の侵食開始温度は、解析条件と最確条件は同様であることから、事象進展に与える影響はなく、評価項目となるパラメータに与える影響はない。なお、熔融炉心中の酸化鉄成分との共晶反応も含めて評価すると、コリウムシールドには3.3cm程度の侵食が生じるものの、コリウムシールド厚さに対して余裕があることから、評価項目となるパラメータに与える影響は小さい。

(添付資料 3.5.1, 3.5.4)

b. 操作条件

操作条件の不確かさとして、操作の不確かさを「認知」、「要員配置」、「移動」、「操作所要時間」、「他の並列操作有無」及び「操作の確実さ」の6要因に分類し、これらの要因が、運転員等操作時間に与える影響を評価する。また、運転員等操作時間に与える影響が評価項目となるパラメータに与える影響を評価し、評価結果を以下に示す。

(a) 運転員等操作時間に与える影響

操作条件の常設低圧代替注水系ポンプを用いた代替格納容器スプレイ冷却系（常設）による格納容器冷却は、解析上の操作時間として原子炉圧力容器破損から6分後（事象発生から約4.6時間後）を設定し

ている。運転員等操作時間に与える影響として、原子炉压力容器破損までに事象発生から約 4.5 時間の時間余裕があり、また、熔融炉心落下後の常設低圧代替注水系ポンプを用いた代替格納容器スプレイ冷却系（常設）による格納容器冷却は、原子炉压力容器温度（下鏡部）が 300℃に到達したこと等をもって破損兆候を検知し、原子炉压力容器の破損判断パラメータである格納容器下部水温計の指示を継続監視することで原子炉压力容器破損を判断し、格納容器冷却を実施することとしており、実態の操作開始時間は解析上の設定とほぼ同等であり、操作開始時間に与える影響は小さい。当該操作は、解析コード及び解析条件（操作条件を除く）の不確かさにより操作開始時間は遅れる可能性があるが、中央制御室での操作のみであり、運転員は中央制御室に常駐していること、また、当該操作に対応する運転員に他の並列操作はないことから、操作時間に与える影響はない。

操作条件の常設低圧代替注水系ポンプを用いた格納容器下部注水系（常設）による熔融炉心への注水は、解析上の操作時間として原子炉压力容器破損から 7 分後（事象発生から約 4.6 時間後）を設定している。運転員等操作時間に与える影響として、原子炉压力容器破損までに事象発生から約 4.5 時間の時間余裕があり、また、熔融炉心落下後の常設低圧代替注水系ポンプを用いた格納容器下部注水系（常設）による熔融炉心への注水は、原子炉压力容器温度（下鏡部）が 300℃に到達したこと等をもって破損兆候を検知し、原子炉压力容器の破損判断パラメータである格納容器下部水温計の指示を継続監視することで原子炉压力容器破損を判断し、注水操作を実施することとしており、実態の操作開始時間は解析上の設定とほぼ同等であり、操作開始時間に与える影響は小さい。当該操作は、解析コード及び解析条件（操作

条件を除く)の不確かさにより操作開始時間は遅れる可能性があるが、中央制御室での操作のみであり、運転員は中央制御室に常駐していること、また、当該操作に対応する運転員に他の並列操作はないことから、操作時間に与える影響はない。

(添付資料 3.2.2, 3.5.4)

(b) 評価項目となるパラメータに与える影響

操作条件の溶融炉心落下後の常設低圧代替注水系ポンプを用いた代替格納容器スプレイ冷却系(常設)による格納容器冷却及び常設低圧代替注水系ポンプを用いた格納容器下部注水系(常設)による溶融炉心への注水は、運転員等操作時間に与える影響として、実態の操作時間は解析上の設定とほぼ同等であることから、評価項目となるパラメータに与える影響は小さい。

(添付資料 3.5.4)

(3) 操作時間余裕の把握

操作開始時間の遅れによる影響度合いを把握する観点から、評価項目となるパラメータに対して、対策の有効性が確認できる範囲内での操作時間余裕を確認し、その結果を以下に示す。

操作条件の溶融炉心落下後の常設低圧代替注水系ポンプを用いた代替格納容器スプレイ冷却系(常設)による格納容器冷却及び常設低圧代替注水系ポンプを用いた格納容器下部注水系(常設)による溶融炉心への注水については、原子炉圧力容器破損までの時間は事象発生から約4.5時間あり、また、溶融炉心落下後にペDESTAL(ドライウェル部)注水が行われなかった場合でも、溶融炉心落下前に張られた水が溶融炉心の崩壊熱及びジルコニウム-水反応による発熱により蒸発するまでには約0.3時間の時間余

裕がある。

(添付資料 3.2.14, 3.5.4)

(4) まとめ

解析コード及び解析条件の不確かさの影響評価の範囲として、運転員等操作時間に与える影響、評価項目となるパラメータに与える影響及び操作時間余裕を確認した。その結果、解析コード及び解析条件の不確かさが運転員等操作時間に与える影響等を考慮した場合においても、評価項目となるパラメータに与える影響は小さい。このほか、評価項目となるパラメータに対して、対策の有効性が確認できる範囲内において、操作時間には時間余裕がある。

なお、「3.2 高圧溶融物放出／格納容器雰囲気直接加熱」において、原子炉圧力容器破損後の原子炉注水を考慮しない場合の影響について感度解析を実施しており、評価項目となるパラメータに対する影響は小さいことを確認している。

(添付資料3.2.10)

3.5.4 必要な要員及び資源の評価

本評価事故シーケンスは、「3.2 高圧溶融物放出／格納容器雰囲気直接加熱」と同じであることから、必要な要員及び資源の評価は「3.2.4 必要な要員及び資源の評価」と同じである。

3.5.5 結論

格納容器破損モード「溶融炉心・コンクリート相互作用」では、運転時の異常な過渡変化、原子炉冷却材喪失事故（LOCA）又は全交流動力電源喪

失が発生するとともに、非常用炉心冷却系等の安全機能の喪失が重畳する。このため、原子炉压力容器内の熔融炉心が格納容器へ流れ出し、熔融炉心からの崩壊熱や化学反応等によって、ペDESTAL（ドライウェル部）のコンクリートが侵食され、格納容器の構造部材の支持機能を喪失し、格納容器の破損に至ることが特徴である。格納容器破損モード「熔融炉心・コンクリート相互作用」に対する格納容器破損防止対策としては、常設低圧代替注水系ポンプを用いた格納容器下部注水系（常設）による格納容器下部水位確保手段及び熔融炉心への注水手段を整備している。また、ペDESTAL（ドライウェル部）にコリウムシールドを設置している。

格納容器破損モード「熔融炉心・コンクリート相互作用」の評価事故シナリオ「過渡事象＋高圧炉心冷却失敗＋低圧炉心冷却失敗＋損傷炉心冷却失敗＋デブリ冷却失敗（ペDESTAL）」について、有効性評価を行った。

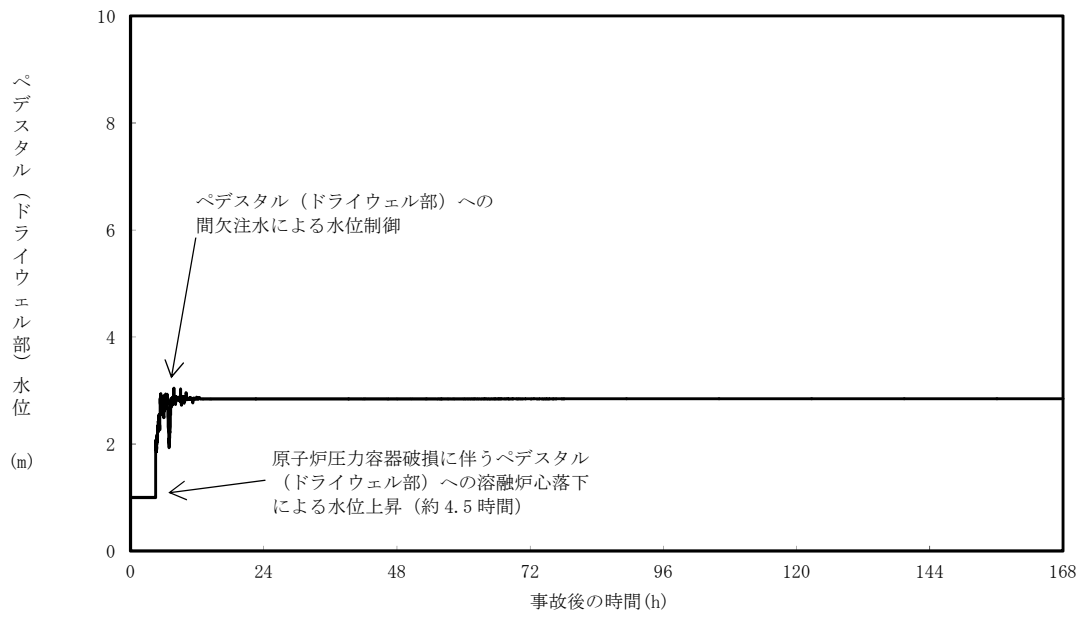
上記の場合においても、常設低圧代替注水系ポンプを用いた格納容器下部注水系（常設）による格納容器下部水位確保及び熔融炉心への注水を実施することにより、熔融炉心の冷却が可能である。その結果、熔融炉心・コンクリート相互作用によるコンクリートの侵食は生じず、原子炉压力容器の支持機能を維持できる。また、安定状態を維持できる。

解析コード及び解析条件の不確かさについて確認した結果、運転員等操作時間に与える影響及び評価項目となるパラメータに与える影響は小さい。また、対策の有効性が確認できる範囲内において、操作時間余裕について確認した結果、操作が遅れた場合でも一定の余裕がある。

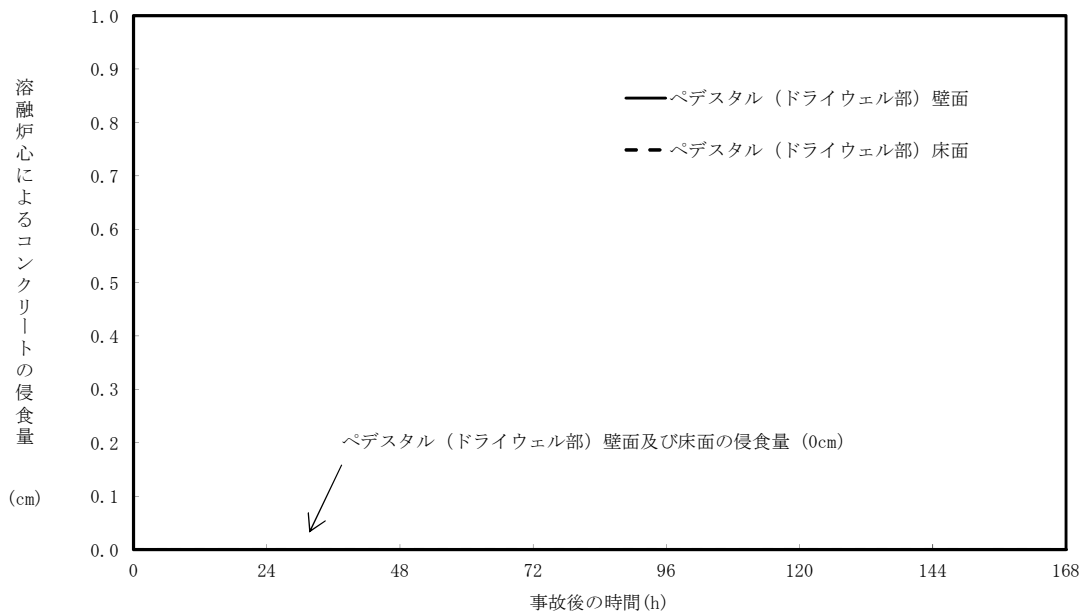
重大事故等対策時に必要な要員は、運転員及び災害対策要員にて確保可能である。また、必要な水源、燃料及び電源については、外部支援を考慮しないとしても、7日間以上の供給が可能である。

以上のことから、格納容器破損モード「熔融炉心・コンクリート相互作用」

において、常設低圧代替注水系ポンプを用いた格納容器下部注水系（常設）による格納容器下部水位確保及び溶融炉心への注水，コリウムシールドの設置等の格納容器破損防止対策は，選定した評価事故シーケンスに対して有効であることが確認でき，格納容器破損モード「溶融炉心・コンクリート相互作用」に対して有効である。



第 3.5-1 図 ベデスタル (ドライウエル部) の水位の推移



第 3.5-2 図 ベデスタル (ドライウエル部) の
壁面及び床面のコンクリート侵食量の推移

コリウムシールドを考慮した熔融炉心・コンクリート相互作用による
侵食量評価について

格納容器破損モード「熔融炉心・コンクリート相互作用」（以下「MCCI」という。）に対する重大事故等対処設備であるコリウムシールドについて、解析コードにおける取扱いを示すとともに、解析コード及び解析条件の不確かさの影響について整理する。

1. 解析コードにおけるコリウムシールドの取扱いについて

MAAPコードにおけるMCCI伝熱モデルでは、熔融炉心－コンクリート間の伝熱、クラストの伝熱と厚さ、上部クラスト－水プール間熱伝達が考慮されている。ここでは、コリウムシールド模擬に伴う設定の変更点と熔融炉心－コリウムシールド間の適用性について示す。

(1) コリウムシールドの模擬について

MAAPコードにおけるMCCI伝熱モデルの概念図を第1図に示す。MAAPコードによる侵食量評価では、本モデルのうち、コンクリートの物性値として設定されている以下のパラメータについて、 ZrO_2 の物性値を一定の値で設定し、コリウムシールドを模擬している。

- ・ 侵食開始温度
- ・ 密度
- ・ 比熱
- ・ 熱伝導率
- ・ 熔融潜熱

侵食開始温度については、化学反応等による侵食開始温度低下を考慮した保守的な設定としている（別添 1）。また、落下した熔融炉心とコリウ

ムシールド間の接触面温度は侵食開始温度未満であることから、コリウムシールドの侵食は発生しない。なお、解析上はコリウムシールドの厚さを考慮し、コリウムシールド裏面にはコンクリートが配置されたモデルとして評価を実施しているが、コンクリート－コリウムシールド間の伝熱において接触熱抵抗は考慮していない。

以上のとおり、MAAPコードにおいてコリウムシールドを適切に模擬している。

(2) 溶融炉心－コリウムシールド間の伝熱

溶融炉心－コリウムシールド間の伝熱は、以下の溶融炉心－コンクリート間の伝熱と同様のモデルを用いている。溶融プールからクラスト、クラストから構造材への伝熱は、壁面及び床の材質に依存しないモデルとなっているため、コリウムシールドにも適用可能である。

$$\text{床方向の熱流束 } q_d = h_d (T_f - T_{F,m}) + q_v \cdot X_{cd}$$

$$h_d = h_{d0}(1 - f_s)^n$$

$$\text{壁方向の熱流束 } q_s = h_s (T_f - T_{F,m}) + q_v \cdot X_{cs}$$

$$h_s = h_{s0}(1 - f_s)^n$$

ここで、

q_d, q_s : 床方向及び側面方向の熱流束 [W/m²]

h_d, h_s : 溶融プールからクラスト層への対流熱伝達係数 [W/m²-K]

h_{d0}, h_{s0} : 溶融プールが完全な液相の場合の対流熱伝達係数 [W/m²-K]

f_s : 固化割合 [－]

n : 固化効果項の指数 [－]

T_f : 溶融プールの温度 [K]

$T_{F,m}$: デブリ融点 [K]

q_v : 体積発熱率 [W/m³]

X_{cd} , X_{cs} : 床面及び壁面のクラスト厚さ [m]

2. 解析コードにおける不確かさの影響

(1) 不確かさの整理

解析コードにおける，コリウムシールドを考慮したMCCI過程毎の不確かさ要因を整理する。先行BWRプラント安全審査資料「重大事故等対策の有効性評価に係るシビアアクシデント解析コードについて」において，MCCIは以下の過程で段階的に推移することが示されているが，コリウムシールドを考慮してもこの過程に変わりはない。

- ・原子炉圧力容器下部ヘッド破損過程
- ・溶融物の落下・堆積過程
- ・MCCI進行と注水によるデブリ冷却過程

ただし，「MCCI進行と注水によるデブリ冷却過程」においては，MCCI現象の影響因子として溶融炉心からのコリウムシールドを介したコンクリートへの伝熱を考慮する必要がある。ここで，MCCI伝熱モデルでは一定の物性値を設定することから，コリウムシールドを介した伝熱の感度解析パラメータとして，コリウムシールドの伝熱物性値の温度依存性が想定される。第2図にMCCIにおける不確かさに関する流れ図を示す。

MCCI現象の影響因子より抽出された感度解析パラメータに対して，感度解析の要否を整理する。MCCI評価の不確かさに関する評価結果を第1表に示す。

エントレインメント係数について，感度解析より溶融炉心の細粒化割合

がコンクリート侵食に与える感度は小さいことを確認している。また、このことは、エントレインメント係数の不確かさにより溶融炉心の細粒化割合が変化した場合でも溶融炉心の温度に対する感度は小さいことを示しており、コリウムシールド侵食に与える感度についても同様に小さいと考えられることから、評価項目となるパラメータに与える影響は小さく、コリウムシールドを考慮した感度解析は不要である。

溶融炉心の拡がりについて、溶融炉心の拡がりが抑制されると想定した場合は、種々の不均一な堆積形状を考慮しても、拡がりが抑制されないペDESTAL（ドライウェル部）への均一堆積形状の方が溶融炉心と水の伝熱面積が大きくなり、溶融炉心が冷却される傾向となる。拡がりが抑制されない均一堆積形状の場合、溶融炉心落下時点における溶融炉心とコリウムシールドの接触面温度はコリウムシールドの侵食開始温度を下回っており、また、溶融炉心への注水によって溶融炉心は継続的に冷却されることから、溶融炉心の拡がりが抑制されると想定した場合においても、コリウムシールド及びコンクリートの侵食への影響はなく、評価項目となるパラメータに与える影響はないことから、コリウムシールドを考慮した感度解析は不要である。

上面熱流束係数及び溶融プールークラスト間の熱伝達係数について、溶融炉心・コンクリート相互作用への影響を確認する観点で実施した、エントレインメント係数、上面熱流束及び溶融プールからクラストへの熱伝達係数をパラメータとした感度解析を踏まえ、MAAPコードによりコリウムシールド及びコンクリート侵食量について支配的な溶融炉心からプールへの熱流束対象に感度解析を行い、影響を確認する。【感度解析①】

コリウムシールドの伝熱物性値の温度依存性について、MAAPコードにおけるMCCI伝熱モデルでは、一定の物性値を設定することから、不

確かさが想定される。このため、感度解析により伝熱物性値（熱伝導率，比熱）の温度依存性の影響を確認する。【感度解析②】

(2) 感度解析

a. 溶融炉心上面熱流束の感度解析【感度解析①】

(a) 解析条件

解析条件を第2表に示す。溶融炉心から水プールへの熱流束については、上面熱流束の不確かさを考慮した 800kW/m^2 （一定）とする。また、評価対象シーケンスは、事象進展が早く、崩壊熱が大きくなり、侵食に対して厳しくする観点で「大破断LOCA時に損傷炉心冷却に失敗し、原子炉圧力容器が破損するシーケンス」を対象とする。

(b) 解析結果

評価結果を第3表に示す。ペDESTALのプール水中に落下した溶融炉心とコリウムシールドの接触面温度は $2,100^\circ\text{C}$ 未満であり、コリウムシールドを設置することにより、溶融炉心・コンクリート相互作用によるコンクリートの侵食が生じない。このため、原子炉圧力容器の支持機能を維持できる。

b. 伝熱物性値温度依存性の感度解析【感度解析②】

(a) 解析条件

解析条件を第4表に示す。MAAP解析に基づくコリウムシールドー溶融炉心接触面温度，ペDESTAL雰囲気温度等を境界条件として，伝熱物性値の温度依存性の取扱いが可能な汎用有限解析コードABAQUSを用いた熱伝導解析により評価する。また，コリウムシールドの伝熱物性は既往の共同研究において確認された値を設定する。なお，MAAP

解析に基づく境界条件は、R P Vが破損し溶融炉心がペDESTALへ落下する事故シーケンスの解析結果を包絡する保守的な温度条件を適用する。

(b)解析結果

解析結果を第5表及び第3図に示す。解析結果が最も厳しいペDESTAL側壁部の温度は約900℃であり、コンクリートの侵食開始温度である約1,230℃を下回る。このため、コリウムシールドを介した伝熱の不確かさが、評価項目となるパラメータに与える影響は小さい。

3. 解析条件における不確かさの影響

MAAPコードにおけるMCCI評価では、コリウムシールドを考慮した機器条件として、以下の条件を設定している。これらは全て最確条件と同様の設定であることから、不確かさの影響はない。MAAPコード解析条件を第6表に示す。

- ・コリウムシールド耐熱材の種類
- ・コリウムシールド耐熱材の侵食開始温度
- ・ペDESTAL（ドライウェル部）床面積

なお、コリウムシールド耐熱材の侵食開始温度に関して、溶融炉心中の酸化鉄成分との共晶反応も含めて評価すると、コリウムシールドには3.3cm程度の侵食が生じるものの、コリウムシールド厚さに余裕があり、また、コリウムシールド背面のコンクリートは侵食開始温度に達しない。このため、コリウムシールドが金属酸化物との共晶反応により侵食される可能性を考慮しても評価項目となるパラメータに与える影響は小さい（別添2）。

4. まとめ

MAAPコードではコリウムシールドを適切に模擬しており、熔融炉心ーコリウムシールド間の伝熱モデルはコリウムシールドに適用可能である。

コリウムシールドを考慮した解析コードの不確かさを踏まえた感度解析により、原子炉压力容器の支持機能を維持でき、不確かさの影響は小さいことを確認した。


コリウムシールドを考慮した解析条件は最確条件と同様であり、不確かさはない。また、コリウムシールドが金属酸化物との共晶反応により侵食される可能性を考慮しても、コリウムシールド外表面と接するコンクリートは侵食されない。

第1表 コリウムシールドを考慮した場合のMCCI評価の不確かさに関する整理結果

MCCI現象への影響因子	不確かさ要因	有効性評価の取扱い	解析コード安全審査資料*における感度解析の要否	東海第二発電所におけるコリウムシールドを考慮した取扱い
下部ヘッド破損モード	破損部位 破損口侵食拡大	下部ヘッド貫通部の中で最も大口径の制御棒駆動機構ハウジングの瞬時破損を想定し、破損口径の拡大を考慮	下部ヘッド貫通部の中で最も大口径の貫通部の破損を想定し、破損口径の拡大も考慮しているため、感度解析不要	同左
溶融炉心落下量	原子炉圧力容器内 溶融進展	全炉心相当を想定	全炉心相当の最も厳しい落下量を想定しているため、感度解析不要	同左
溶融炉心の粒子化	プール水深	ベDESTALの注水開始条件及び注水流量について、手順書規定に準じた操作を想定	解析モデルパラメータではないため、感度解析不要	同左
	エントレインメント 係数	実験解析を元に、粒子化割合を少ない側に評価する値を使用	エントレインメント係数に不確かさがあるため、MAAPコードの不確かさ範囲内(FARO実験解析に基づく)で感度解析を実施	左記の感度解析により、溶融炉心の細粒化割合がコンクリート侵食に与える感度が小さいことを確認しており、溶融炉心の細粒化割合が溶融炉心温度に対する感度は小さいと考えられることから感度解析不要
	溶融炉心ジェット径	破損口径に対応した径を考慮	最も大きい径を想定して、粒子化割合を小さくし、水に落下した際のデブリクエンチ量を小さくして厳しい側の扱いをしているため、感度解析不要	同左
溶融炉心の拡がり	水による拡がり抑制	拡がりの知見から、全面に拡がることを想定し、均一堆積モデルを使用	溶融炉心の拡がりを抑制した場合を想定し、水張深さ等の個別プラントの状況を踏まえた感度解析等の取扱いを行うことが必要	溶融炉心の拡がりが抑制される場合は、溶融炉心と水の伝熱面積が大きくなり、溶融炉心が冷却される傾向となる。拡がりが抑制されない場合、溶融炉心落下時点における溶融炉心とコリウムシールド接触面温度はコリウムシールドの侵食開始温度を下回っており、また、注水により溶融炉心は継続的に冷却されることから、侵食への影響はなく、感度解析不要
デブリから水への熱伝達	デブリ上面の性状	粒子状ベッドの熱流束として、現実的な範囲内で保守側の想定をして、大気圧状態で800kW/m ² として圧力依存性を考慮	粒径やポロシティの不確かさを考慮して、下限の熱流束に対して感度解析を実施	【感度解析①】(コンクリートの種類と同じ) 溶融炉心・コンクリート相互作用への影響の観点で、エントレインメント係数、上面熱流束及び溶融プールからクラストへの熱伝達係数をパラメータとした感度解析を踏まえ、コリウムシールド及びコンクリート侵食量について支配的な溶融炉心からプール水への熱流束についての感度解析を実施
コリウムシールドを介した熱伝達	伝熱物性値の温度依存性	コリウムシールド侵食開始温度における物性値を考慮	—	【感度解析②】 コリウムシールドの伝熱物性値には温度依存性を踏まえ、コリウムシールド及びコンクリート侵食量への影響があることを確認する観点で、温度依存性を考慮できる評価モデルにより感度解析を実施
コンクリート種類 (玄武岩系コンクリートの侵食の異方性)	壁方向と床方向の熱分配	溶融プールが完全な液相の場合の対流熱伝達係数として、床方向クラストへは[]壁方向クラストへは[]を使用	床方向と壁方向の侵食の異方性の影響を見るため、CCI-3実験で確認された熱分配比率を想定した感度解析を実施	【感度解析①】(デブリから水への熱伝達と同じ) 溶融炉心・コンクリート相互作用への影響の観点で、エントレインメント係数、上面熱流束及び溶融プールからクラストへの熱伝達係数をパラメータとした感度解析を踏まえ、コリウムシールド及びコンクリート侵食量について支配的な溶融炉心からプール水への熱流束についての感度解析を実施

*: 先行BWRプラント安全審査資料「重大事故等対策の有効性評価に係るシビアアクシデント解析コードについて」

第2表 解析条件（溶融炉心上面熱流束の感度解析）

項目	ベースケース	感度ケース
対象シーケンス	過渡事象時に損傷炉心冷却に失敗し、原子炉圧力容器が破損するシーケンス	大破断LOCA時に損傷炉心冷却に失敗し、原子炉圧力容器が破損するシーケンス
溶融炉心から水プールへの限界熱流束	800kW/m ² (圧力依存性あり)	800kW/m ² (一定 ^{※1})
ペDESTAL初期水位	1m	
ペDESTAL注水	RPV破損7分後から80m ³ /h	
コリウムシールド厚さ		
コリウムシールド侵食開始温度	2,100°C ^{※2}	
RPV破損時の溶融炉心温度	MAAP解析結果に基づく	

※1 侵食の不均一性等の影響を考慮して設定

※2 ZrO₂耐熱材の100mol%Zrによる侵食試験結果に基づき設定（別添1）

第3表 解析結果（溶融炉心上面熱流束の感度解析）

項目	ベースケース	感度ケース
コリウムシールド侵食量 (側面)	0cm	0cm
コリウムシールド侵食量 (床面)	0cm	0cm

第4表 解析条件（伝熱物性値温度依存性の感度解析）

項目	設定	備考
解析コード	汎用有限解析コードABAQUS	
温度境界条件	過渡事象及び大破断LOCAシナリオ※のMAAP解析結果を包絡する条件	添付資料3.5.2 別紙1 第3図から第6図
コリウムシールド伝熱物性値	既往の共同研究において確認された値	添付資料3.5.2 別紙1 表4表

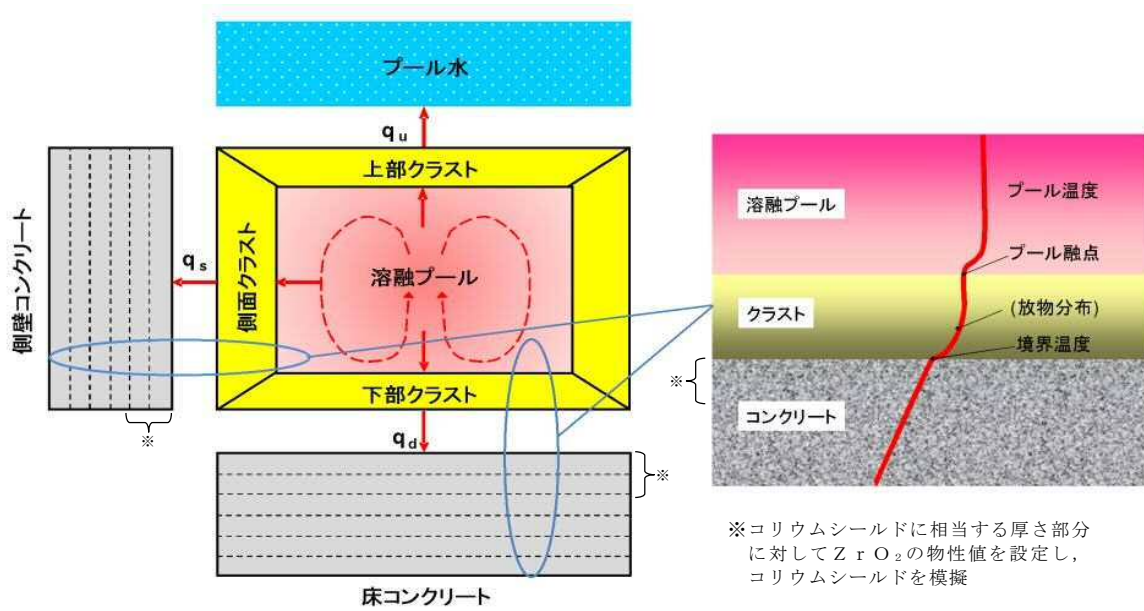
※：大破断LOCAシナリオとして溶融炉心から水プールへの限界熱流束 $800\text{kW}/\text{m}^2$ （圧力依存性あり）及び $800\text{kW}/\text{m}^2$ （一定）の2ケースを考慮

第5表 解析結果（伝熱物性値温度依存性の感度解析）

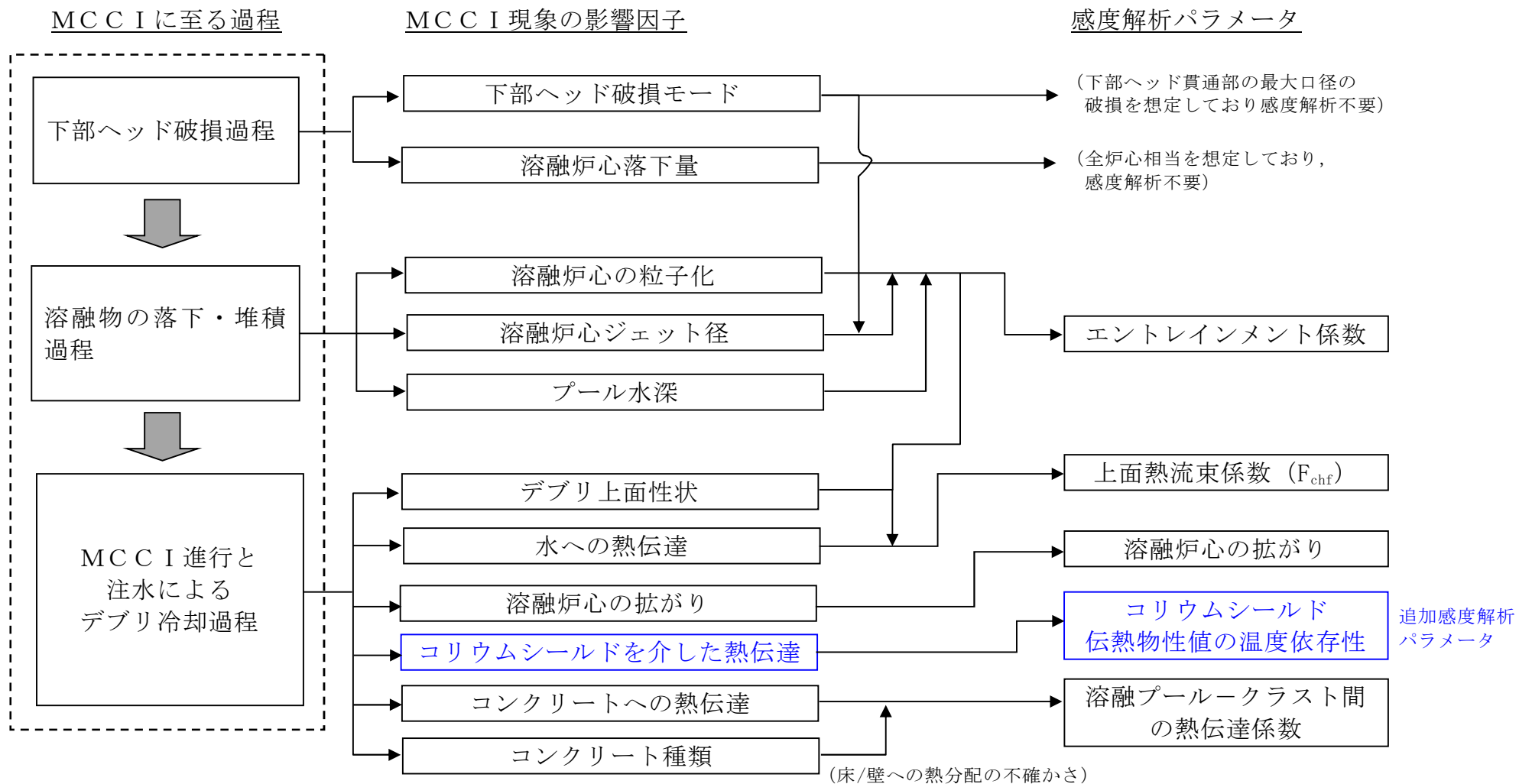
項目	解析結果	備考
ペDESTAL側壁温度	約 900°C	コンクリート侵食開始温度 約 $1,230^{\circ}\text{C}$

第6表 MAAPコード解析条件

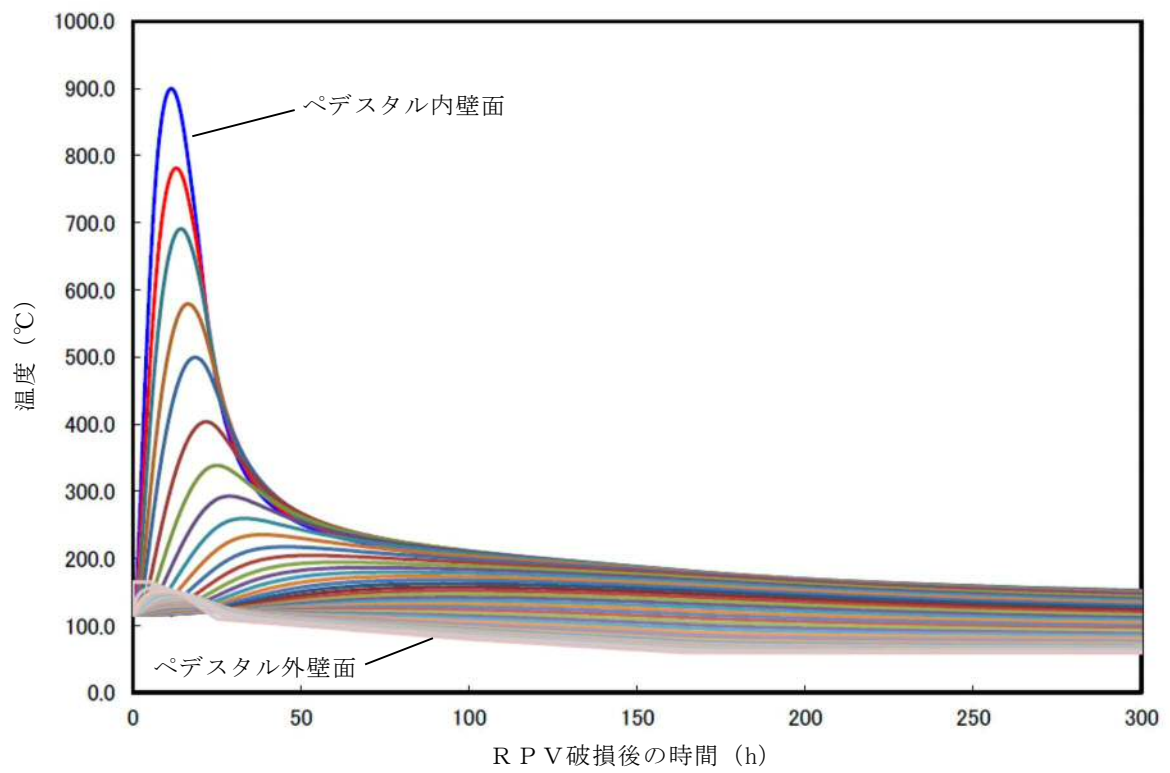
項目	解析条件	最確条件	
機器条件	コリウムシールド耐熱材の種類	ジルコニア耐火材	ジルコニア耐火材
	コリウムシールド耐熱材の侵食開始温度	$2,100^{\circ}\text{C}$	$2,100^{\circ}\text{C}$
	ペDESTAL（ドライウェル部）床面積	コリウムシールドを考慮	コリウムシールドを考慮



第1図 MAAPコードにおけるMCCI伝熱モデル



第2図 コリウムシールドを考慮した場合のMCCIにおける不確かさに関する流れ図



第3図 ペデスタル側壁の温度変化

ZrO₂耐熱材の侵食開始温度の設定について

ZrO₂耐熱材の侵食量評価においては、耐熱材の侵食開始温度として2,100°Cを設定している。その設定の考え方を以下に示す。

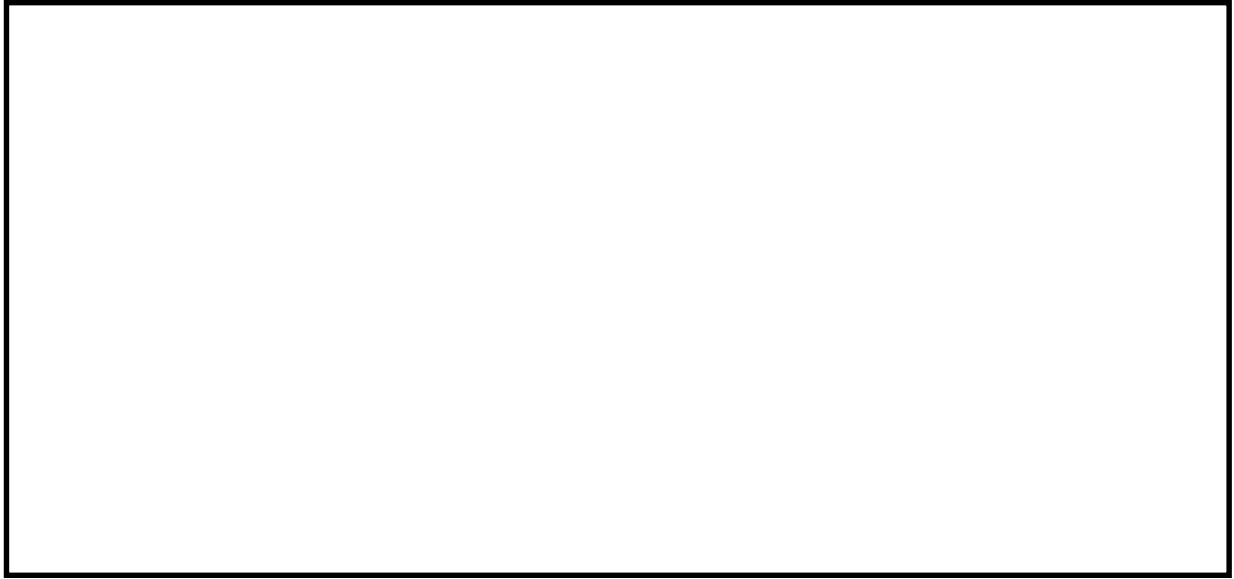
ZrO₂単体での融点は約2,700°Cであるが、溶融炉心に含まれるZr等の金属との化学反応により、ZrO₂耐熱材の侵食開始温度は2,700°Cより低下する。

これに対して、化学反応による耐熱材の侵食影響を確認するため、ZrO₂試験片の各種溶融金属への浸透試験が実施されており、溶融金属中のZrの割合が大きいほど耐熱材の侵食量が大きくなる傾向が確認されている。

第1図*に、極めて耐熱材の侵食が大きくなる100mol%Zrの条件で実施された侵食試験後のZrO₂耐熱材試験片の断面写真を示す。試験結果より、2,150°C以上の条件では数分で耐熱材試験片が大きく侵食されているのに対し、2,100°Cでは30分保持した場合でもほとんど侵食されていない。

なお、本試験は100mol%Zrという極めて厳しい条件で実施されているが、実機における溶融炉心では、UO₂、SUS及び金属-水反応で生成されたZrO₂等が含まれるため、100mol%Zrという条件は考え難く、ZrO₂耐熱材は試験条件より侵食されにくくなると考えられる。

以上より、ZrO₂耐熱材の侵食量評価においては、極めて厳しい試験条件でも侵食量がわずかであった2,100°Cを侵食開始温度として設定した。



第 1 図 試験後の断面写真

※本図は、中部電力(株)、東北電力(株)、東京電力ホールディングス(株)、北陸電力(株)、中国電力(株)、日本原子力発電(株)、電源開発(株)、(一財)エネルギー総合工学研究所、(株)東芝、日立 GE ニュークリア・エナジー(株)が実施した共同研究の成果の一部である。

既往実験の知見を考慮したコリウムシールドの侵食量評価について

MAAPコードによる侵食量評価では、熔融炉心中のZrによるZrO₂耐熱材の還元反応を考慮し、耐熱材侵食試験結果に基づき侵食開始温度を保守的に2,100°Cと設定した上で、熔融炉心によるコリウムシールドの侵食が生じないことを確認している。しかし、熔融炉心には少量ながらその他の金属酸化物も含まれており、これらに起因してZrO₂耐熱材の侵食が生じる不確かさも考えられるため、関連する既往実験の知見を参照し、コリウムシールドの有効性について検討する。

1. CIT実験について

模擬熔融炉心によるZrO₂耐熱材の侵食挙動に係る実験として、欧州委員会のプロジェクトとして実施されたCIT実験^{[1][2]}がある。

CIT実験では、第1図に示すような試験装置によって、模擬熔融炉心とZrO₂耐熱材を最長10時間程度接触させ、模擬熔融炉心の表面温度（ZrO₂耐熱材との界面温度）と侵食深さの推移が測定された。そのうち、CIT-9及びCIT-11では実機の条件に近い組成のZrO₂耐熱材が用いられている。

CIT-9における入力エネルギー及び模擬熔融炉心表面温度とZrO₂耐熱材の侵食深さの推移を第2図及び第3図に示す。耐熱材の最終的な侵食深さは22.5mm、最大の侵食速度は0.18mm/minと報告されている。実験において、模擬熔融炉心は誘導加熱により2,080°Cから2,474°Cまで段階的に昇温されたが、出力を一定に維持し模擬熔融炉心の昇温を停止すると、耐熱材の侵食は一定の深さまで進んだ後に停止する挙動が確認されている。

また、CIT-11における模擬熔融炉心表面温度とZrO₂耐熱材の侵食深さ

の推移を第4図に示す。最終的な侵食深さは39.5mm, 最大の侵食速度は0.28mm/minと報告されており, CIT-9と同様に出力を一定に維持すると侵食が停止する挙動が確認されている。

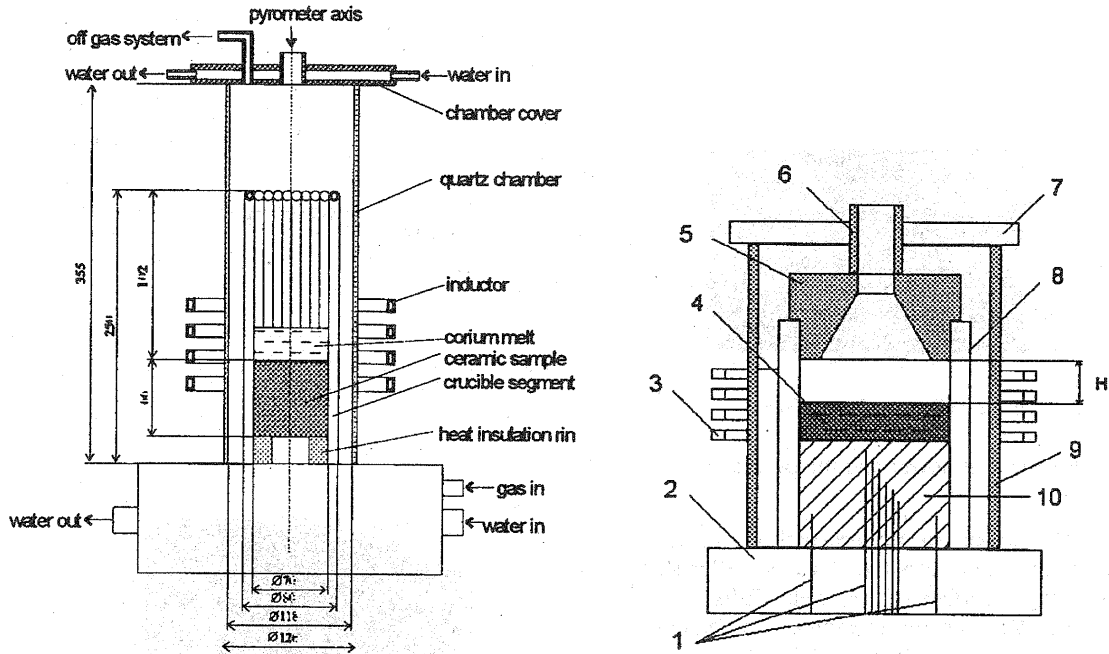
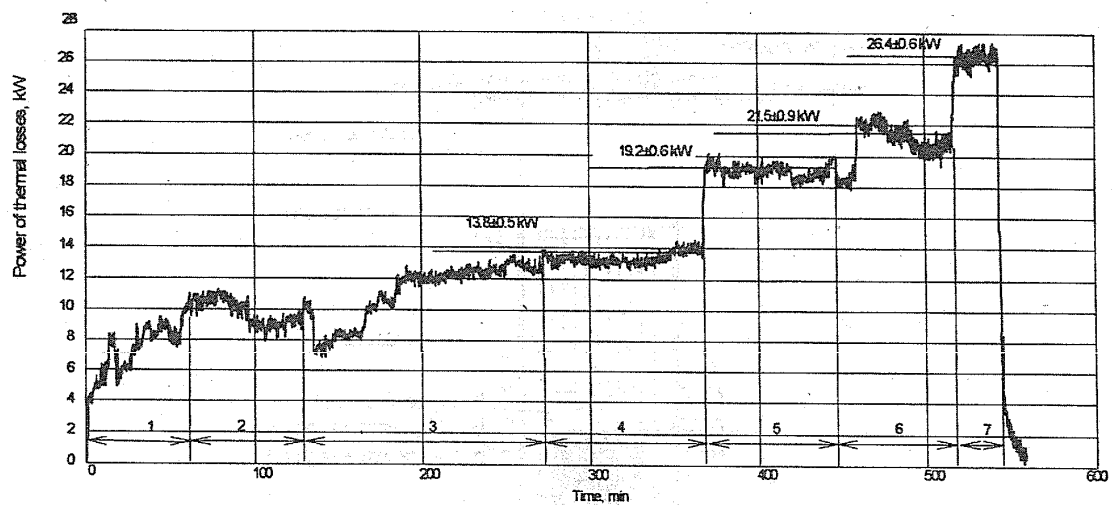
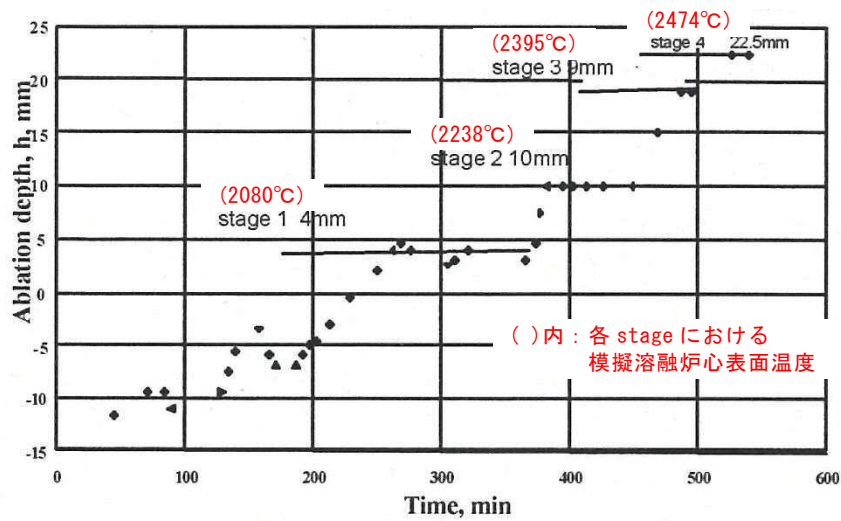


Figure 7.4 Test device and details of the interaction zone. 1 – thermocouples; 2 – water collector of the crucible; 3 – inductor; 4 – corium melt; 5 – ceramic shield; 6 – ceramic shaft of pyrometer; 7 – steel water-cooled lid of the furnace; 8 – crucible sections and cooling system; 9 – quartz shell; 10 – bottom ceramic specimen. H – distance between the ceramic shield and corium melt surface.

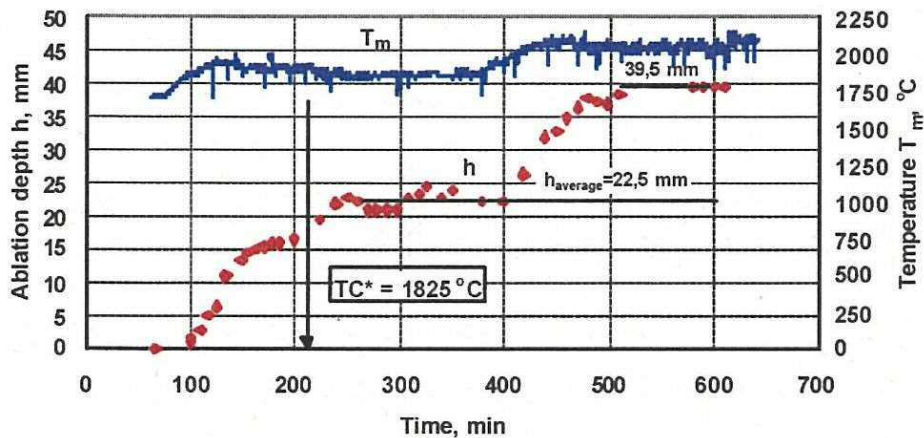
第1図 CIT実験装置



第2図 CIT-9における入力エネルギー



第 3 図 CIT-9 における模擬熔融炉心表面温度と耐熱材侵食深さの推移



第 4 図 CIT-11 における模擬熔融炉心表面温度と耐熱材侵食深さの推移

2. 実験条件と実機条件の比較

CIT-9 及び CIT-11 実験にて用いられた ZrO_2 耐熱材の組成を第 1 表に示す。主成分である ZrO_2 の純度は 94.7wt% であり、東海第二発電所においてコリウムシールドとして用いる ZrO_2 耐熱材と同等であることから、耐熱材の特性は実験条件と実機条件で大きな差はないと考えられる。

次に、CIT-9 及び CIT-11 実験における模擬熔融炉心の組成を第 2 表に示す。実験で用いられた模擬熔融炉心は、酸化鉄 (FeO や Fe_3O_4) の割合が大

きく、CIT実験においては、これらの酸化鉄と ZrO_2 の共晶反応により、 ZrO_2 耐熱材が溶融、侵食されたものと考えられる。

一方、実機での溶融炉心中に含まれる酸化鉄の割合は3%程度^{*1}と想定され、溶融炉心に混入し得るペDESTAL内構造物 $4m^3$ を全量酸化鉄^{*2}として加えた場合でも酸化鉄割合は約13%となることから、CIT実験の条件は、ともに実機条件に比べて共晶反応による耐熱材侵食が生じやすい条件と考えられる。

※1：原子炉圧力容器破損時点での溶融炉心中の酸化鉄割合

(MAAP解析結果より)

※2：ペDESTAL内構造物は主にSUS材であり鉄以外の物質も含まれる。また、含有する鉄が全て酸化することは考え難いが、ここでは保守的に全量を酸化鉄として計算

第1表 CIT-9及びCIT-11実験における ZrO_2 耐熱材組成

成分	割合 wt%
SiO ₂	1.4
CaO	0.2
MgO	2.5
Fe ₂ O ₃	0.2
Al ₂ O ₃	0.8
TiO ₂	0.2
ZrO ₂	94.7

第2表 CIT-9及びCIT-11実験における模擬溶融炉心組成

	CIT-9	CIT-11
組成 wt%	49.1 UO ₂ 20.4 ZrO ₂ 30.5 FeO	19.0 ZrO ₂ 81.0 Fe ₃ O ₄ (共晶組成)

3. 実機における ZrO_2 耐熱材と金属酸化物との共晶反応による侵食

CIT-9 及び CIT-11 実験は、ともに実機の酸化鉄の割合を大きく上回っているが、ここでは実機の酸化鉄の割合により近い CIT-9 実験に基づき ZrO_2 耐熱材の共晶反応による侵食量について考察する。

実機の MAA P 解析結果によれば、熔融炉心とコリウムシールドの接触面の最高温度は約 $2,000^{\circ}C$ となっている。CIT-9 実験では、これを上回る $2,080^{\circ}C$ において約 $4mm$ の侵食が見られているが、その侵食量は時間とともに増加する傾向にはない結果となっている。ただし、この挙動は実験容器が外部から冷却されていたことに起因することが示唆されており、外部冷却がない場合には侵食が継続的に生じる可能性がある。

仮に実機において共晶反応による侵食が継続的に生じる可能性を考慮し、RPV 破損時点から熔融炉心とコリウムシールドの接触面温度が $1,800^{\circ}C^{*3}$ を下回るまでの約 3 時間、CIT-9 実験で確認された最大侵食速度である $0.18mm/min$ で侵食が進んだと仮定した場合でも、侵食量は約 $33mm$ となる。

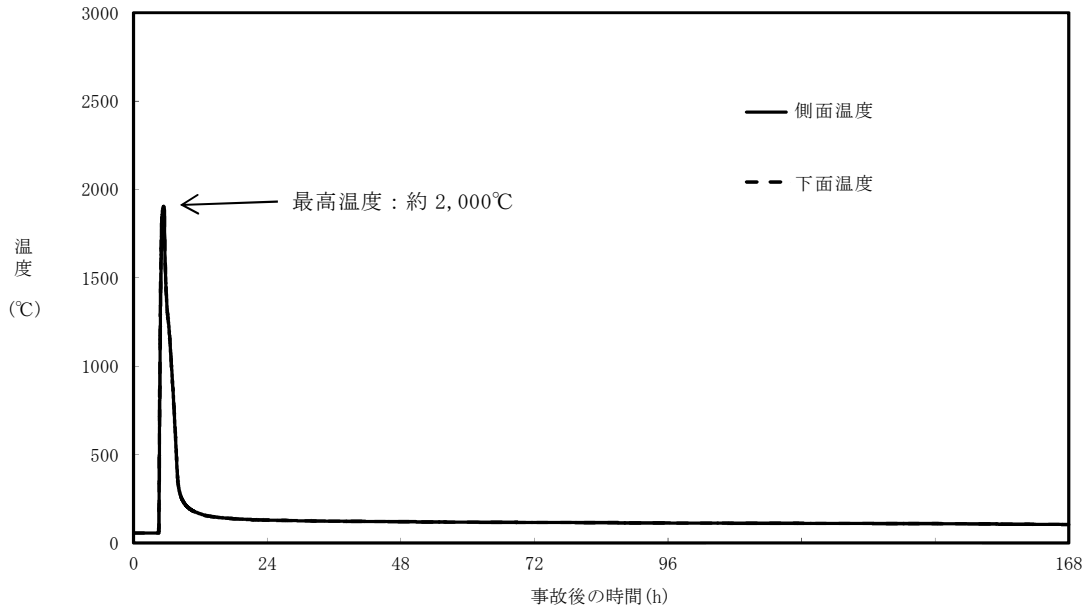
※3：酸化鉄との共晶反応による侵食がより生じやすい条件と考えられる CIT-11 実験にて、 ZrO_2 耐熱材の侵食が開始している温度
(第 4 図より)

したがって、万一熔融炉心中の酸化鉄が局所的に存在し耐熱材が侵食されたとしても、侵食量はコリウムシールド厚さ を十分下回る。また、コリウムシールドが約 $33mm$ 侵食された状態を仮定した場合の、コリウムシールド外表面と接するペDESTALコンクリート温度を、以下の条件により概算した。

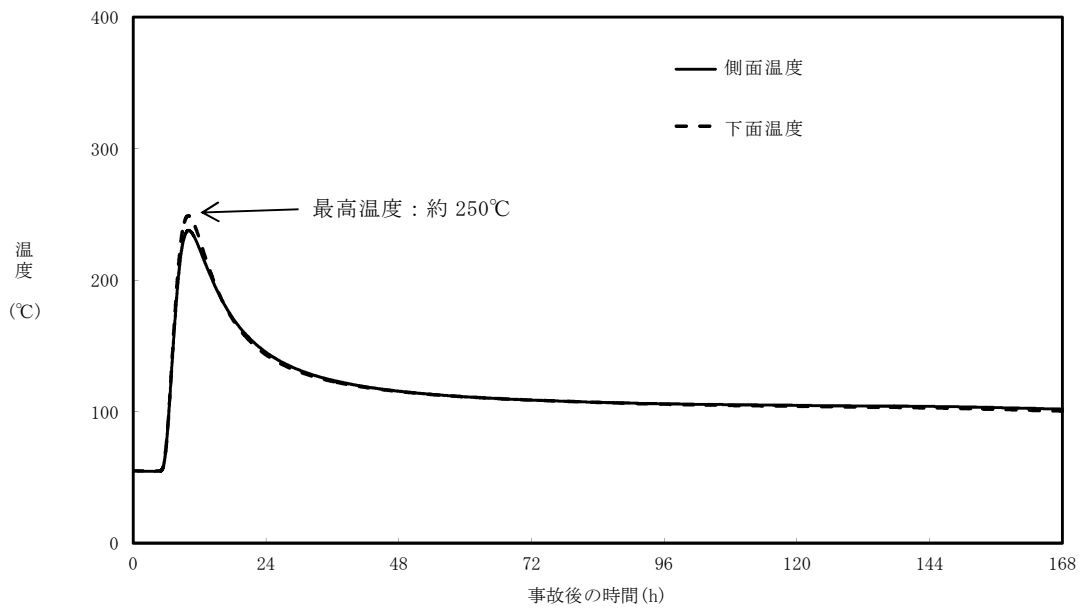
- ・ MAA P 解析結果を包絡する条件として、コリウムシールド内表面温度を $2,000^{\circ}C$ (第 5 図)、侵食がない状態 (厚さ) のコリウムシールド外表面温度を $250^{\circ}C$ (第 6 図) と設定
- ・ コリウムシールド内の温度は、保守的に直線状の温度勾配を仮定 (第 7

図)

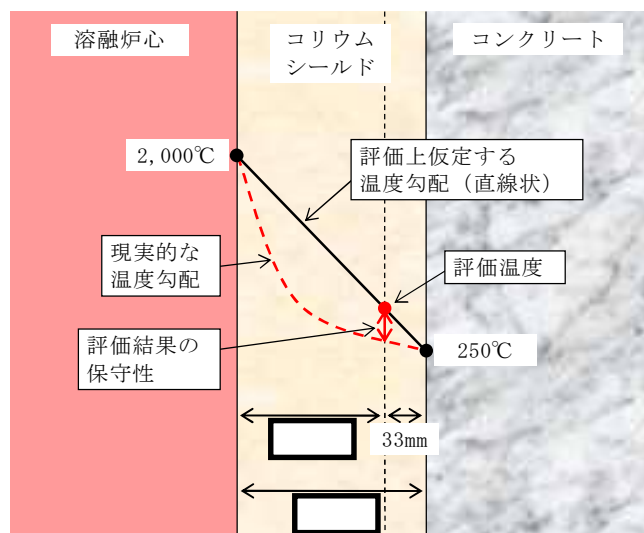
計算の結果，コリウムシールド外側のペDESTALコンクリート温度は約635℃であり，コンクリートの侵食温度である約1,230℃を下回る。



第 5 図 コリウムシールド内表面温度（コリウムシールドが侵食しない場合）



第 6 図 コリウムシールド外表面温度（コリウムシールドが侵食しない場合）



第7図 コリウムシールド内の温度勾配の仮定

4. まとめ

溶融炉心には、少量ながら UO_2 、 ZrO_2 及び Zr 以外の金属酸化物も含まれるが、 ZrO_2 耐熱材が金属酸化物との共晶反応により侵食される可能性を考慮しても、その侵食量は限定的であり、コリウムシールド外表面と接するペDESTALコンクリートの侵食は生じないものと考えられる。

よって、コリウムシールドの設置は溶融炉心・コンクリート相互作用によるペDESTAL側壁及び床面への影響を抑制する対策として有効であると考えられる。

参考文献

- [1] D. Lopukh et al., “New Experimental Results On The Interaction Of Molten Corium With Core Catcher Material” , ICONE-8179, (2000).
- [2] J.M. Seiler, K. Froment, “Material Effects On Multiphase Phenomena In Late Phases Of Severe Accidents Of Nuclear Reactors” , Multiphase Science and technology, Vol.12, No.2, pp.117-257, (2000).

溶融炉心による熱影響評価について

1. 評価目的

東海第二発電所におけるペDESTAL構造の特徴を踏まえた対策として、溶融炉心・コンクリート相互作用（以下「MCCI」という。）によるペDESTAL（ドライウェル部）（以下「ペDESTAL」という。）への影響抑制のためのコリウムシールドを設置するとともに、原子炉圧力容器（以下「RPV」という。）から落下した溶融炉心（以下「デブリ」という。）の冠水及び水蒸気爆発による影響抑制の観点からRPV破損時のペDESTAL内水位を1mに維持する対策、さらに、床スラブ内の排水流路をスリット形状としてデブリを凝固させる対策を講じることとしている。

これら東海第二発電所の特徴を踏まえた対策を考慮した上で、RPV破損時にペDESTALへ落下したデブリからの熱影響によってペDESTALに要求されるRPV支持機能及びデブリ保持機能が損なわれないことを評価する。

2. 評価方針

RPV破損後にデブリからの伝熱によって高温となる鉄筋コンクリートの物性変化を考慮した上で、RPV支持機能及びデブリ保持機能の維持に必要な構造強度が保持されることを評価する。

3. 評価方法

(1) 荷重条件

構造強度の評価にあたり、RPV支持機能の評価ではRPV、遮へい壁等の自重（以下「RPV等の自重」という。）を考慮する。また、デブリ保持機能の評価では、デブリ、コリウムシールド、床スラブ躯体等の自重

(以下「デブリ等の自重」という。)を考慮する。

(2) 評価部位及び項目

a. 側壁 (R P V 支持機能)

R P V 等の自重により, 側壁コンクリートには圧縮軸力が作用し, 側壁基部コンクリートには面外方向のせん断力が作用する。

このため, 高温によるコンクリート圧縮強度の低下を考慮した等価壁厚を評価し, R P V 等の自重による圧縮軸力及び面外せん断に対して必要な壁厚と比較する。

b. 床スラブ (デブリ保持機能)

デブリ等の自重により, 床スラブのコンクリートには面外せん断力が作用し, 鉄筋には曲げ応力が作用する。

このため, 高温によるコンクリートの圧縮強度の低下を考慮した等価板厚を評価し, デブリ等の自重によるせん断力に対して必要な板厚と比較する。また, 高温による鉄筋の強度低下を考慮した等価鉄筋量を評価し, デブリ等の自重による曲げ応力に対して必要な鉄筋量と比較する。

(3) 温度条件

別添 1 にペDESTALの温度評価を示す。デブリからの伝熱によるペDESTALの側壁及び床スラブの温度は, M A A P コードによる解析結果に基づき, 汎用有限解析コード A B A Q U S による熱伝導解析にて評価する。

(4) 判断基準

炉心損傷防止に失敗し, 重大事故の発生を想定する防護レベルにおいて, 格納容器の健全性維持に必要な安全機能が維持されることを確認する観点

より、判断基準は終局限界状態に至らないこととする。具体的には、側壁コンクリートの必要壁厚、床スラブコンクリートの必要板厚、床スラブの必要鉄筋量の算定において、終局強度又は短期許容応力度を適用する。別添2にR P V支持に必要な側壁コンクリート厚さ評価を、別添3にデブリ保持に必要な床スラブコンクリート厚さ評価を、別添4にデブリ保持に必要な床スラブ鉄筋量評価を示す。

4. 評価結果

以下にR P V支持機能及びデブリ保持機能に対する評価結果を示す。評価結果はいずれも判断基準を満足し、デブリからの熱影響によってもペDESTALに要求される機能は損なわれることはない。

(1) 側壁（R P V支持機能）

a. コンクリートに対する圧縮軸力

別添5に熱影響を考慮した側壁コンクリートの構造評価を示す。側壁コンクリートの等価壁厚は約 1,229mm であり、R P V等の自重によってコンクリートに作用する圧縮軸力に対して必要な壁厚 133mm（別添2）を上回る。

b. 基部コンクリートに対する面外せん断力

別添5に示したとおり、側壁コンクリートの等価壁厚は約 1,276mm であり、R P V等の自重によって基部コンクリートに作用する面外せん断力に対して必要な壁厚 192mm（別添2）を上回る。

(2) 床スラブ（デブリ保持機能）

a. コンクリートに対する面外せん断力

別添6に熱影響を考慮した床スラブのコンクリート及び鉄筋の評価を

示す。床スラブコンクリートの等価板厚は約 629mm であり、デブリ等の自重によってコンクリートに作用する面外せん断力に対して必要な板厚 (別添 3) を上回る。

b. 鉄筋に対する曲げ応力

別添 6 に示したとおり、床スラブの鉄筋コンクリート部の幅 1m あたりの等価鉄筋量は であり、デブリ等の自重によって鉄筋に作用する曲げ応力に対して必要な鉄筋量 (別添 4) を上回る。

5. まとめ

東海第二発電所におけるペDESTAL構造の特徴を踏まえた対策による影響を考慮し、デブリからの熱影響に対するペDESTALの構造健全性を評価した。

その結果、高温による鉄筋コンクリートの物性変化を考慮しても、ペDESTALに要求される R P V 支持機能及びデブリ保持機能が損なわれないことを確認した。

デブリからの伝熱によるペDESTALの温度評価

1. 概要

MAAPコードによる解析結果に基づき、汎用有限解析コードABAQUSを用いた熱伝導解析により、デブリからの伝熱によるペDESTALの側壁及び床スラブの温度を評価する。

2. 汎用有限解析コードABAQUSによるペDESTAL熱伝導解析

(1) 評価モデル

第1図に熱伝導解析モデルを示す。デブリからの熱影響による側壁及び床スラブの温度は、2次元体系有限要素法解析により評価する。本評価では、解析体系を縦横のメッシュで区切り、以下に示す2次元体系での非定常熱伝導の支配方程式に基づき、各部の温度変化を計算している。

$$\rho c \frac{\partial T}{\partial t} = \frac{\partial}{\partial x} \left(k_x \frac{\partial T}{\partial x} \right) + \frac{\partial}{\partial y} \left(k_y \frac{\partial T}{\partial y} \right) + Q$$

ここで、 T ：温度， ρ ：密度， c ：比熱， k_x, k_y ：x方向及びy方向の熱伝導率， Q ：物体の内部発熱量である。

(2) 評価条件

第1表にABAQUSコードによる熱伝導解析の解析条件を示す。解析条件は、RPVが破損しデブリがペDESTALへ落下する事故シーケンスに対するMAAPコードの解析結果を参照^{*}し、これを包絡する条件を設定している。

※：参照するMAAP解析結果は、有効性評価上のベースケースを含む以下を考慮

- ・起回事象：過渡事象，デブリから水プールへの限界熱流束：800kW /m²（圧力依存性あり）（ベースケース）
- ・起回事象：LOCA，デブリから水プールへの限界熱流束：800kW /m²（圧力依存性あり）
- ・起回事象：LOCA，デブリから水プールへの限界熱流束：800kW /m²（一定）

(3) 評価結果

第7図にペDESTAL温度の評価点の位置を示す。また，第8図に横スリット部の温度変化を示す。横スリット部の最高温度は約798℃であり，スリット内で凝固したデブリは再溶融する温度に至らない。

また，第9図に側壁の温度変化を，第10図に床スラブ鉄筋コンクリート部の温度変化をそれぞれ示す。ペDESTAL側壁の最高温度は内表面で約900℃，床スラブ鉄筋コンクリート部の最高温度は上端部で約475℃となっている。

第1表 ABAQUSコードによる熱伝導解析条件

項目	条件	備考
デブリ密度 (kg/m ³)		MAAP計算結果 (RPV破損時の値) を包絡する値
デブリ熱伝導率 (W/mK)		
デブリ比熱 (J/kgK)		
デブリ溶融潜熱 (J/kg)		
デブリ内部発熱密度 (W/m ³)	(第2図)	MAAP計算結果 (保守的にスクラム後3時間からの崩壊熱を使用。希ガス・揮発性FPによる減衰(30%)を考慮)
SUS密度 (kg/m ³)	(第2表)	伝熱工学資料改訂第5版より
SUS熱伝導率 (W/mK)		
SUS比熱 (J/kgK)		
コンクリート密度 (kg/m ³)	2,345	鉄筋コンクリート構造計算規準・同解説(2010)より
コンクリート熱伝導率 (W/mK)	(第3表)	Eurocodeより
コンクリート比熱 (J/kgK)		
ジルコニア耐火材密度 (kg/m ³)	(第4表)	試験結果*に基づき設定
ジルコニア耐火材熱伝導率 (W/mK)		
ジルコニア耐火材比熱 (J/kgK)		
スリット内デブリ初期温度 (°C)		MAAP計算結果におけるRPV破損時のデブリ平均温度 <input type="text"/> に対し、保守的に液相線温度を設定
構造材初期温度 (°C)	117	MAAP解析結果におけるRPV破損時点でのペDESTAL構造部の最高温度
ペDESTAL雰囲気温度 (°C)	(第3図)	MAAP計算結果を包絡する温度変化を設定
ドライウェル雰囲気温度 (°C)	(第4図)	
サプレッション・チェンバ雰囲気温度 (°C)	(第5図)	
デブリ-ジルコニア耐火材接触面温度 (°C)	(第6図)	

※本試験は、中部電力(株)、東北電力(株)、東京電力ホールディングス(株)、北陸電力(株)、中国電力(株)、日本原子力発電(株)、電源開発(株)、(一財)エネルギー総合工学研究所、(株)東芝、日立GEニュークリア・エナジー(株)が実施した共同研究の成果の一部である。

第2表 SUS材物性値

温度 (K)	密度 (kg/m ³)	熱伝導率 (W/mK)	比熱 (J/kgK)
300	7,920	16.0	499
400	7,890	16.5	511
600	7,810	19.0	556
800	7,730	22.5	620
1,000	7,640	25.7	644

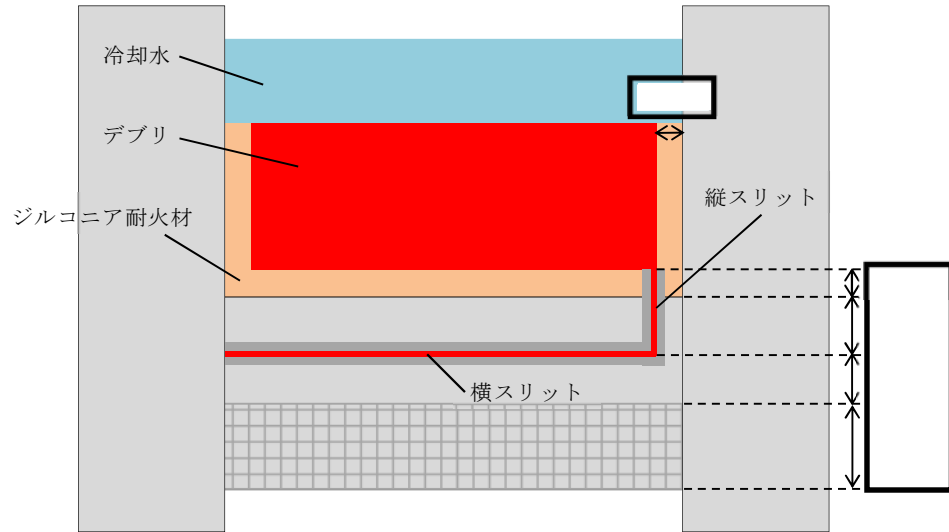
第3表 コンクリート物性値

温度 (°C)	熱伝導率 (W/mK)	比熱 (J/kgK)	温度 (°C)	熱伝導率 (W/mK)	比熱 (J/kgK)
20	1.951	901.1	650	0.859	1,111.7
50	1.880	917.3	675	0.833	1,114.4
75	1.822	930.2	700	0.809	1,116.8
100	1.766	942.8	725	0.785	1,118.7
125	1.710	954.9	750	0.764	1,120.3
150	1.656	966.7	775	0.743	1,121.3
175	1.604	977.9	800	0.724	1,122.0
200	1.553	988.8	825	0.706	1,122.2
225	1.503	999.2	850	0.690	1,122.1
250	1.454	1,009.3	875	0.675	1,121.4
275	1.407	1,018.8	900	0.661	1,120.4
300	1.361	1,028.0	925	0.648	1,118.9
325	1.316	1,036.7	950	0.637	1,117.1
350	1.273	1,045.1	975	0.627	1,114.7
375	1.231	1,052.9	1,000	0.619	1,112.0
400	1.191	1,060.4	1,025	0.612	1,108.8
425	1.152	1,067.4	1,050	0.606	1,105.3
450	1.114	1,074.1	1,075	0.602	1,101.2
475	1.077	1,080.2	1,100	0.599	1,096.8
500	1.042	1,086.0	1,125	0.597	1,091.9
525	1.008	1,091.3	1,150	0.596	1,086.7
550	0.976	1,096.3	1,175	0.597	1,080.9
575	0.944	1,100.7	1,200	0.600	1,074.8
600	0.915	1,104.8	1,225	0.600	1,068.2
625	0.886	1,108.4	1,250	0.600	1,061.3

第4表 ジルコニア耐火材の物性値

温度 (°C)	密度 (kg/m ³)	熱伝導率 (W/mK)	比熱 (J/kgK)
(Table content is blank)			

※本数値は、中部電力(株)、東北電力(株)、東京電力ホールディングス(株)、北陸電力(株)、中国電力(株)、日本原子力発電(株)、電源開発(株)、(一財)エネルギー総合工学研究所、(株)東芝、日立 GE ニュークリア・エナジー(株)が実施した共同研究の成果の一部である。

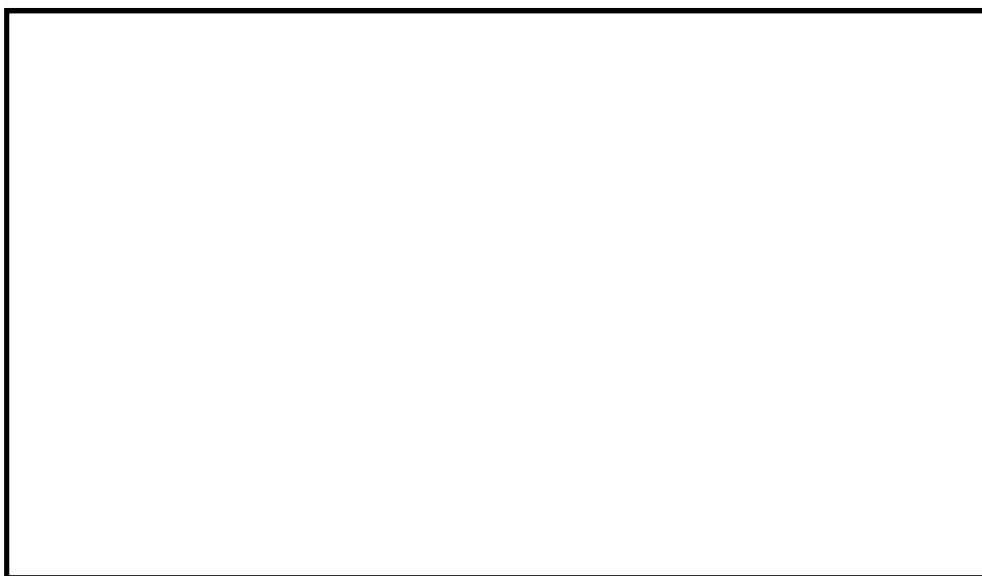


(a) 全体概要図

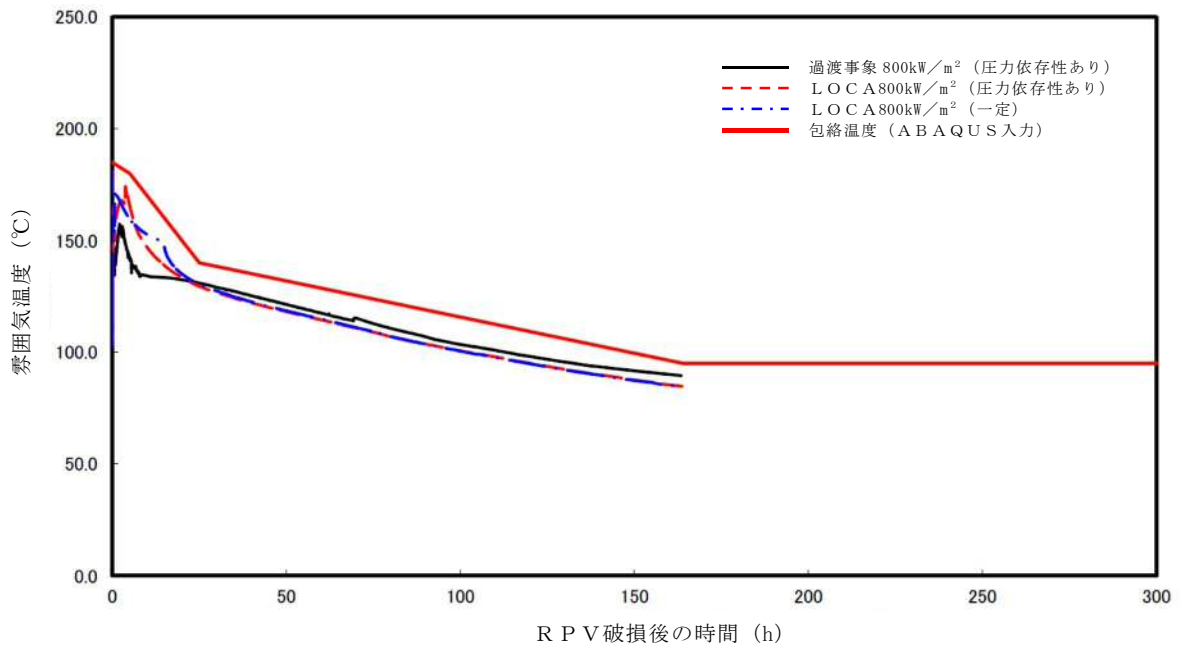


(b) スリット部拡大図

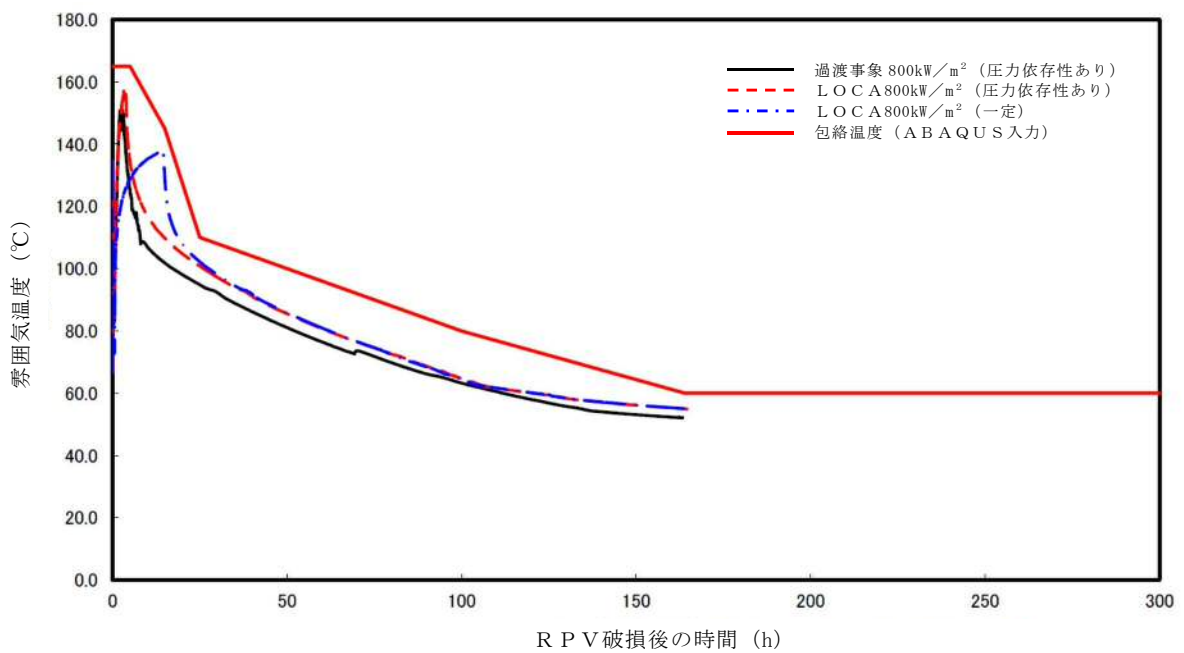
第 1 図 熱伝導解析モデル



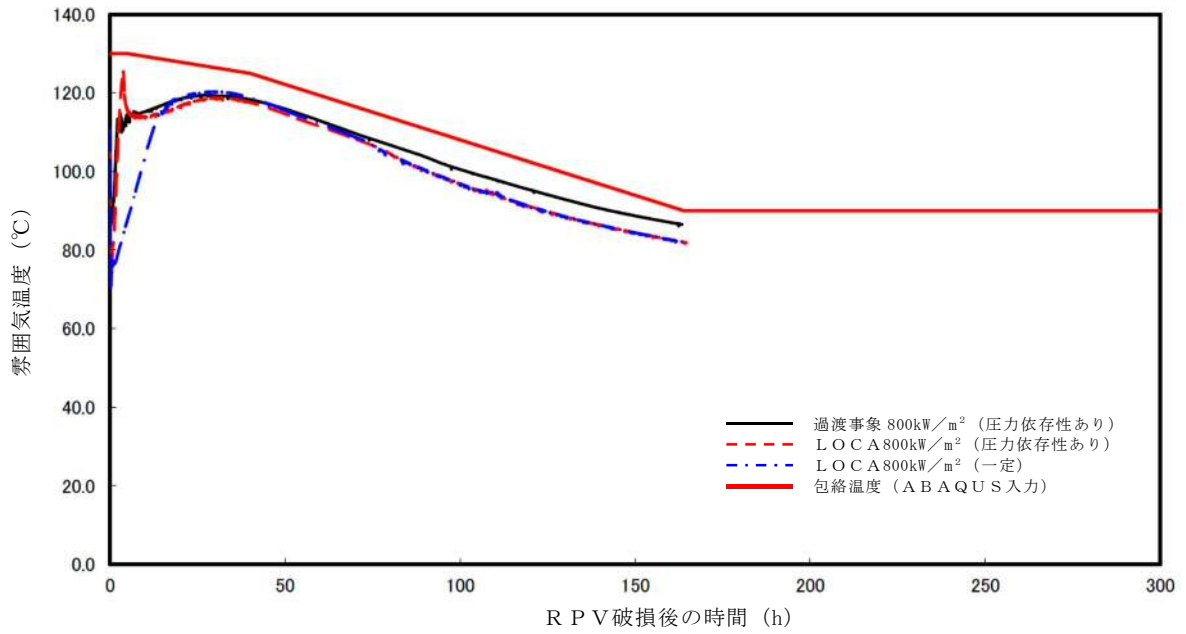
第 2 図 デブリ内部発熱密度条件



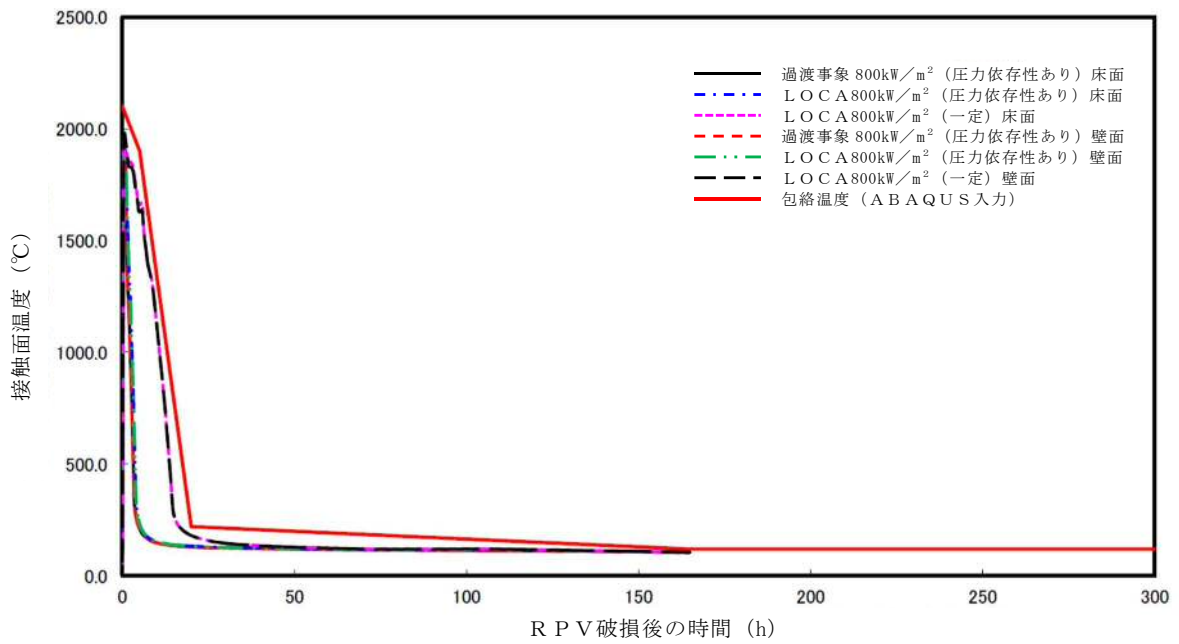
第3図 ペデスタル雰囲気温度条件



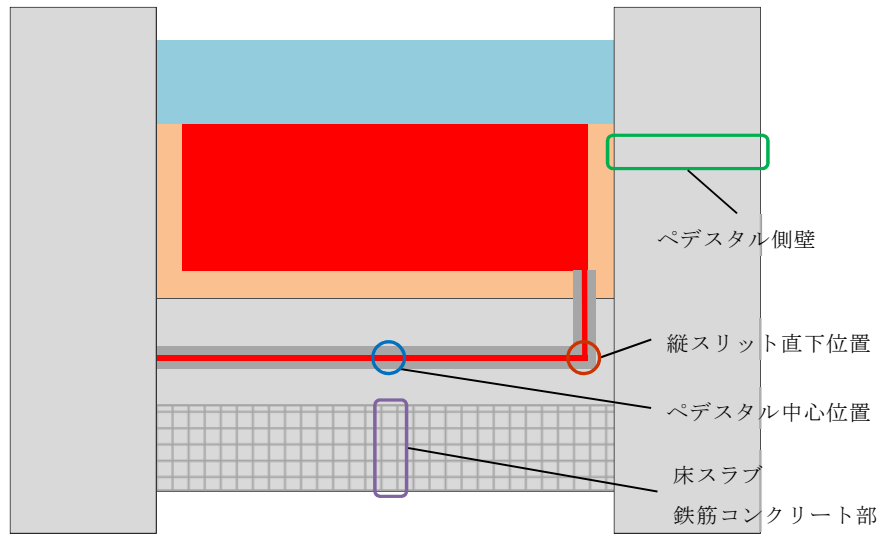
第4図 ドライウェル雰囲気温度条件



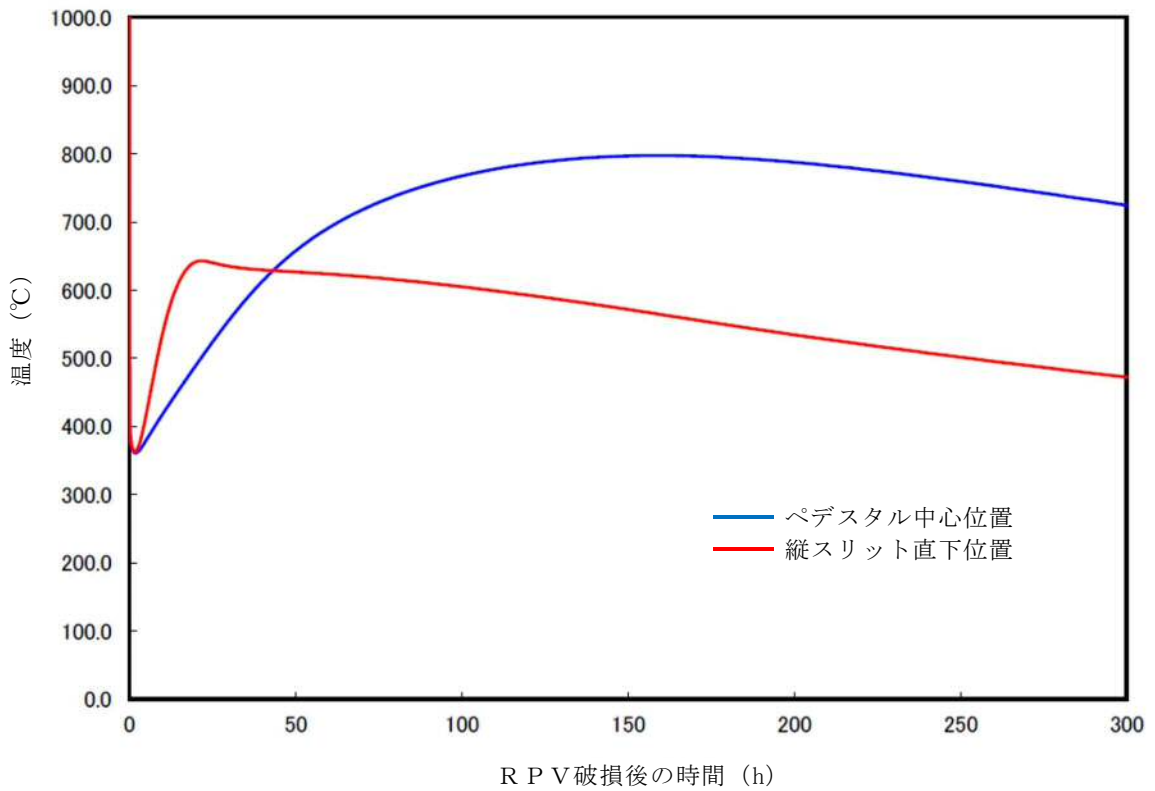
第5図 サプレッション・チェンバ蒸汽温度条件



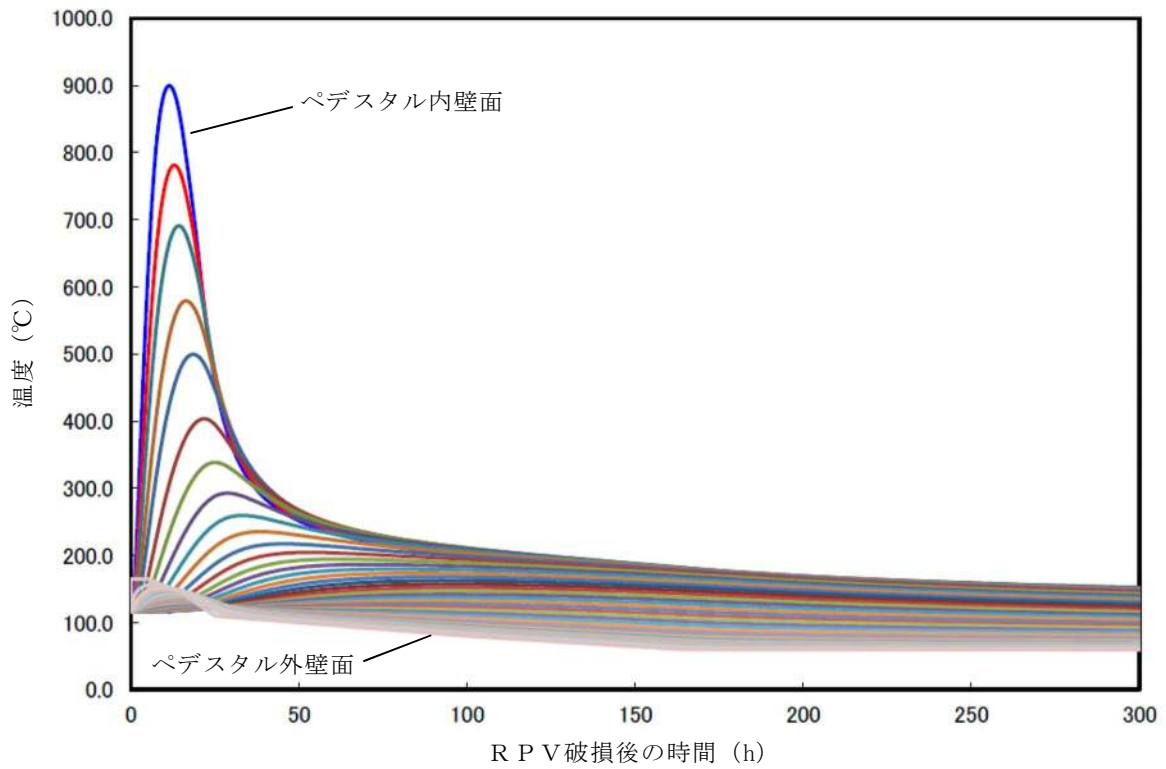
第6図 デブリー・ジルコニア耐火材接触面温度条件



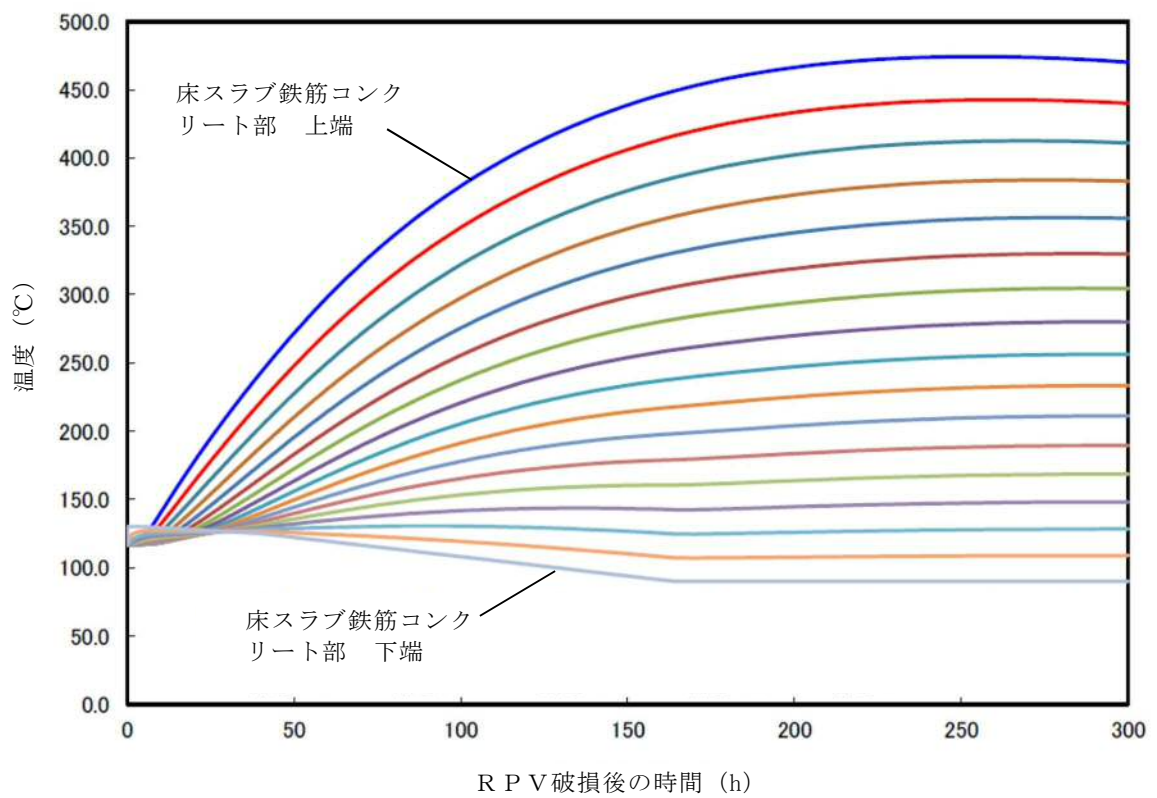
第7図 ペデスタル温度評価位置



第8図 横スリット部の温度変化



第 9 図 ペデスタル側壁の温度変化

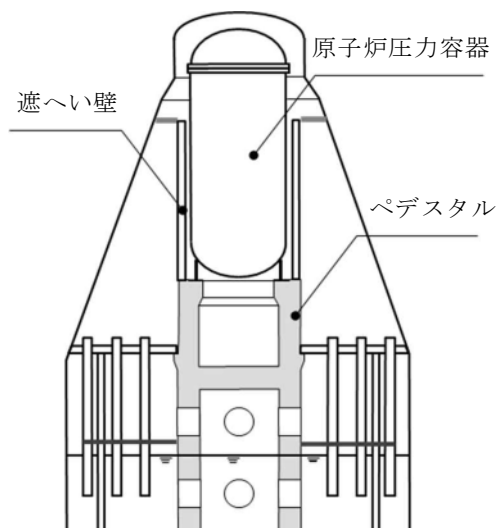


第 10 図 床スラブ鉄筋コンクリート部の温度変化

R P V 支持に必要な側壁コンクリート厚さ評価

1. 概要

格納容器内のペDESTAL等配置図を第 1 図に示す。ペDESTALは、原子炉圧力容器、遮へい壁等を支持する構造物である。M C C I によるペDESTAL側壁部の侵食を踏まえて、これら構造物を支持するために必要となるペDESTAL側壁部の壁厚（以下「必要壁厚」という。）を算定する。



第 1 図 格納容器内ペDESTAL等配置図

2. ペDESTAL側壁部に生じる荷重算定

2.1 荷重の算定方針

必要壁厚の算定のために必要となるペDESTAL側壁部の荷重は、今回工認におけるペDESTALの構造健全性評価に用いる解析モデルを適用し、ペDESTALにて支持される構造物の重量を考慮した解析により算定する。

2.2 解析方法

解析モデル図を第2図に、解析条件等の概要について第1表に示す。解析モデルは、ペDESTAL構造をシェル要素にて3次元的にモデル化したものを用いる。

ペDESTALは、原子炉压力容器及び遮へい壁等を支持する構造物であるため、解析における各構造物の重量の模擬については、ペDESTAL上面に等分布荷重として負荷させる。また、MCCIに至る過程を踏まえれば、原子炉压力容器内の燃料集合体等はデブリ化し、ペDESTAL床面上に落下していることになるが、ペDESTAL側壁コンクリートの必要壁厚を保守的に算定するために、原子炉压力容器内に燃料集合体が残存することを前提に評価した。



第2図 ペDESTAL 3次元FEMモデル図

第1表 解析条件等の概要

項目	内容
解析モデル	<ul style="list-style-type: none"> ・ 3次元FEMモデル ・ シェル要素
解析コード	<ul style="list-style-type: none"> ・ NASTRAN
重量模擬	<ul style="list-style-type: none"> ・ 原子炉圧力容器 $955 \times 10^3 \text{ kg}$ (圧力容器内構造物を含む) ・ 遮へい壁 $656 \times 10^3 \text{ kg}$
コンクリートの材料物性等	<ul style="list-style-type: none"> ・ 設計基準強度 22 N/mm^2 ・ ヤング係数 $2.2 \times 10^4 \text{ N/mm}^2$ ・ せん断弾性係数 $0.918 \times 10^4 \text{ N/mm}^2$ ・ 単位体積重量 23 kN/m^3

3 必要壁厚の算定

3.1 解析結果

必要壁厚の算定に用いる荷重は、構造物の重量によるペDESTAL鉛直方向に発生する荷重（圧縮軸力）に加えて、側壁コンクリートの壁厚変化に伴う構造不連続形状部に発生する面外せん断力についても考慮する。

構造物の重量を付加させた解析結果として、MCCIによる侵食が想定されるペDESTAL側壁部における圧縮軸力及び面外せん断力を第2表に示す。

第2表 ペDESTAL側壁部に生じる荷重

部位	圧縮軸力 (kN/m)	面外せん断力 (kN/m)
MCCIによる 侵食想定部位	1,940	178

3.2 コンクリートの応力度

必要壁厚の算定にあたっては、鉄筋コンクリート構造計算規準・同解説((社)日本建築学会, 1999) (以下, 「RC規準」という。)に規定されているコンクリートの短期許容応力度を用いた。なお, 水蒸気爆発に対する構造健全性評価においては終局状態に至らないことを判断基準としているが, 短期許容応力度を用いることは保守的な取扱いとなる。第3表に必要壁厚算定に用いた許容応力度を示す。

第3表 必要壁厚算定に用いた許容応力度 (短期)

圧縮 (N/mm ²)	せん断 (N/mm ²)
14.6	1.06

※ RC規準許容応力度 (短期)

・圧縮 : $2/3 F_c$

・せん断 : $1/30 F_c$ かつ $(0.49 + 1/100 \times F_c)$ 以下の 1.5 倍

3.3 必要壁厚の算定結果

側壁コンクリートに生じる荷重, 短期許容応力度から必要壁厚を圧縮軸力及び面外せん断力に対して算定した。

(1) 圧縮軸力による評価

側壁コンクリートに生じる圧縮軸力と短期許容応力度が等しくなるときの壁厚を必要壁厚として算定する。必要壁厚は下式のとおり算定され, 圧縮軸力による評価においては, 必要壁厚は 133 mm となる。

$$1.940 \times 10^3 \text{ (N/mm)} \div 14.6 \text{ (N/mm}^2\text{)} = 133 \text{ mm}$$

(2) 面外せん断力による評価

面外せん断力を用いた必要壁厚の算定については、RC規準の断面算定に用いる評価式を適用する。

$$Q = b \cdot j \cdot f_s$$

ここで、

Q : 発生荷重 (N)

b : 部材の有効幅 (mm)

j : 柱の中心間距離 (mm)

$$j = d \times 7/8$$

d : 有効せい (必要壁厚) (mm)

f_s : 短期許容応力度 (N/mm²)

必要壁厚は、解析により生じる面外せん断力、短期許容応力から下式のとおり算定され、面外せん断力による評価としての必要壁厚は 192 mmとなる。

$$\begin{aligned} d &= 8/7 \times (Q \div b) \div f_s \\ &= 8/7 \times 178 \text{ (N/mm)} \div 1.06 \text{ (N/mm}^2\text{)} = 192\text{mm} \end{aligned}$$

4. まとめ

圧縮軸力による評価及び面外せん断力による評価から算定した必要壁厚を第 4 表に整理する。側壁コンクリートの必要壁厚は、圧縮軸力に対しては 133mm、面外せん断力に対しては 192 mmとなる。

第 4 表 必要壁厚の算定結果

	圧縮軸力による評価	面外せん断力による評価
必要壁厚	133mm	192mm

デブリ保持に必要な床スラブ厚さ評価

床スラブに係る荷重を評価し，コンクリートのせん断耐力から必要床スラブ厚さを算定する。なお，本評価におけるコンクリートのせん断耐力は，終局強度に対して保守的な短期許容応力度を用いる。

1. 床スラブ荷重

床スラブ荷重として，床スラブ自重及びデブリ等の床スラブ積載荷重を評価する。

(1) 床スラブ自重

床スラブ自重は，

- ・床スラブのコンクリート体積：約 53.85m^3
- ・鉄筋コンクリートの単位体積重量： $24\text{kN}/\text{m}^3$

より，床スラブ自重による荷重は約 $1.30 \times 10^3\text{kN}$ となる。

(2) 床スラブ積載荷重

床スラブ積載荷重は，デブリ，冷却水，コリウムシールド及びペDESTアル内構造物等の総重量を保守的に切り上げた値として 500ton を使用し，約 $4.90 \times 10^3\text{kN}$ となる。

以上から，床スラブ荷重として約 $6.20 \times 10^3\text{kN}$ を用いる。

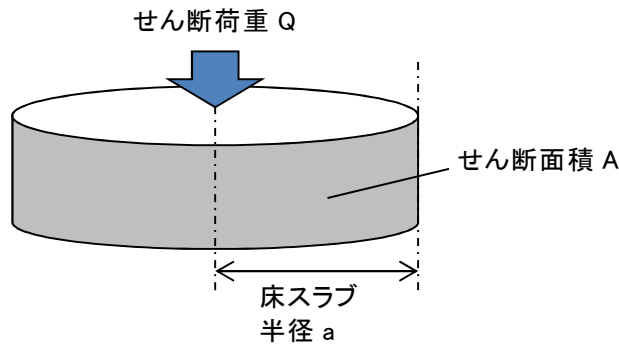
2. せん断応力による必要床スラブ厚さ

床スラブ端部の必要厚さは次のとおり算定される（第1図）。

必要せん断面積 = 床スラブ荷重 / 短期許容せん断応力度

必要床スラブ厚さ = 必要せん断面積 / 床スラブ円周長

RC規準に規定されている短期許容せん断応力度に基づき 1.06N/mm^2 を使用すると、必要床スラブ厚さは と算定される。



第1図 床スラブのせん断荷重

表 6.1 コンクリートの許容応力度 (N/mm²)

	長 期			短 期		
	圧縮	引張	せん断	圧縮	引張	せん断
普通コンクリート			$\frac{1}{30} F_c$ かつ $(0.49 + \frac{1}{100} F_c)$ 以下			長期に対する値の1.5倍
軽量コンクリート 1種および2種	$\frac{1}{3} F_c$	—	普通コンクリートに対する値の0.9倍	長期に対する値の2倍	—	

[注] F_c は、コンクリートの設計基準強度 (N/mm²) を表す。

F_c : コンクリートの設計基準強度 約 22.1 (N/mm²)

第2図 コンクリートの許容応力度

デブリ保持に必要な床スラブ鉄筋量評価

床スラブに係る荷重を評価し、鉄筋の終局曲げ強度から曲げ応力に対する必要鉄筋量を算定する。

1. 床スラブ荷重

床スラブ荷重は別添 3 と同様に約 $6.20 \times 10^3 \text{ kN}$ を用いる。

分布荷重は床スラブ荷重を床面積で除した値であり となる。

2. 曲げ応力による必要鉄筋量

「機械工学便覧 基礎編 a3 材料力学」(第 1 図)に基づき、等分布荷重を受ける周辺単純支持の円板に作用するモーメント M を算定する。

$$M = (3 + \nu) \cdot p \cdot a^2 / 16 = \input type="text"/>$$

ここで、

- ν : ポアソン比 0.2
- p : 分布荷重
- a : 床スラブ半径

算定したモーメント及び建築物の構造関係技術規準解説書（国土交通省ほか，2015）に示される終局曲げ強度算定式より，床スラブ本体部の幅 1m 当たりの必要鉄筋量を算定する。

$$\text{必要鉄筋量} = M / (\sigma_y \cdot d) = \boxed{}$$

ここで，

σ_y : 鉄筋の降伏強度（345N/mm²）の 1.1 倍^{*1} = 379.5N/mm²

d : 床スラブの有効せい^{*2} = $\boxed{}$

※1 建築物の構造関係技術規準解説書では，終局強度算定にあたり J I S 規格品の鉄筋の基準強度を 1.1 倍以下の数値とすることができるとされている

※2 圧縮縁から引張側鉄筋の重心までの距離（第 2 図）

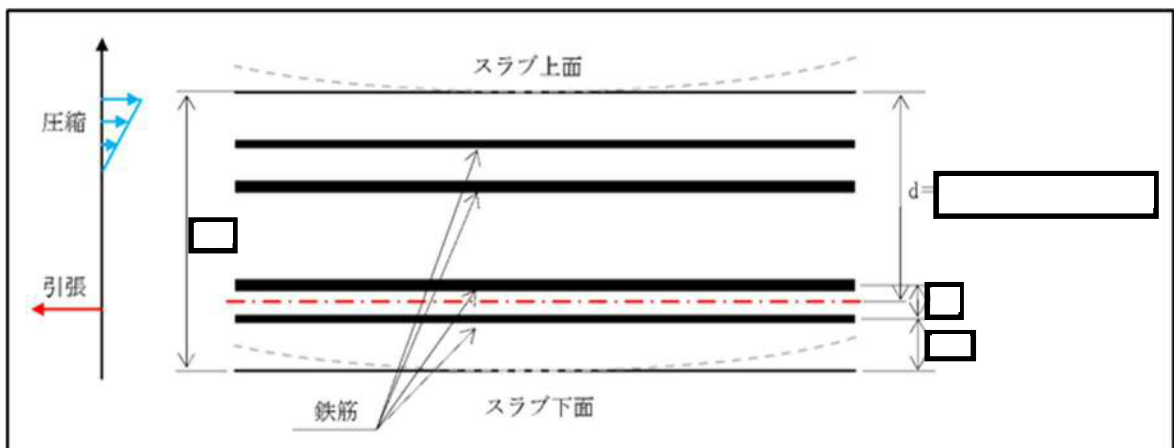
表 5・1 円板のたわみと曲げ応力 (その1)

(図中○印は最大応力を示す。応力式の複号は、上が上面、下が下面を表す。ln は自然対数、*印はポアソン比 $\nu=0.3$ のときの値を表す)

No.	荷重状態とたわみ形および下表面の応力分布	たわみ w , w_{max} および応力 σ , σ_{max}
1		$w = \frac{pa^4}{64D} \left(1 - \frac{r^2}{a^2}\right) \left(\frac{5+\nu}{1+\nu} - \frac{r^2}{a^2}\right)$ $w_{max} = (w)_{r=0} = \frac{(5+\nu)pa^4}{64(1+\nu)D} = 0.696 \frac{pa^4}{Eh^3}^*$ $\sigma_r = \mp \frac{3pa^2}{8h^2} (3+\nu) \left(1 - \frac{r^2}{a^2}\right)$ $\sigma_\theta = \mp \frac{3pa^2}{8h^2} \left\{ (3+\nu) - (1+3\nu) \frac{r^2}{a^2} \right\}$ <div style="border: 1px solid red; padding: 2px;"> $\sigma_{max} = (\sigma_r)_{r=0} = (\sigma_\theta)_{r=0} = \mp \frac{3(3+\nu)pa^2}{8h^2} = \mp 1.24 \frac{pa^2}{h^2}^*$ </div>
2		$w = \frac{pa^4}{64D} \left(1 - \frac{r^2}{a^2}\right)^2$ $w_{max} = (w)_{r=0} = \frac{pa^4}{64D} = 0.171 \frac{pa^4}{Eh^3}^*$ $\sigma_r = \mp \frac{3pa^2}{8h^2} \left\{ (1+\nu) - (3+\nu) \frac{r^2}{a^2} \right\}$ $\sigma_\theta = \mp \frac{3pa^2}{8h^2} \left\{ (1+\nu) - (1+3\nu) \frac{r^2}{a^2} \right\}$ $\sigma_{max} = (\sigma_r)_{r=a} = \pm \frac{3pa^2}{4h^2} = \pm 0.750 \frac{pa^2}{h^2}$ <div style="border: 1px solid black; padding: 5px; margin-top: 10px;"> $M_{max} = \sigma_{max} \cdot Z$ <p>断面係数 $Z = h^2/6$ のため、</p> $M_{max} = [3(3+\nu)p \cdot a^2/8h^2] \times [h^2/6]$ $= (3+\nu)p \cdot a^2/16$ </div>

高温による影響を考慮した場合でも、床スラブの周辺固定が完全に失われることはないが、保守的に周辺単純支持条件での評価を実施

第 1 図 等分布荷重を受ける円板の応力計算式



第 2 図 床スラブの有効せい

熱影響を考慮した側壁コンクリートの構造評価

1. 側壁コンクリートの圧縮軸力に対する評価

(1) 評価方法

- ・ R P V等の重量は、側壁コンクリートに圧縮軸力として作用することから、コンクリートを対象に評価し、鉄筋については考慮しない。
- ・ A B A Q U Sコードによる熱伝導解析結果における側壁での径方向各厚さの温度(第1図)に対して、第2図に示すとおり包絡温度を設定する。
- ・ 各厚さ部分の包絡温度に対して、第3図に示す構造材料の耐火性ガイドブック((社) 日本建築学会, 2017) (以下, 「耐火性ガイドブック」という。) に示される加熱冷却後の圧縮強度残存比を参照し、コンクリート侵食後の残存壁厚に対し健全なコンクリートとしてみなせる等価壁厚を算定する。
- ・ 上記手順により算定した等価壁厚と別添2に示すR P Vを支持するために必要な壁厚である133mmとを比較し、等価壁厚が必要壁厚を上回ることを確認する。

(2) 評価結果

等価壁厚は約1,229mmとなり、R P V支持に必要な壁厚133mmを上回ることから、側壁コンクリートの圧縮軸力に対してR P V支持機能は維持される。

2. 側壁基部コンクリートの面外せん断に対する評価

(1) 評価方法

- ・ 第 4 図に示すコンクリート面外せん断の短期許容応力度に，1. の圧縮軸力に対する評価にておいて設定した側壁部各厚さにおける包絡温度（第 2 図）を考慮した圧縮強度残存比（第 3 図）を乗じて，高温影響を考慮したコンクリート強度を求める。
- ・ R C 規準の断面算定評価式に基づいて，面外せん断に対する等価壁厚を算定する。

$$Q = b \cdot j \cdot f_s$$

ここで，

Q : 発生荷重 (N)

b : 部材の有効幅 (mm)

j : 柱の中心間距離 (mm)

$$j = d \times 7/8$$

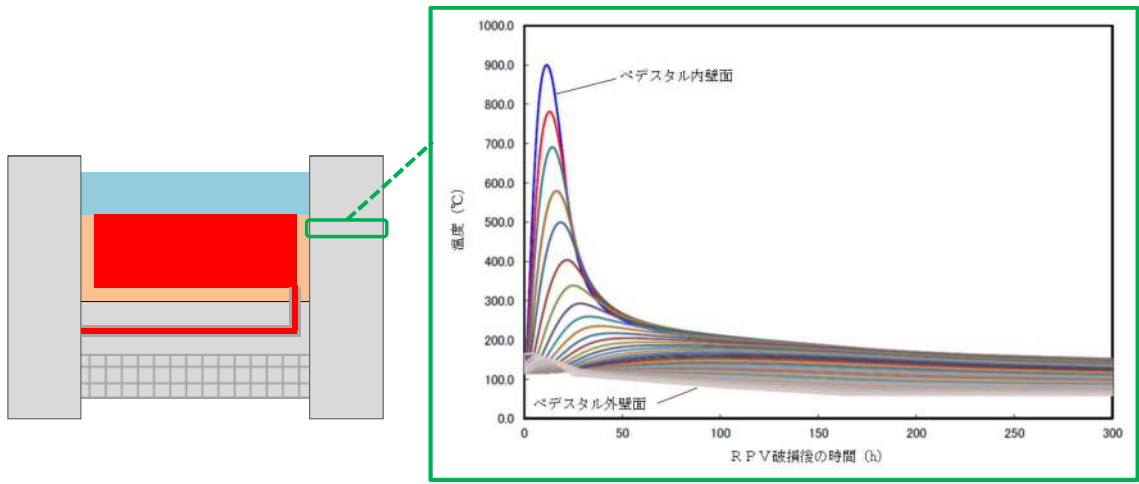
d : 有効せい (必要壁厚) (mm)

f_s : 短期許容応力度 (N/mm²)

- ・ 上記手順により算定した等価壁厚と別添 2 に示す R P V を支持するために必要な壁厚である 192mm とを比較し，等価壁厚が必要壁厚を上回ることを確認する。

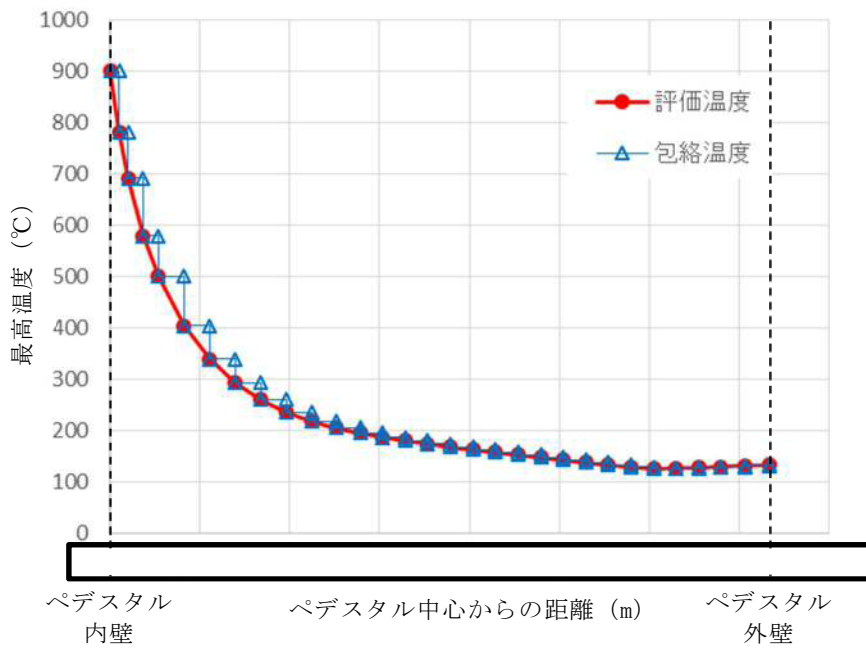
(2) 評価結果

等価壁厚は約 1,276mm となり，R P V 支持に必要な壁厚 192mm を上回ることから，側壁基部コンクリートの面外せん断に対して R P V 支持機能は維持される。



側壁部温度変化

第1図 側壁部の熱伝導解析結果



第2図 ペデスタル側壁における包絡温度の設定

表 2.4.1.4 圧縮強度残存比の提案値

加熱温度 T, T_r (°C)	高温時		加熱冷却後	
	Eurocode ⁶⁹⁾ (normal weight concrete)	提案値 $\kappa_c(T)$	Eurocode ⁶⁹⁾ (normal weight concrete)	提案値 $\kappa_c(T_r)$
20	1.00 [1.00]*	1.00	1.00	1.00
100	1.00 [0.95]*	$0.09 \times W/B + 0.74$	0.95	0.97
200	0.95 [0.90]*	$0.27 \times W/B + 0.78$	0.86	0.93
300	0.85 [0.85]*	$0.21 \times W/B + 0.80$	0.77	0.77
400	0.75 [0.75]*	$0.32 \times W/B + 0.64$	0.68	0.61
500	0.60 [0.60]*	$0.31 \times W/B + 0.48$	0.54	0.45
600	0.45 [0.45]*	$0.41 \times W/B + 0.24$	0.41	0.35
700	0.30 [0.30]*	$0.40 \times W/B + 0.14$	0.27	0.25
800	0.15 [0.15]*	0.15	0.14	0.15

*: 表中の [] は、本ガイドブック 2009 年版の記載値である。
2005 年の Eurocode⁶⁹⁾ 修正に伴い、修正した。

第 3 図 コンクリートの圧縮強度残存比

表 6.1 コンクリートの許容応力度 (N/mm²)

	長 期			短 期		
	圧縮	引張	せん断	圧縮	引張	せん断
普通コン クリート			$\frac{1}{30} F_c$ かつ $(0.49 + \frac{1}{100} F_c)$ 以下			
軽量コン クリート 1 種およ び 2 種	$\frac{1}{3} F_c$	—	普通コンクリートに対する値の 0.9 倍	長期に対す る値の 2 倍	—	長期に対す る値の 1.5 倍

[注] F_c は、コンクリートの設計基準強度 (N/mm²) を表す。

第 4 図 コンクリートの許容応力度

熱影響を考慮した床スラブのコンクリート及び鉄筋の構造評価

1. 床スラブコンクリートの面外せん断に対する評価

(1) 評価方法

- ・デブリ等の重量によるせん断応力は床スラブにせん断荷重として掛かることから、コンクリートを対象にせん断応力を評価し、鉄筋については考慮しない。
- ・ A B A Q U S コードによる熱伝導解析結果における床スラブ鉄筋コンクリート部の縦方向各厚さの温度（第 1 図）に対して、第 2 図に示すとおり包絡温度を設定する。
- ・各厚さ部分の包絡温度に対して、耐火性ガイドブックに示される加熱冷却後の圧縮強度残存比を参照し、健全なコンクリートとしてみなせる等価壁厚を算定する。
- ・上記手順により算定した等価板厚と別添 3 に示すデブリ保持に必要な板厚である とを比較し、等価壁厚が必要壁厚を上回ることを確認する。

(2) 評価結果

等価壁厚は約 618mm となり、デブリ保持に必要な板厚である を上回るため、床スラブコンクリートの面外せん断に対してデブリ保持機能は維持される。

2. 床スラブ鉄筋の曲げ応力に対する評価

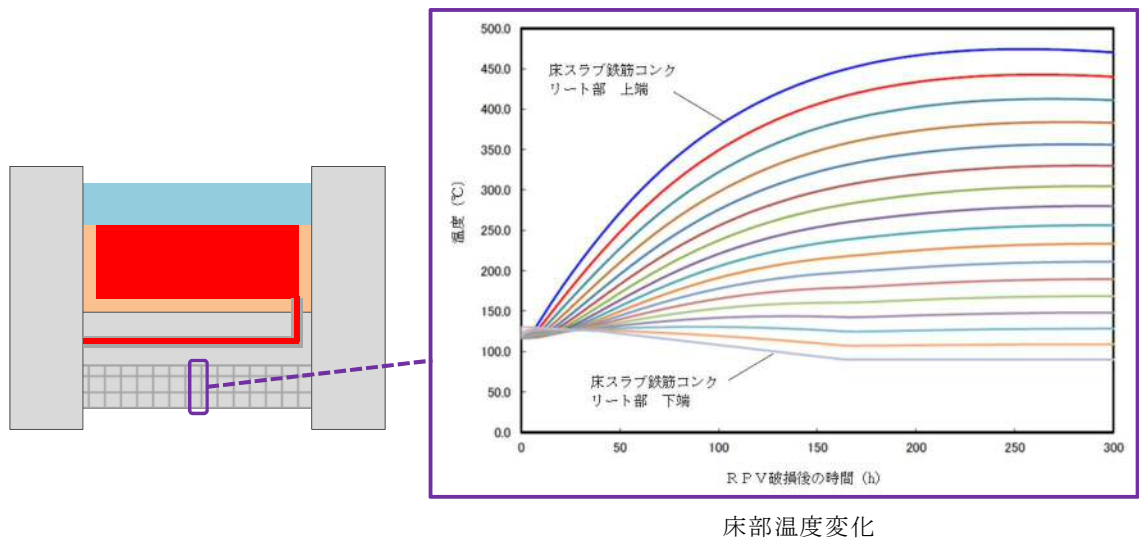
(1) 評価方法

以下に熱影響を考慮した床スラブ鉄筋の構造評価の方法を示す。

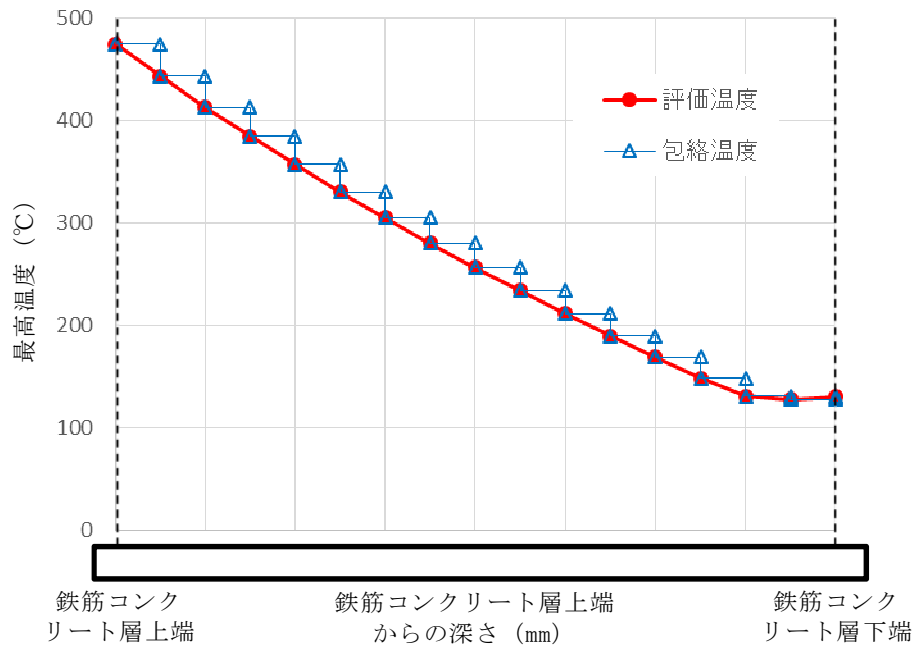
- ・ デブリ等の重量による曲げ応力は床スラブの鉄筋コンクリート部に引張荷重として掛かることから、図 3 に示す鉄筋を対象に曲げ応力を評価し、コンクリートについては考慮しない。
- ・ A B A Q U S コードによる熱伝導解析結果より、下端筋位置では最大 220℃程度まで温度上昇するため、第 4 図に示す耐火性ガイドブックの高温時の鉄筋強度を参考に、強度低下割合として 4 割を設定する。
- ・ 実機の床スラブ本体部の幅 1m あたりの鉄筋量 に対し、上記の鉄筋強度劣化度合いを考慮し、健全な状態とみなせる鉄筋量を評価する。
- ・ 上記手順により算定した強度低下を考慮した鉄筋量と別添 3 に示すデブリ等の重量保持に必要な鉄筋量である幅 1m あたり とを比較し、等価壁厚が必要壁厚を上回ることを確認する。

(2) 評価結果

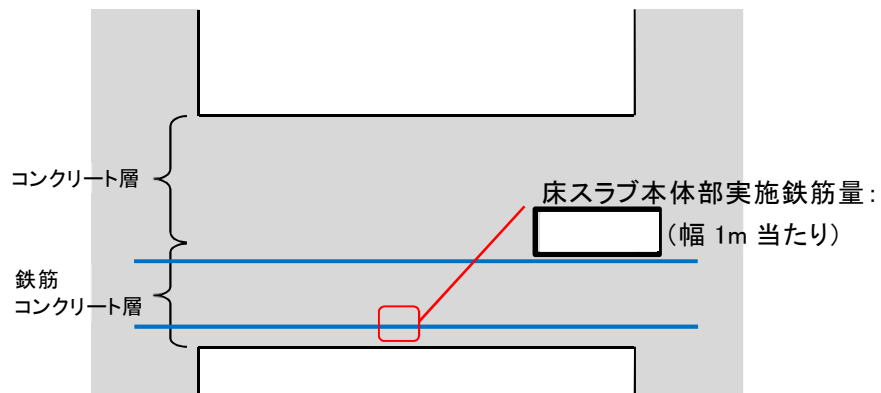
強度低下を考慮した鉄筋量は となる。デブリ等の重量保持に必要な鉄筋量は幅 1m あたり であり、必要な鉄筋量を上回ることから、曲げ応力に対してデブリ保持機能は確保される。



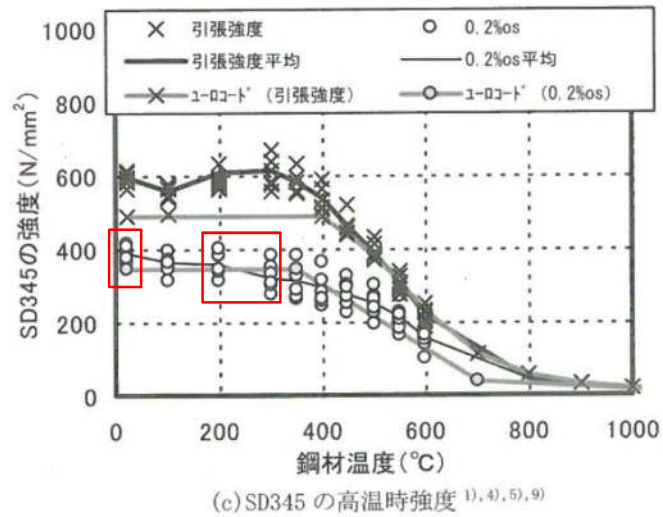
第 1 図 ペデスタル温度評価結果



第 2 図 床スラブ鉄筋コンクリート部における包絡温度の設定



第3図 床スラブの鉄筋コンクリート範囲



第4図 鉄筋強度の低下割合

鉄筋コンクリート内に発生する熱応力の取扱いについて

1. はじめに

東海第二発電所のMCC I及び水蒸気爆発を考慮した対策を踏まえ、RPV破損時にペDESTALへ落下したデブリからの熱影響による鉄筋コンクリートの材料強度低下を考慮した構造健全性評価を行い、ペDESTALに要求されるRPV支持機能及びデブリ保持機能が損なわれないことを確認している。

一方、本事象に対する構造健全性評価では終局状態における機能維持確認の観点より、デブリからの伝熱によって鉄筋コンクリートに発生する熱応力は考慮しないこととしており、この取扱いの考え方について説明する。

2. 発生する熱応力（自己拘束的な応力）の解放について

第1図に鉄筋コンクリート構造物に発生する熱応力の解放原理について示す。RPVの破損後にデブリが落下・堆積し、その非常に高温な熱により、ペDESTAL内側が高温状態となり膨張するが、周囲の拘束によって膨張は抑えられるため、ペDESTAL内側には圧縮力が生ずる。一方、ペDESTAL外側は、内側よりも温度が低いため熱膨張に対する反作用として引張力が生ずる。次に、躯体の温度上昇に伴って熱膨張が進むと高温側（内側）には圧縮力が加算され、低温側（外側）には引張力が加算される。このように、定常状態からの温度上昇により、躯体内で熱応力（自己拘束的な応力）が発生する。更に温度が上昇し、熱応力がコンクリートの許容引張力を上回るとコンクリートにひび割れが発生する。熱応力は自己拘束的な応力であるため、ひび割れを生ずると、その部位の熱応力は解放される。終局状態は、ひび割れが複数発生した状態となり、熱応力のほとんどが解放されると考えられる。

3. C C V規格における熱応力の取扱いについて

ペDESTALと同様の円筒形状構築物の設計規格である発電用原子力設備規格コンクリート製原子炉格納容器規格（（社）日本機械学会，2003）（以下，「C C V規格」という。）では，各荷重状態における熱応力の取り扱いについて示されており，終局状態に相当する荷重状態Ⅳでは熱応力は無視してよいこととされている。また，荷重状態Ⅰ～Ⅲでは，コンクリート部材の剛性，ひび割れ等を考慮して適切に評価することにより算定することとされている。第2図にC C V規格における熱力応力の扱いに関する記載を示す。

なお，C C V規格では熱応力を算定する際の手法も示されており，荷重状態Ⅰ，Ⅱでは弾性剛性を $1/2$ に，荷重状態Ⅲでは $1/3$ に一律に低減して算定する方法（一律低減法）が示されている。これはひび割れ等による部材剛性の低下により，鉄筋コンクリート部材の熱応力が低減するという性質を考慮したものであり，熱応力実験結果に基づいている。また，外力や熱応力に対する部材の塑性剛性（ひび割れ後のコンクリートの剛性等）を考慮した部材断面の釣合いを評価して応力を算定する方法（ひび割れ断面法）も示されている。

4. ペDESTALにおける熱的影響を考慮した解析的検討（参考）

前述のとおり，終局状態において躯体に生じる熱応力は解放されるが，ここでは，熱的影響による躯体材料の強度劣化を考慮した上で，外力や熱応力に対する部材の塑性剛性を考慮した部材断面の釣合いを算定し，応力と変形について評価することで，終局限界に対する健全性を検討する。

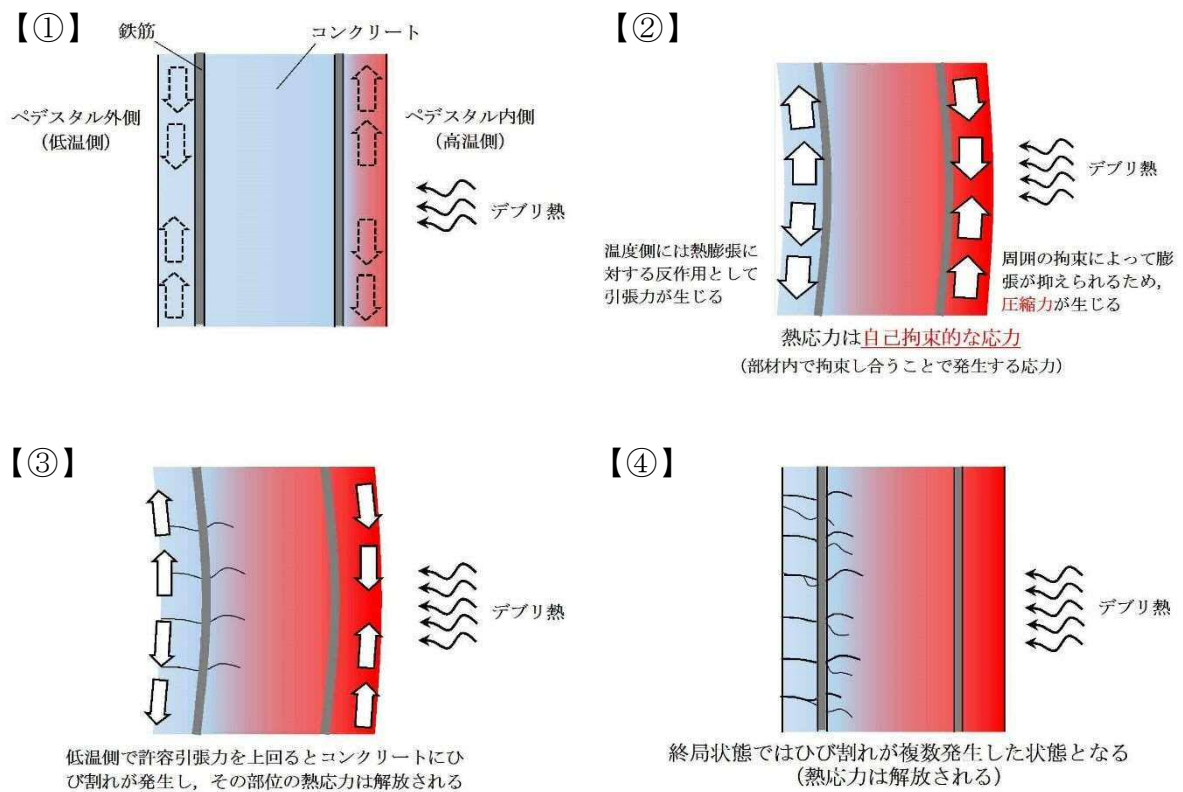
(1) 評価方法

第3図に原子力施設鉄筋コンクリート構造計算規準・同解説（（社）日本建築学会，2005）（以下，「RC-N規準」という。）に記載されているひび割れ断面法による設計フローを，第4図に評価対象部位を示す。本検討では，第3図に示す評価フローに準じて，デブリからの伝熱による熱応力として曲げモーメントが発生する上部側壁を対象に評価する。

温度荷重に対しては，NASTRANコードを用いて弾性剛性での温度応力解析にて曲げモーメントを評価し，断面の曲率について曲げ剛性（EI）を用いて求める。なお，NASTRANコードに入力した温度条件はコリウムシールド(15cm)設置を仮定したMAAP解析に基づき設定する。温度以外の荷重（固定荷重積載荷重）についても同様にNASTRANコードにより応力を評価する。次に両者で得られた曲率を加算し，温度を含む応力組合せ時の断面の釣合い状態を評価（中立軸位置の算定）し応力度を算定する。なお，この時に断面に作用する軸力は積載されるRPV自重を含む通常運転時の軸力とし，曲げモーメントが終局状態に達するまで漸次増加させていく。また，仮定する断面の釣合い計算においては，最も温度勾配が高い時点での断面内の温度分布に対応した材料強度低減を考慮し復元力特性（M- ϕ 関係）を算定する。

(2) 評価結果

第4図にペDESTAL上部側壁の曲げモーメントが最大になる断面におけるM- ϕ 関係図を示す。発生する熱応力に対する曲率は終局限界に対して十分に小さく，ペDESTALが十分な塑性変形能力を有していることを確認した。したがって，ペDESTAL機能維持確認の観点では，デブリからの熱影響により発生する熱応力は考慮しなくとも支障はないことを確認した。



第1図 熱応力が解放する原理

CVE-3330 熱応力の扱い

温度荷重により発生する応力である熱応力の扱いは、次の(1)および(2)によるものとする。

(1) 荷重状態Ⅰ、荷重状態Ⅱおよび荷重状態Ⅲにおける熱応力は、コンクリート部材の剛性を、ひびわれ等を考慮して適切に評価することにより算定することとする。

(2) 荷重状態Ⅳにおける熱応力は無視してよいこととする。

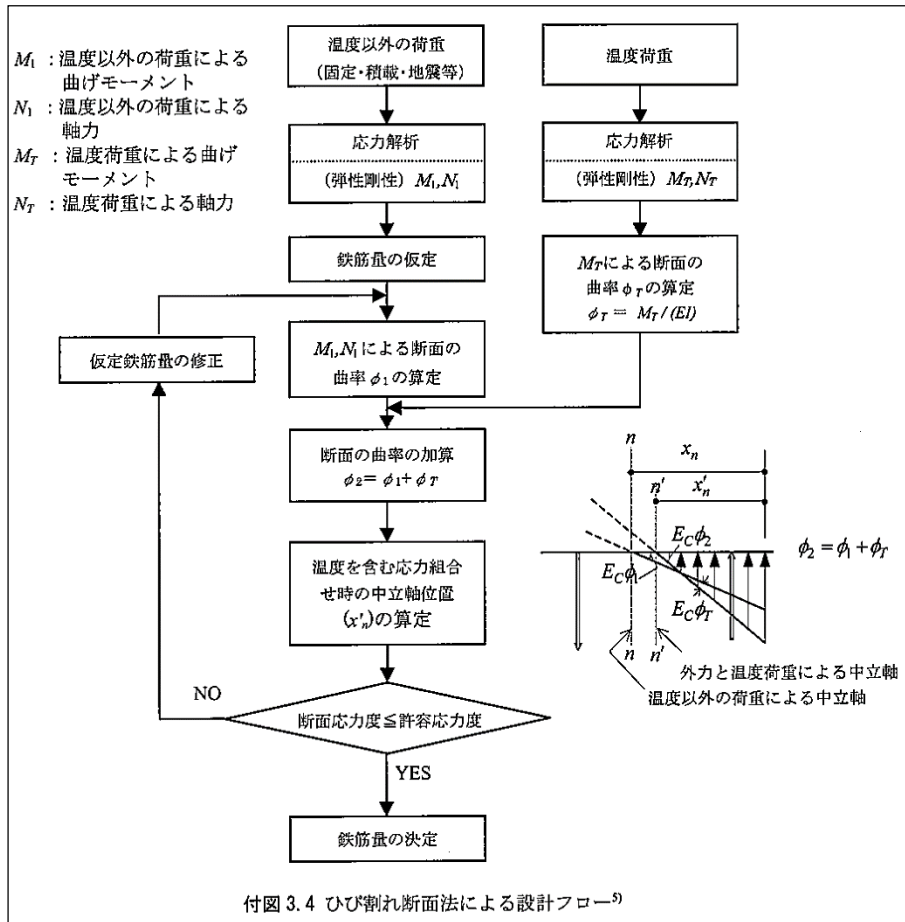
(解説 CVE-3330) 熱応力の扱い

温度荷重により発生する熱応力は、自己拘束的な応力であって、コンクリート部材の剛性に左右される性質を持っているので、コンクリート部材の剛性を適切に評価することによって熱応力を算定する。

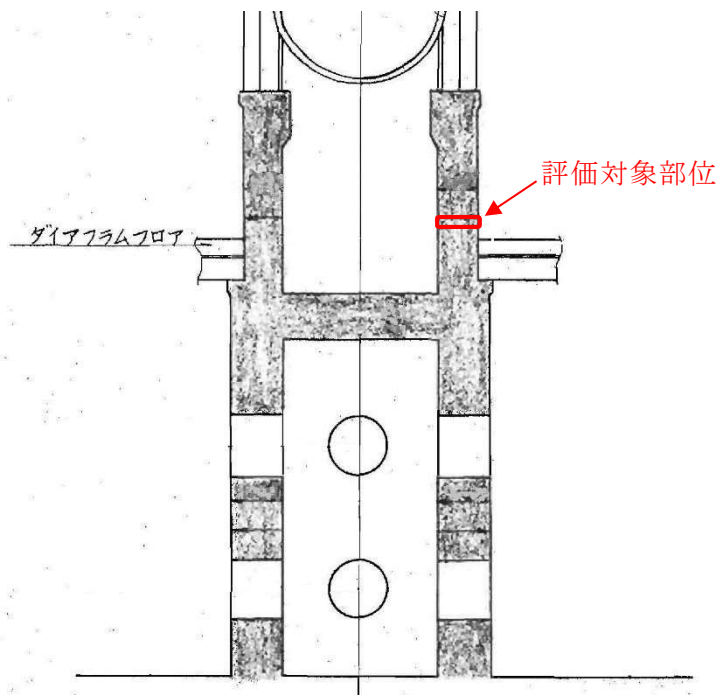
また、自己拘束的な応力は、十分な塑性変形能力がある場合、理論的にも実験的にも終局耐力に影響しないことから、部材の終局状態に相当する荷重状態Ⅳにおける評価では、熱応力を無視してよいこととした。

熱応力の算定にあたっては、コンクリート断面の厚さ方向に曲線状となっている温度分布を等価な応力を与える直線分布に換算することが一般的である。

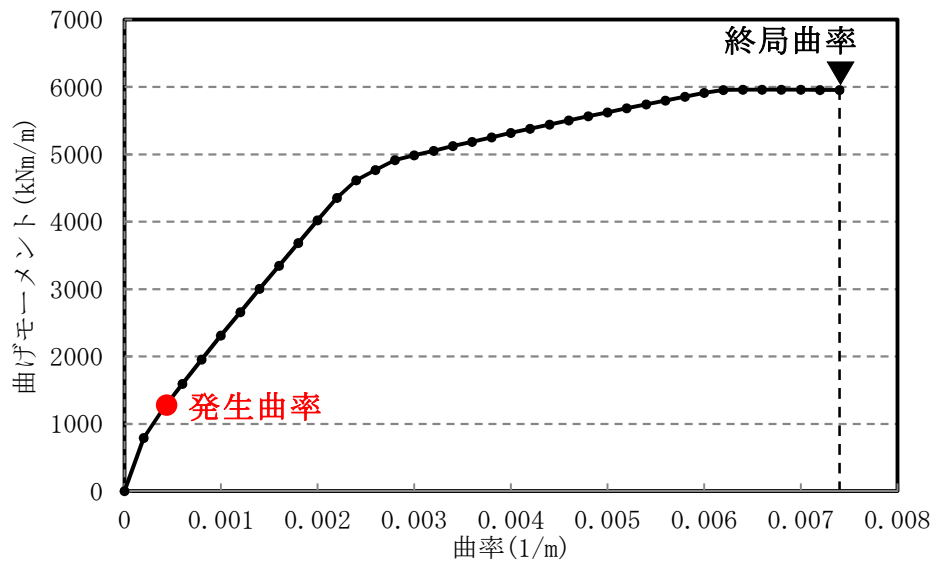
第2図 C C V規格における熱応力の扱いに関する記載



第 3 図 ひび割れ断面法による設計フロー (RC-N 規準)



第 4 図 評価対象部位



第5図 曲げモーメントー曲率関係 (M- ϕ 関係)

解析コード及び解析条件の不確かさの影響評価について（溶融炉心・コンクリート相互作用）

第1表 解析コードにおける重要現象の不確かさが運転員等操作時間及び評価項目となるパラメータに与える影響(1/3)

分類	重要現象	解析モデル	不確かさ	運転員等操作時間に与える影響	評価項目となるパラメータに与える影響
炉心	崩壊熱	炉心モデル（原子炉出力及び崩壊熱）	入力値に含まれる。	「解析条件を最確条件とした場合の運転員等操作時間及び評価項目となるパラメータに与える影響」にて確認。	「解析条件を最確条件とした場合の運転員等操作時間及び評価項目となるパラメータに与える影響」にて確認。
	燃料棒内温度変化	炉心モデル（炉心熱水力モデル） 溶融炉心の挙動モデル（炉心ヒートアップ）	TMI事故解析における炉心ヒートアップ時の水素ガス発生、炉心領域での溶融進展状態について、TMI事故分析結果と一致することを確認した。 CORA実験解析における、燃料被覆管、制御棒及びチャンネルボックスの温度変化について、測定データと良く一致することを確認した。 炉心ヒートアップ速度の増加（被覆管酸化の促進）を想定し、仮想的な厳しい振り幅ではあるが、ジルコニウム-水反応速度の係数を2倍とした感度解析により影響を確認した。 ・TQV、大破断LOCAシーケンスとともに、炉心溶融の開始時刻への影響は小さい。 ・炉心下部プレナムへの溶融炉心移行の開始時刻は、ほぼ変化しない。	炉心ヒートアップに関するモデルは、TMI事故についての再現性及びCORA実験についての再現性を確認している。炉心ヒートアップの感度解析（ジルコニウム-水反応速度の係数についての感度解析）では、炉心溶融時間及び炉心下部プレナムへの溶融炉心移行の開始時間に対する感度は数分程度であり、影響は小さいことを確認している。 本評価事故シーケンスでは、原子炉圧力容器破損時点で常設低圧代替注水系ポンプを用いた代替格納容器スプレイ冷却系（常設）による格納容器冷却操作及び常設低圧代替注水系ポンプを用いた格納容器下部注水系（常設）による溶融炉心への注水操作を実施するが、下部プレナムへの溶融炉心移行の開始時間の不確かさは小さく、下部プレナムへ溶融炉心が移行した際の原子炉圧力容器温度（下鏡部）の上昇及び原子炉圧力容器破損時の格納容器下部水温の上昇は急峻であることから、常設低圧代替注水系ポンプを用いた代替格納容器スプレイ冷却系（常設）による格納容器冷却操作及び常設低圧代替注水系ポンプを用いた格納容器下部注水系（常設）による溶融炉心への注水操作に係る運転員等操作時間に与える影響は小さい。	炉心ヒートアップに関するモデルは、TMI事故についての再現性及びCORA実験についての再現性を確認している。炉心ヒートアップの感度解析（ジルコニウム-水反応速度の係数についての感度解析）では、炉心溶融時間及び炉心下部プレナムへの溶融炉心移行の開始時間に対する感度は数分程度であり、影響は小さいことを確認している。 本評価事故シーケンスでは、原子炉圧力容器破損時点でベDESTAL（ドライウエル部）に事前水張りが実施されていることから、評価項目となるパラメータに与える影響は小さい。
	燃料棒表面熱伝達				
	燃料被覆管酸化				
	燃料被覆管変形				
	沸騰・ボイド率変化	炉心モデル（炉心水位計算モデル）	TQVシーケンス及び中小破断LOCAシーケンスに対して、MAAPコードとSAFERコードの比較を行い、以下の傾向を確認した。 ・MAAPコードではSAFERコードで考慮しているCCFLを取り扱っていないこと等から、水位変化に差異が生じたものの水位低下幅はMAAPコードの方が保守的であり、その後の注水操作による有効燃料棒頂部までの水位回復時刻は両コードで同等である。	原子炉水位挙動について原子炉圧力容器内のモデルが精緻である解析コードSAFERの評価結果との比較により水位低下幅は解析コードMAAPの評価結果の方が保守的であることを確認していることから、運転員等操作時間に与える影響は小さい。	原子炉水位挙動について原子炉圧力容器内のモデルが精緻である解析コードSAFERの評価結果との比較により水位低下幅は解析コードMAAPの評価結果の方が保守的であることを確認している。また、原子炉圧力容器破損時点でベDESTAL（ドライウエル部）に事前水張りが実施されていることから、評価項目となるパラメータに与える影響は小さい。
	気液分離（水位変化）・対向流				

第1表 解析コードにおける重要現象の不確かさが運転員等操作時間及び評価項目となるパラメータに与える影響(2/3)

分類	重要現象	解析モデル	不確かさ	運転員等操作時間に与える影響	評価項目となるパラメータに与える影響
原子炉圧力容器(炉心損傷後)	リロケーション	溶融炉心の挙動(リシジョン)	<ul style="list-style-type: none"> TMI事故解析における炉心領域での溶融進展状態について、TMI事故分析結果と一致することを確認した。 リロケーションの進展が早まることを想定し、炉心ノード崩壊のパラメータを低下させた感度解析により影響を確認した。 TQUV、大破断 LOCA シーケンスとともに、炉心溶融時刻、原子炉圧力容器破損時刻への影響が小さいことを確認した。 	溶融炉心の挙動モデルはTMI事故についての再現性を確認している。また、炉心ノード崩壊のパラメータを低下させた感度解析により原子炉圧力容器破損時間に与える影響は小さいことを確認している。原子炉圧力容器の破損の影響を受ける可能性がある操作としては、常設低圧代替注水系ポンプを用いた代替格納容器スプレイ冷却系(常設)による格納容器冷却操作及び常設低圧代替注水系ポンプを用いた格納容器下部注水系(常設)による溶融炉心への注水操作があるが、下部プレナムへの溶融炉心移行の開始時間の不確かさは小さく、下部プレナムへ溶融炉心が移行した際の原子炉圧力容器温度(下鏡部)の上昇及び原子炉圧力容器破損時の格納容器下部水温の上昇は急峻であることから、原子炉圧力容器の破損を起点としている常設低圧代替注水系ポンプを用いた代替格納容器スプレイ冷却系(常設)による格納容器冷却操作及び常設低圧代替注水系ポンプを用いた格納容器下部注水系(常設)による溶融炉心への注水操作に係る運転員等操作時間に与える影響は小さい。	溶融炉心の挙動モデルはTMI事故についての再現性を確認している。また、炉心ノード崩壊のパラメータを低下させた感度解析により、原子炉圧力容器破損時間に与える影響は小さいことを確認している。原子炉圧力容器の破損の影響を受ける可能性がある操作としては、常設低圧代替注水系ポンプを用いた代替格納容器スプレイ冷却系(常設)による格納容器冷却操作及び常設低圧代替注水系ポンプを用いた格納容器下部注水系(常設)による溶融炉心への注水操作があるが、下部プレナムへの溶融炉心移行の開始時間の不確かさは小さく、下部プレナムへ溶融炉心が移行した際の原子炉圧力容器温度(下鏡部)の上昇及び原子炉圧力容器破損時の格納容器下部水温の上昇は急峻であることから、原子炉圧力容器の破損を起点としている常設低圧代替注水系ポンプを用いた代替格納容器スプレイ冷却系(常設)による格納容器冷却操作及び常設低圧代替注水系ポンプを用いた格納容器下部注水系(常設)による溶融炉心への注水操作に係る運転員等操作時間に与える影響は小さい。
	構造材との熱伝達		<ul style="list-style-type: none"> TMI事故解析における下部プレナムの温度挙動について、TMI事故分析結果と一致することを確認した。 下部プレナム内の溶融炉心と上面水プールとの間の限界熱流束、下部プレナムギャップ除熱量に係る係数に対する感度解析を行い、原子炉圧力容器破損時刻等の事象進展に対する影響が小さいことを確認した。 	溶融炉心の挙動モデルはTMI事故についての再現性を確認している。また、下部プレナムと溶融炉心の熱伝達に関する感度解析により、原子炉圧力容器破損時間に与える影響は小さいことを確認している。原子炉圧力容器破損の影響を受ける可能性がある操作としては、常設低圧代替注水系ポンプを用いた代替格納容器スプレイ冷却系(常設)による格納容器冷却操作及び常設低圧代替注水系ポンプを用いた格納容器下部注水系(常設)による溶融炉心への注水操作があるが、原子炉圧力容器破損時間の不確かさは小さいことから、原子炉圧力容器の破損を起点としている常設低圧代替注水系ポンプを用いた代替格納容器スプレイ冷却系(常設)による格納容器冷却操作及び常設低圧代替注水系ポンプを用いた格納容器下部注水系(常設)による溶融炉心への注水操作に係る運転員等操作時間に与える影響は小さい。	溶融炉心の挙動モデルはTMI事故についての再現性を確認している。また、下部プレナムと溶融炉心の熱伝達に関する感度解析により、原子炉圧力容器破損時間に与える影響は小さいことを確認している。本評価事故シーケンスでは、原子炉圧力容器破損時点でペDESTAL(ドライウエル部)に事前水張りが実施されていることから、評価項目となるパラメータに与える影響は小さい。
	下部プレナムでの熱伝達	溶融炉心の挙動(下部溶融)	<ul style="list-style-type: none"> TMI事故解析における下部プレナムの温度挙動について、TMI事故分析結果と一致することを確認した。 下部プレナム内の溶融炉心と上面水プールとの間の限界熱流束、下部プレナムギャップ除熱量に係る係数に対する感度解析を行い、原子炉圧力容器破損時刻等の事象進展に対する影響が小さいことを確認した。 	溶融炉心の挙動モデルはTMI事故についての再現性を確認している。また、下部プレナムと溶融炉心の熱伝達に関する感度解析により、原子炉圧力容器破損時間に与える影響は小さいことを確認している。原子炉圧力容器破損の影響を受ける可能性がある操作としては、常設低圧代替注水系ポンプを用いた代替格納容器スプレイ冷却系(常設)による格納容器冷却操作及び常設低圧代替注水系ポンプを用いた格納容器下部注水系(常設)による溶融炉心への注水操作があるが、原子炉圧力容器破損時間の不確かさは小さいことから、原子炉圧力容器の破損を起点としている常設低圧代替注水系ポンプを用いた代替格納容器スプレイ冷却系(常設)による格納容器冷却操作及び常設低圧代替注水系ポンプを用いた格納容器下部注水系(常設)による溶融炉心への注水操作に係る運転員等操作時間に与える影響は小さい。	溶融炉心の挙動モデルはTMI事故についての再現性を確認している。また、下部プレナムと溶融炉心の熱伝達に関する感度解析により、原子炉圧力容器破損時間に与える影響は小さいことを確認している。本評価事故シーケンスでは、原子炉圧力容器破損時点でペDESTAL(ドライウエル部)に事前水張りが実施されていることから、評価項目となるパラメータに与える影響は小さい。
	原子炉圧力容器破損	溶融炉心の挙動(原子炉破損)	原子炉圧力容器破損に影響する項目として制御棒駆動機構ハウジング溶接部の破損判定に用いる最大ひずみ(しきい値)をパラメータとした感度解析を行い、原子炉圧力容器破損時刻が約13分早まることを確認した。ただし、仮想的な厳しい条件に基づく解析結果であり、実機における影響は十分小さいと判断される。	制御棒駆動機構ハウジング溶接部の破損判定に用いる最大ひずみ(しきい値)に関する感度解析により最大ひずみを低下させた場合に原子炉圧力容器破損時間が早まることを確認しているが、原子炉圧力容器破損(事象発生から約4.5時間後)に対して、十数分早まる程度であり、常設低圧代替注水系ポンプを用いた代替格納容器スプレイ冷却系(常設)による格納容器冷却操作及び常設低圧代替注水系ポンプを用いた格納容器下部注水系(常設)による溶融炉心への注水操作は中央制御室から速やかに実施可能な操作であることから、原子炉圧力容器破損を操作開始の起点としている常設低圧代替注水系ポンプを用いた代替格納容器スプレイ冷却系(常設)による格納容器冷却操作及び常設低圧代替注水系ポンプを用いた格納容器下部注水系(常設)による溶融炉心への注水操作に係る運転員等操作時間に与える影響は小さい。	制御棒駆動機構ハウジング溶接部の破損判定に用いる最大ひずみ(しきい値)に関する感度解析により最大ひずみを低下させた場合に原子炉圧力容器破損時間が早まることを確認しているが、原子炉圧力容器破損(事象発生から約4.5時間後)に対して、早まる時間はわずかであり、破損時間がわずかに早まった場合においても、ペDESTAL(ドライウエル部)に事前水張りが実施されていることから、評価項目となるパラメータに与える影響は小さい。
原子炉圧力容器内FP挙動	核分裂生成物(FP)モデル	PHEBUS-FP実験解析により、FP放出の開始時間を良く再現できているものの、燃料被覆管温度を高めに評価することにより、急激なFP放出を示す結果となった。ただし、この原因は実験の小規模な炉心体系の模擬によるものであり、実機の大規模な体系においてこの種の不確かさは小さくなると思われる。	本評価事故シーケンスでは、炉心損傷後の原子炉圧力容器内FP放出を操作開始の起点としている運転員等操作はないことから、運転員等操作に与える影響はない。	原子炉圧力容器内FP挙動と溶融炉心との相互作用によるコリウムシールド及びコンクリートの侵食量に関連はないことから、評価項目となるパラメータに与える影響はない。	

第1表 解析コードにおける重要現象の不確かさが運転員等操作時間及び評価項目となるパラメータに与える影響(3/3)

分類	重要現象	解析モデル	不確かさ	運転員等操作時間に与える影響	評価項目となるパラメータに与える影響
格納容器 (炉心損傷後)	原子炉圧力容器外 FCI (溶融炉心細粒化)	溶融炉心挙動モデル(格納容器下部での溶融炉心挙動)	原子炉圧力容器外 FCI 現象に関する項目としてエントレインメント係数及びデブリ粒子径をパラメータとして感度解析を行い、原子炉圧力容器外 FCI によって生じる圧カスパイクへの感度が小さいことを確認した。	本評価事故シーケンスでは、原子炉圧力容器外の溶融燃料-冷却材相互作用による圧カスパイクを起点とした運転員等操作はないことから、運転員等操作時間に与える影響はない。	エントレインメント係数の感度解析より溶融炉心の細粒化割合がコンクリート侵食に与える感度は小さいことを確認している。また、このことは、エントレインメント係数の不確かさにより溶融炉心の細粒化割合が変化した場合でも溶融炉心の温度に対する感度は小さいことを示しており、コリウムシールド侵食に与える感度についても同様に小さいと考えられることから、評価項目となるパラメータに与える影響は小さい。
	原子炉圧力容器外 FCI (デブリ粒子熱伝達)		溶融炉心の拡がり実験や評価に関する知見に基づき、落下した溶融炉心は床上全体に均一に拡がる想定される。ただし、堆積形状の不確かさが想定されるため、個別プラントのベDESTALの形状や事前水張りの深さを踏まえて、拡がりを抑制した感度解析等の取扱いを行うことが適切と考えられる。	本評価事故シーケンスでは、コリウムシールド及びコンクリートの侵食を操作開始の起点としている運転員等操作はないことから、運転員等操作時間に与える影響はない。	溶融炉心の拡がり抑制されると想定した場合は、種々の不均一な堆積形状を考慮しても、拡がりが抑制されないベDESTAL(ドライウエル部)への均一堆積形状の方が溶融炉心と水の伝熱面積が大きくなり、溶融炉心が冷却される傾向となる。拡がりが抑制されない均一堆積形状の場合、溶融炉心落下時点における溶融炉心とコリウムシールドの接触面温度はコリウムシールドの侵食開始温度を下回っており、また、溶融炉心への注水によって溶融炉心は継続的に冷却されることから、溶融炉心の拡がりが抑制されると想定した場合においても、コリウムシールド及びコンクリートの侵食への影響はなく、評価項目となるパラメータに与える影響はない。
	格納容器下部床面での溶融炉心の拡がり		溶融炉心・コンクリート相互作用への影響の観点で、エントレインメント係数、上面熱流束及び溶融プールからクラストへの熱伝達係数をパラメータとした感度解析を行った。評価の結果、コンクリート侵食量に対して上面熱流束の感度が支配的であることを確認した。また、上面熱流束を下限値とした場合でも、コンクリート侵食量が 22.5cm 程度に収まることを確認した。上記の感度解析は、想定される範囲で厳しい条件を与えても実機でのコンクリート侵食量は感度解析よりも厳しくなることはないと考えられる。	エントレインメント係数、溶融炉心からプール水への熱流束及び溶融プールクラスト間の熱伝達係数の感度解析を踏まえ、コンクリート侵食量について支配的な溶融炉心からプール水への熱流束についての感度解析を実施した。溶融炉心落下時点における溶融炉心とコリウムシールドの接触面温度はコリウムシールドの侵食開始温度を下回っていること、また、格納容器下部注水系(常設)によるベDESTAL(ドライウエル部)注水によって溶融炉心は継続的に冷却されることから、コリウムシールド及びコンクリートの侵食は生じず、原子炉圧力容器の支持機能を維持できる。コリウムシールドの伝熱物性値の温度依存性の影響を確認する観点より感度解析を実施した。MAAP 解析結果を包絡する温度境界条件を想定した場合においても、コリウムシールド外表面と接するベDESTAL(ドライウエル部)のコンクリート温度は侵食が始まる温度に至らないことから、評価項目となるパラメータに与える影響は小さい。	
	溶融炉心と格納容器下部プールの伝熱		ACE 実験解析及び SURC-4 実験解析より、溶融炉心堆積状態が既知である場合の溶融炉心とコンクリートの伝熱及びそれに伴うコンクリート侵食挙動について妥当に評価できることを確認した。実験で確認されている侵食の不均一性については、実験における侵食のばらつきが MAAP コードの予測侵食量の 20% の範囲内に収まっていることから、上面熱流束の感度に比べて影響が小さいことを確認した。		
溶融炉心とコンクリートの伝熱					
コンクリート分解及び非凝縮性ガス発生					

(添付資料 3.5.1)

第2表 解析条件を最確条件とした場合に運転員等操作時間及び評価項目となるパラメータに与える影響(1/6)

項目	解析条件(初期条件、事故条件及び機器条件)の不確かさ		条件設定の考え方	運転員等操作時間に与える影響	評価項目となるパラメータに与える影響	
	解析条件	最確条件				
初期条件	原子炉熱出力	3,293MW	約 3,279MW～約 3,293MW (実績値)	定格熱出力を設定	最確条件とした場合には、原子炉停止後の崩壊熱が緩和される。最確条件とした場合の運転員等操作時間への影響は、原子炉停止後の崩壊熱にて説明する。	最確条件とした場合には、原子炉停止後の崩壊熱が緩和される。最確条件とした場合の評価項目となるパラメータに与える影響は、原子炉停止後の崩壊熱にて説明する。
	原子炉圧力(压力容器ドーム部)	6.93MPa[gage]	約 6.91～約 6.94MPa[gage] (実績値)	定格圧力を設定	最確条件とした場合には、ゆらぎにより解析条件に対して変動を与えうるが、原子炉圧力は逃がし安全弁により制御されるため事象進展に及ぼす影響はなく、運転員等操作時間に与える影響はない。	最確条件とした場合には、ゆらぎにより解析条件に対して変動を与えうるが、原子炉圧力は逃がし安全弁により制御されるため事象進展に及ぼす影響はなく、評価項目となるパラメータに与える影響はない。
	原子炉水位	通常運転水位(セパレータスカート下端から+126cm)	通常運転水位(セパレータスカート下端から約+122cm～約+132cm) (実績値)	通常運転水位を設定	最確条件とした場合には、ゆらぎにより解析条件に対して変動を与えうるが、ゆらぎの幅は事象発生後の水位低下量に対して非常に小さい。例えば、スクラム10分後の原子炉水位の低下量は、高圧が維持された状態でも通常運転水位から約3mであるのに対して、ゆらぎによる水位低下量は約40mmであり非常に小さい。したがって、事象進展に及ぼす影響は小さく、運転員等操作時間に与える影響は小さい。	最確条件とした場合には、ゆらぎにより解析条件に対して変動を与えうるが、ゆらぎの幅は事象発生後の水位低下量に対して非常に小さい。例えば、スクラム10分後の原子炉水位の低下量は、高圧が維持された状態でも通常運転水位から約3mであるのに対して、ゆらぎによる水位低下量は約40mmであり非常に小さい。したがって、事象進展に及ぼす影響は小さく、評価項目となるパラメータに与える影響は小さい。
	炉心流量	48,300t/h(定格流量(100%))	定格流量の約86%～約104%(実績値)	定格流量を設定	事象発生後早期に原子炉はスクラムするため、初期炉心流量が事象進展に与える影響は小さく、運転員等操作時間に与える影響は小さい。	事象発生後早期に原子炉はスクラムするため、初期炉心流量が事象進展に与える影響は小さく、評価項目となるパラメータに与える影響は小さい。
	燃料	9×9燃料(A型)	装荷炉心ごと	9×9燃料(A型)と9×9燃料(B型)は、熱水力的な特性はほぼ同等であり、その他の核的特性等の違いは燃料棒最大線出力密度の保守性に包含されることから、代表的に9×9燃料(A型)を設定	最確条件とした場合には、9×9燃料のA型又はB型の炉心となるか、それらの混在炉心となるが、いずれの型式も燃料の熱水力特性はほぼ同等であり、事象進展に及ぼす影響は小さいことから、運転員等操作時間に与える影響は小さい。	最確条件とした場合には、9×9燃料のA型又はB型の炉心となるか、それらの混在炉心となるが、いずれの型式も燃料の熱水力特性はほぼ同等であり、事象進展に及ぼす影響は小さいことから、評価項目となるパラメータに与える影響は小さい。
	原子炉停止後の崩壊熱	ANSI/ANS-5.1-1979 燃焼度 33GWd/t	燃焼度 33GWd/t以下 (実績値)	崩壊熱が大きい方が原子炉水位低下及び格納容器圧力上昇の観点で厳しい設定となるため、崩壊熱が大きくなる燃焼度の高い条件として、1サイクルの運転期間(13ヶ月)に調整運転期間(約1ヶ月)を考慮した運転期間に対応する燃焼度を設定。	最確条件とした場合は、解析条件で設定している崩壊熱よりもおおむね小さくなるため、発生する水蒸気は少なくなり、原子炉圧力容器破損に至るまでの事象進展は緩和されるが、操作手順(常設低圧代替注水系ポンプを用いた代替格納容器スプレイ冷却系(常設)による格納容器冷却操作及び常設低圧代替注水系ポンプを用いた格納容器下部注水系(常設)による溶融炉心への注水操作を実施すること)に変わりはないことから、運転員等操作時間に与える影響はない。	最確条件は解析条件で設定している崩壊熱よりもおおむね小さくなるため、溶融炉心の持つエネルギーが小さくなることから、評価項目となるパラメータの判断基準に対する余裕は大きくなる。

第2表 解析条件を最確条件とした場合に運転員等操作時間及び評価項目となるパラメータに与える影響(2/6)

項目	解析条件(初期条件, 事故条件及び機器条件)の不確かさ		条件設定の考え方	運転員等操作時間に与える影響	評価項目となるパラメータに与える影響	
	解析条件	最確条件				
初期条件	格納容器圧力	5kPa[gage]	約 2.2~約 4.7 kPa[gage] (実績値)	格納容器圧力の観点で厳しい高めの設定として、通常運転時の圧力を包含する値を設定。	最確条件とした場合は、解析条件で設定している格納容器圧力より低くなるが、格納容器圧力を操作開始の起点としている運転員等操作はないことから、運転員等操作時間に与える影響はない。	最確条件とした場合には、解析条件で設定している格納容器圧力より低くなるが、熔融炉心・コンクリート相互作用による侵食量という観点では、直接的な影響はないことから、評価項目となるパラメータに与える影響はない。
	格納容器雰囲気温度	57℃	約 25℃~約 58℃ (実績値)	ドライウエル内ガス冷却装置の設計温度を設定。	最確条件とした場合は、ゆらぎにより解析条件に対して変動を与え得るが、ドライウエル雰囲気温度を操作開始の起点としている運転員等操作はないことから、運転員等操作時間に与える影響はない。	最確条件とした場合には、ゆらぎにより解析条件に対して変動を与え得るが、熔融炉心・コンクリート相互作用による侵食量という観点では、直接的な影響はないことから、評価項目となるパラメータに与える影響はない。
	格納容器体積(ドライウエル)	5,700m ³	5,700m ³ (設計値)	設計値を設定	解析条件と最確条件は同様であることから、事象進展に与える影響はなく、運転員等操作時間に与える影響はない。	解析条件と最確条件は同様であることから、事象進展に与える影響はない。
	格納容器体積(ウェットウエル)	空間部: 4,100m ³ 液相部: 3,300m ³	空間部: 約 4,092m ³ ~約 4,058m ³ 液相部: 約 3,308m ³ ~約 3,342m ³ (実績値)	サブプレッション・プールでの圧力抑制効果が厳しくなる少なめの水量として、保安規定の運転上の制限における下限値を設定	最確条件とした場合は、ゆらぎにより解析条件に対して変動を与え得るが、ゆらぎによる格納容器体積(サブプレッション・チェンバ)の液相部の変化分は通常時に対して非常に小さい。例えば、サブプレッション・プール水位が 6.983mの時の水量は 3,300m ³ であるのに対し、ゆらぎ(0.087m)による水量変化は約 42m ³ であり、その割合は初期保有水量の約 1.3%と非常に小さい。したがって、事象進展に与える影響は小さいことから、運転員等操作時間に与える影響は小さい。	最確条件とした場合は、ゆらぎにより解析条件に対して変動を与え得るが、ゆらぎによる格納容器体積(サブプレッション・チェンバ)の液相部の変化分は通常時に対して非常に小さい。例えば、サブプレッション・プール水位が 6.983mの時の水量は 3,300m ³ であるのに対し、ゆらぎ(0.087m)による水量変化は約 42m ³ であり、その割合は初期保有水量の約 1.3%と非常に小さい。したがって、事象進展に与える影響は小さいことから、評価項目となるパラメータに与える影響は小さい。
	サブプレッション・プール水位	6.983m (通常運転水位 - 4.7cm)	約 7.000m~約 7.070m (実績値)	サブプレッション・プールでの圧力抑制効果が厳しくなる低めの水位として、保安規定の運転上の制限における下限値を設定	最確条件とした場合は、ゆらぎにより解析条件に対して変動を与え得るが、ゆらぎによるサブプレッション・プール水位の変化分は通常時に対して非常に小さい。例えば、サブプレッション・プール水位が 6.983mの時の水量は 3,300m ³ であるのに対し、ゆらぎ(0.087m)による水量変化は約 42m ³ であり、その割合は初期保有水量の約 1.3%と非常に小さい。したがって、事象進展に与える影響は小さいことから、運転員等操作時間に与える影響は小さい。	最確条件とした場合は、ゆらぎにより解析条件に対して変動を与え得るが、ゆらぎによるサブプレッション・プール水位の変化分は通常時に対して非常に小さい。例えば、サブプレッション・プール水位が 6.983mの時の水量は 3,300m ³ であるのに対し、ゆらぎ(0.087m)による水量変化は約 42m ³ であり、その割合は初期保有水量の約 1.3%と非常に小さい。したがって、事象進展に与える影響は小さいことから、評価項目となるパラメータに与える影響は小さい。
	サブプレッション・プール水温度	32℃	約 15℃~約 32℃ (実績値)	サブプレッション・プールでの圧力抑制効果が厳しくなる高めの水温として、保安規定の運転上の制限における上限値を設定。	最確条件とした場合は、解析条件で設定しているサブプレッション・プール水温度よりおおむね低くなるが、サブプレッション・プール水温度を操作開始の起点としている運転員等操作はないことから、運転員等操作時間に与える影響はない。	最確条件とした場合には、解析条件で設定しているサブプレッション・プール水温度よりおおむね低くなるが、熔融炉心・コンクリート相互作用による侵食量という観点では、直接的な影響はないことから、評価項目となるパラメータに与える影響はない。

第2表 解析条件を最確条件とした場合に運転員等操作時間及び評価項目となるパラメータに与える影響(3/6)

項目	解析条件(初期条件, 事故条件及び機器条件)の不確かさ		条件設定の考え方	運転員等操作時間に与える影響	評価項目となるパラメータに与える影響
	解析条件	最確条件			
溶融炉心からプール水への熱流束	800kW/m ² 相当(圧力依存あり)	800kW/m ² 相当(圧力依存あり)	過去の知見に基づき事前水張りの効果を考慮して設定	解析条件と最確条件は同等であることから, 事象進展に影響はない。本評価事故シナリオでは, コリウムシールド及びコンクリートの侵食を操作開始の起点としている運転員等操作はないことから, 運転員等操作時間に与える影響はない。	解析条件と最確条件は同等であることから, 事象進展に影響はなく, 評価項目となるパラメータに与える影響はない。コンクリート侵食量に対しては上面熱流束の感度が支配的であり, 実験で確認されている侵食面における侵食の不均一性等の影響を確認する観点から感度解析を実施した。その結果, コリウムシールド及びコンクリートの侵食は生じず, 原子炉圧力容器の支持機能を維持できることを確認した。(添付資料 3.5.1)
ベDESTAL(ドライウエル部)水張り水位	ベDESTAL(ドライウエル部)床面から1m	ベDESTAL(ドライウエル部)床面から1m	「原子炉圧力容器外の溶融燃料-冷却材相互作用」に伴う水蒸気爆発の発生を仮定した場合の影響を小さく抑えつつ, 「溶融炉心・コンクリート相互作用」の緩和効果に期待できる深さを考慮して設定		
コンクリートの種類	玄武岩系コンクリート	玄武岩系コンクリート	使用している骨材の種類から設定		
コンクリート以外の素材の扱い	鉄筋は考慮しない	コンクリート以外の素材を考慮する	鉄筋についてはコンクリートよりも融点が高いことから保守的に考慮しない	最確条件とした場合は, コンクリートより融点の高い鉄筋の耐熱の効果により, コンクリートの侵食が抑制される可能性があることから, 評価項目となるパラメータに対する余裕は大きくなる。	
原子炉圧力容器下部及びのベDESTAL(ドライウエル部)内構造物の扱い	ベDESTAL(ドライウエル部)に落下する溶融物とは扱わない	部分的な溶融が生じ, ベDESTAL(ドライウエル部)に落下する可能性がある	発熱密度を下げないよう保守的に設定	最確条件とした場合は, 溶融物の発熱密度が下がるため, コリウムシールド及びコンクリートの侵食が抑制されるが, コリウムシールド及びコンクリートの侵食を操作開始の起点としている運転員等操作はないことから, 運転員等操作時間に与える影響はない。	最確条件とした場合は, 溶融物の発熱密度が下がるため, コリウムシールド及びコンクリートの侵食が抑制されることから, 評価項目となるパラメータに対する余裕は大きくなる。
ベント管真空破壊装置作動差圧	3.45kPa(ドライウエル-サブプレッション・チェンバ間差圧)	3.45kPa(ドライウエル-サブプレッション・チェンバ間差圧)(設定値)	真空破壊装置の設定値	解析条件と最確条件は同様であることから, 事象進展に与える影響はなく, 運転員等操作時間に与える影響はない。	解析条件と最確条件は同様であることから, 事象進展に与える影響はなく, 評価項目となるパラメータに与える影響はない。
外部水源の温度	35℃	35℃以下	格納容器スプレイによる圧力抑制効果の観点で厳しい高めの水温として, 代替淡水貯槽及び水源補給に用いる淡水貯水池の年間の気象条件変化を包含する高めの水温を設定	運転員等操作としては常設低圧代替注水系ポンプを用いた代替角の容器スプレイ冷却系(常設)による格納容器冷却操作及び常設低圧代替注水系ポンプを用いた格納容器下部注水系(常設)による溶融炉心への注水操作となるが, 本パラメータによる影響を受けることはないことから, 運転員等操作時間に与える影響はない。	外部水源の温度が低い場合, 溶融炉心・コンクリート相互作用による侵食量という観点では溶融炉心からの除熱が促進されることから, 評価項目となるパラメータに対する余裕は大きくなる。
外部水源の容量	約 9,300m ³	約 9,300m ³ 以上(北側淡水池+高所淡水池+代替淡水貯槽)	北側淡水池, 高所淡水池及び代替淡水貯槽の管理下限値を設定	管理値下限の容量として事象発生から7日後までに必要な容量を備えており, 水源は枯渇しないことから運転員等操作時間に与える影響はない。	-
燃料の容量	約 1,010kL	1,010kL以上(軽油貯蔵タンク+可搬型設備用軽油タンク)	軽油貯蔵タンク及び可搬型設備用軽油タンクの管理下限値を設定	管理値下限の容量として事象発生から7日後までに必要な容量を備えており, 燃料は枯渇しないことから運転員等操作時間に与える影響はない。	-

添付 3.5.4-6

第2表 解析条件を最確条件とした場合に運転員等操作時間及び評価項目となるパラメータに与える影響(4/6)

項目	解析条件(初期条件, 事故条件及び機器条件)の不確かさ		条件設定の考え方	運転員等操作時間に与える影響	評価項目となるパラメータに与える影響	
	解析条件	最確条件				
事故条件	起回事象	給水喪失の全喪失	-	原子炉水位の低下の観点で厳しい事象を設定	起回事象の違いによって操作手順(常設低圧代替注水系ポンプを用いた代替格納容器スプレイ冷却系(常設)による格納容器冷却操作及び常設低圧代替注水系ポンプを用いた格納容器下部注水系(常設)による溶融炉心への注水操作を実施すること)に変わりはないことから、運転員等操作時間に与える影響はない。	コリウムシールド及びコンクリートの侵食量を評価するにあたり、溶融炉心落下時の崩壊熱の影響を確認する観点から感度解析を実施した。起回事象として、原子炉水位の低下の観点でより厳しい事象であるLOCA等の原子炉冷却材圧力バウンダリ喪失を仮定し、事故シーケンスを「大破断 LOCA+高圧炉心冷却失敗+低圧炉心冷却失敗」として、本評価事故シーケンスの評価条件と同様に、重大事故等対処設備による原子炉注水機能についても原子炉圧力容器破損まで使用できないものと仮定した場合、原子炉圧力容器破損のタイミングが早くなるため、溶融炉心落下時の崩壊熱の影響を確認する観点から感度解析を実施した。その結果、コリウムシールド及びコンクリートの侵食は生じず、原子炉圧力容器の支持機能を維持できることを確認した。 (添付資料 3.5.1)
	安全機能の喪失に対する仮定	高圧注水機能及び低圧注水機能の喪失 全交流動力電源喪失	-	高圧注水機能として高圧炉心スプレイ系及び原子炉隔離時冷却系、低圧注水機能として低圧炉心スプレイ系及び残留熱除去系(低圧注水系)の機能喪失を設定 全交流動力電源喪失の重畳を考慮し設定	-	-
	重大事故等対処設備による原子炉注水に対する仮定	原子炉圧力容器破損前の重大事故等対処設備による原子炉注水を考慮しない	-	原子炉圧力容器が破損する条件として、原子炉注水を考慮しない設定	-	-
	外部電源	外部電源なし	-	安全機能の喪失に対する仮定に基づき設定 ただし、原子炉スクラムについては、外部電源ありの場合を包括する条件として、機器条件に示すとおり設定	-	-

第2表 解析条件を最確条件とした場合に運転員等操作時間及び評価項目となるパラメータに与える影響(5/6)

項目	解析条件(初期条件、事故条件及び機器条件)の不確かさ		条件設定の考え方	運転員等操作時間に与える影響	評価項目となるパラメータに与える影響	
	解析条件	最確条件				
機器条件	原子炉スクラム	原子炉水位低(レベル3)信号	タービン蒸気加減弁急閉信号又は原子炉保護系電源喪失	短時間であるが原子炉熱出力が維持される厳しい設定として、外部電源喪失時のタービン蒸気加減弁急閉及び原子炉保護系電源喪失については保守的に考慮せず、原子炉水位低(レベル3)にてスクラムするものとして設定	最確条件とした場合には、原子炉熱出力の低下が早くなるため、発生する蒸気量は少なくなることから、原子炉水位低下が緩やかになり、燃料有効長底部から燃料有効長の20%高い位置到達を操作開始の起点としている原子炉急速減圧操作の開始が遅くなる。また、原子炉圧力容器破損に至るまでの事象進展が緩やかになり、原子炉圧力容器破損を操作開始の起点としている常設低圧代替注水系ポンプを用いた代替格納容器スプレイ冷却系(常設)による格納容器冷却操作及び常設低圧代替注水系ポンプを用いた格納容器下部注水系(常設)による溶融炉心への注水操作の開始が遅くなる。	最確条件とした場合には、原子炉熱出力の低下が早くなるため、溶融炉心の持つエネルギーが小さくなることから、評価項目となるパラメータの判断基準に対する余裕は大きくなる。
	主蒸気隔離弁	事象発生と同時に閉止	原子炉保護系電源喪失又は原子炉水位異常低下(レベル2)信号	短時間であるが主蒸気が格納容器内に維持される厳しい設定として、原子炉保護系電源喪失及び原子炉水位異常低下(レベル2)信号による主蒸気隔離弁閉止については保守的に考慮せず、事象発生と同時に主蒸気隔離弁閉止するものとして設定	最確条件とした場合には、格納容器内に維持される主蒸気量が減少することから、格納容器圧力及び雰囲気温度の上昇が遅くなる。本評価事故シナリオでは、格納容器圧力及び温度を起点としている運転員等操作はないことから、運転員等操作時間に与える影響はない。	最確条件とした場合には、格納容器内に維持される主蒸気量が減少することから、格納容器圧力及び雰囲気温度の上昇が遅くなるが、その影響は小さいことから、評価項目となるパラメータに与える影響は小さい。
	再循環ポンプ	事象発生と同時に停止	電源喪失によるポンプ停止(事象発生と同時に)	事象進展に与える影響は軽微であることから、全交流動力電源喪失によるポンプ停止を踏まえて設定	解析条件と最確条件は同様であり、事象進展に与える影響はないことから、運転員等操作時間に与える影響はない。	解析条件と最確条件は同様であり、事象進展に与える影響はないことから、評価項目となるパラメータに与える影響はない。
	逃がし安全弁	安全弁機能 7.79~8.31 MPa[gage] 385.2~410.6 t/h/弁	安全弁機能 7.79~8.31 MPa[gage] 385.2~410.6 t/h/弁 (設計値)	設計値を設定	解析条件と最確条件は同様であることから、事象進展に与える影響はなく、運転員等操作時間に与える影響はない。	解析条件と最確条件は同様であることから、事象進展に与える影響はなく、評価項目となるパラメータに与える影響はない。
逃がし安全弁(自動減圧機能)2弁を開放することによる原子炉急速減圧		逃がし安全弁(自動減圧機能)2弁を開放することによる原子炉急速減圧	逃がし安全弁の設計値に基づく蒸気流量及び原子炉圧力の関係から設定	解析条件と最確条件は同様であることから、事象進展に与える影響はなく、運転員等操作時間に与える影響はない。	解析条件と最確条件は同様であることから、事象進展に与える影響はなく、評価項目となるパラメータに与える影響はない。	

第2表 解析条件を最確条件とした場合に運転員等操作時間及び評価項目となるパラメータに与える影響(6/6)

項目	解析条件(初期条件, 事故条件及び機器条件)の不確かさ		条件設定の考え方	運転員等操作時間に与える影響	評価項目となるパラメータに与える影響	
	解析条件	最確条件				
機器条件	代替格納容器スプレイ冷却系(常設)	原子炉圧力容器破損判断後: 300m ³ /hにてドライウエルへスプレイ	原子炉圧力容器破損判断後: 300m ³ /hにてドライウエルへスプレイ	格納容器雰囲気温度及び圧力抑制に必要なスプレイ流量を考慮し, 設定	解析条件と最確条件は同様であることから, 事象進展に与える影響はなく, 運転員等操作時間に与える影響はない。	解析条件と最確条件は同様であることから, 事象進展に与える影響はなく, 評価項目となるパラメータに与える影響はない。
		格納容器圧力制御: 130m ³ /hにてドライウエルへスプレイ	格納容器圧力制御: 130m ³ /hにてドライウエルへスプレイ			
		格納容器温度制御: 300m ³ /hにてドライウエルへスプレイ	格納容器温度制御: 300m ³ /hにてドライウエルへスプレイ			
	格納容器下部注水系(常設)	80m ³ /hにてベDESTAL(ドライウエル部)へ注水	80m ³ /hにてベDESTAL(ドライウエル部)へ注水	溶融炉心の冠水継続が可能な流量な流量として設定	解析条件と最確条件は同様であることから, 事象進展に与える影響はなく, 運転員等操作時間に与える影響はない。	解析条件と最確条件は同様であることから, 事象進展に与える影響はなく, 評価項目となるパラメータに与える影響はない。
	代替循環冷却系	総循環流量: 250m ³ /h 格納容器スプレイ: 250m ³ /h又は150m ³ /h 原子炉注水: 100m ³ /h	総循環流量: 250m ³ /h 格納容器スプレイ: 250m ³ /h又は150m ³ /h 原子炉注水: 100m ³ /h	格納容器圧力及び雰囲気温度抑制に必要なスプレイ流量及び溶融炉心の冷却に必要な注水量を考慮して設定	解析条件と最確条件は同様であることから, 事象進展に与える影響はなく, 運転員等操作時間に与える影響はない。	解析条件と最確条件は同様であることから, 事象進展に与える影響はなく, 評価項目となるパラメータに与える影響はない。
	コリウムシールド耐熱材の種類	ジルコニア耐火材	ジルコニア耐火材	コンクリートの侵食を防止する観点から設定	解析条件と最確条件は同様であることから, 事象進展に与える影響はなく, 運転員等操作時間に与える影響はない。	解析条件と最確条件は同様であることから, 事象進展に与える影響はなく, 評価項目となるパラメータに与える影響はない。
	コリウムシールド耐熱材の侵食開始温度	2,100℃	2,100℃	ジルコニア耐火材の侵食試験結果に基づき設定 (添付資料 3.5.1)	解析条件と最確条件は同様であることから, 事象進展に与える影響はなく, 運転員等操作時間に与える影響はない。 なお, 溶融炉心中の酸化鉄成分との共晶反応も含めて評価すると, コリウムシールドには3.3cm程度の侵食が生じるものの, コリウムシールドの侵食を操作開始の起点としている運転員等操作はないことから, 運転員等操作時間に与える影響はない。 (添付資料 3.5.1)	解析条件と最確条件は同様であることから, 事象進展に与える影響はなく, 評価項目となるパラメータに与える影響はない。 なお, 溶融炉心中の酸化鉄成分との共晶反応も含めて評価すると, コリウムシールドには3.3cm程度の侵食が生じるものの, コリウムシールド厚さに対して余裕があることから, 評価項目となるパラメータに与える影響は小さい。 (添付資料 3.5.1)
ベDESTAL(ドライウエル部)床面積	コリウムシールドを考慮	コリウムシールドを考慮	溶融炉心の拡がり面積が狭いことにより, コンクリート侵食量の観点で厳しくなる設定	解析条件と最確条件は同様であることから, 事象進展に与える影響はなく, 運転員等操作時間に与える影響はない。	解析条件と最確条件は同様であることから, 事象進展に与える影響はなく, 評価項目となるパラメータに与える影響はない。	

第3表 運転員等操作時間に与える影響、評価項目となるパラメータに与える影響及び操作時間余裕

項目	解析条件（操作条件）の不確かさ		操作の不確かさ要因	運転員等操作時間に与える影響	評価項目となるパラメータに与える影響	操作時間余裕	訓練実績等	
	解析上の操作開始時間	条件設定の考え方						
操作条件	常設低圧代替注水系ポンプを用いた代替格納容器スプレイ冷却系（常設）による格納容器冷却操作	原子炉压力容器破損から6分後（約4.6時間後）	原子炉压力容器破損の判断及び操作実施に必要な時間を考慮して設定	<p>【認知】</p> <p>ベDESTAL（ドライウェル部）への注水は、原子炉压力容器の破損を判断した時点で開始するが、原子炉压力容器の破損は、原子炉压力容器温度（下鏡部）が300℃に到達したこと等をもって破損兆候を検知し、格納容器下部水温の温度上昇又は指示値喪失によって原子炉压力容器破損を判断するものであり、解析上の認知にかかる時間としては5分を想定している。格納容器下部水温は破損兆候の検知によって継続監視するパラメータであり、温度上昇又は指示値喪失による原子炉压力容器破損の判断は速やかに実施できるものであるため、認知に大幅な遅れが生じることは考えにくい。よって、認知遅れにより操作開始時間に与える影響はなし。</p> <p>【要員配置】</p> <p>中央制御室内での操作のみであり、運転員は中央制御室に常駐していることから、操作時間に与える影響はなし。</p> <p>【移動】</p> <p>中央制御室内での操作のみであり、運転員は中央制御室に常駐していることから、操作時間に与える影響はなし。</p> <p>【操作所要時間】</p> <p>中央制御室内における格納容器冷却は、注入弁1弁の開操作による注水であり、操作装置のタッチによる操作のため1操作に1分間を想定している。当該操作は、操作装置のタッチによる簡易な操作のため、操作時間に与える影響はなし。</p> <p>【他の並列操作有無】</p> <p>当該操作に対応する運転員に他の並列操作はなく、操作時間に与える影響はなし。</p> <p>【操作の確実さ】</p> <p>中央制御室の制御盤の操作スイッチによる簡易な操作のため、誤操作は起こりにくく、そのため誤操作等により操作時間が長くなる可能性は低い。</p>	<p>原子炉压力容器破損までに事象発生から約4.5時間の時間余裕があり、また、溶融炉心落下後の常設低圧代替注水系ポンプを用いた代替格納容器格納容器スプレイ冷却系（常設）による格納容器冷却は、原子炉压力容器温度（下鏡部）が300℃に到達したこと等をもって破損兆候を検知し、格納容器下部水温の温度上昇又は指示値喪失によって原子炉压力容器破損を判断し、格納容器冷却を実施することとしており、実態の操作開始時間は解析上の設定とほぼ同等であり、操作開始時間に与える影響は小さい。当該操作は、解析コード及び解析条件（操作条件を除く）の不確かさにより操作開始時間は遅れる可能性があるが、中央制御室での操作のみであり、運転員は中央制御室に常駐していること、また、当該操作に対応する運転員に他の並列操作はないことから、操作時間に与える影響はない。</p> <p>（添付資料3.2.2）</p>	<p>実態の操作開始時間は解析上の設定とほぼ同等であることから、評価項目となるパラメータに与える影響は小さい。</p>	<p>原子炉压力容器破損までの時間は事象発生から約4.5時間であり、また、溶融炉心落下後にベDESTAL（ドライウェル部）注水が行われなかった場合でも、溶融炉心落下前に張られた水が溶融炉心の崩壊熱及びジルコニウム-水反応による発熱により蒸発するまでには約0.3時間の時間余裕がある。</p> <p>（添付資料3.2.14）</p>	<p>中央制御室における操作のため、シミュレータにて訓練実績を取得。訓練では、条件成立を前提として約1分間で常設低圧代替注水系ポンプを用いた代替格納容器格納容器スプレイ冷却系（常設）による格納容器冷却を開始。想定で意図している運転操作が実施可能なことを確認した。</p>
	常設低圧代替注水系ポンプを用いた格納容器下部注水系（常設）による溶融炉心への注水操作	原子炉压力容器破損から7分後（約4.6時間後）	原子炉压力容器破損の判断及び操作実施に必要な時間を考慮して設定	<p>【認知】</p> <p>ベDESTAL（ドライウェル部）への注水操作は、原子炉压力容器の破損を判断した時点で開始するが、原子炉压力容器の破損は、原子炉压力容器温度（下鏡部）が300℃に到達したこと等をもって破損兆候を検知し、格納容器下部水温の温度上昇又は指示値喪失によって原子炉压力容器破損を判断するものであり、解析上の認知にかかる時間としては5分を想定している。格納容器下部水温は破損兆候の検知によって継続監視するパラメータであり、温度上昇又は指示値喪失による原子炉压力容器破損の判断は速やかに実施できるものであるため、認知に大幅な遅れが生じることは考えにくい。よって、認知遅れにより操作開始時間に与える影響はなし。</p> <p>【要員配置】</p> <p>中央制御室内での操作のみであり、運転員は中央制御室に常駐していることから、操作時間に与える影響はなし。</p> <p>【移動】</p> <p>中央制御室内での操作のみであり、運転員は中央制御室に常駐していることから、操作時間に与える影響はなし。</p> <p>【操作所要時間】</p> <p>中央制御室内におけるベDESTAL（ドライウェル部）への注水操作は、注入弁1弁の開操作による注水であり、操作装置のタッチによる操作のため1操作に1分間を想定している。当該操作は、操作装置のタッチによる簡易な操作のため、操作時間に与える影響はなし。</p> <p>【他の並列操作有無】</p> <p>当該操作に対応する運転員に他の並列操作はなく、操作時間に与える影響はなし。</p> <p>【操作の確実さ】</p> <p>中央制御室の制御盤の操作スイッチによる簡易な操作のため、誤操作は起こりにくく、そのため誤操作等により操作時間が長くなる可能性は低い。</p>	<p>原子炉压力容器破損までに事象発生から約4.5時間の時間余裕があり、また、溶融炉心落下後の常設低圧代替注水系ポンプを用いた格納容器下部注水系（常設）によるベDESTAL（ドライウェル部）への注水は、原子炉压力容器温度（下鏡部）が300℃に到達したこと等をもって破損兆候を検知し、格納容器下部水温の温度上昇又は指示値喪失によって原子炉压力容器破損を判断し、注水操作を実施することとしており、実態の操作開始時間は解析上の設定とほぼ同等であり、操作開始時間に与える影響は小さい。当該操作は、解析コード及び解析条件（操作条件を除く）の不確かさにより操作開始時間は遅れる可能性があるが、中央制御室での操作のみであり、運転員は中央制御室に常駐していること、また、当該操作に対応する運転員に他の並列操作はないことから、操作時間に与える影響はない。</p> <p>（添付資料3.2.2）</p>	<p>実態の操作開始時間は解析上の設定とほぼ同等であることから、評価項目となるパラメータに与える影響は小さい。</p>	<p>原子炉压力容器破損までの時間は事象発生から約4.5時間であり、また、溶融炉心落下後にベDESTAL（ドライウェル部）注水が行われなかった場合でも、溶融炉心落下前に張られた水が溶融炉心の崩壊熱及びジルコニウム-水反応による発熱により蒸発するまでには約0.3時間の時間余裕がある。</p> <p>（添付資料3.2.14）</p>	<p>中央制御室における操作のため、シミュレータにて訓練実績を取得。訓練では、条件成立を前提として約1分間で常設低圧代替注水系ポンプを用いた格納容器下部注水系（常設）による注水を開始。想定で意図している運転操作が実施可能なことを確認した。</p>

添付3.5.4-10